











- ✓ Introduzione
- ✓ Aspetti normativi
- ✓ Tecniche di intervento
- ✓ Metodologie di analisi
- Conclusioni





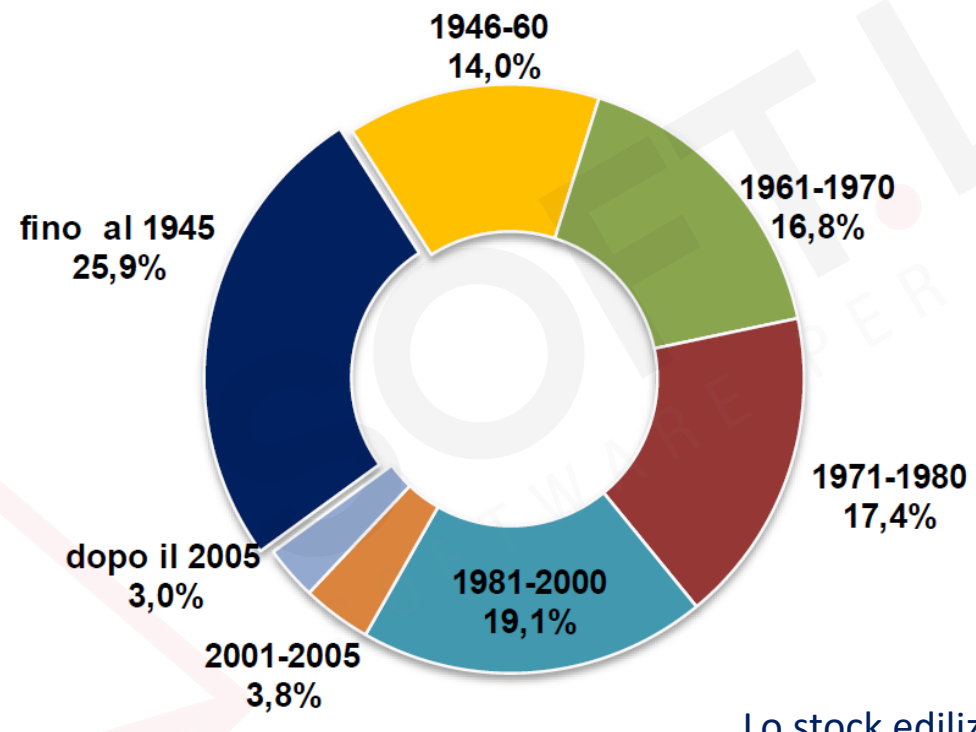








Patrimonio edilizio italiano: epoca di costruzione/1



Elaborazione Ance su dati Censimento Istat 2011

Lo <u>stock edilizio residenziale</u> italiano è costituito da **12.2 milioni di edifici** (per 31.2 milioni di abitazioni).





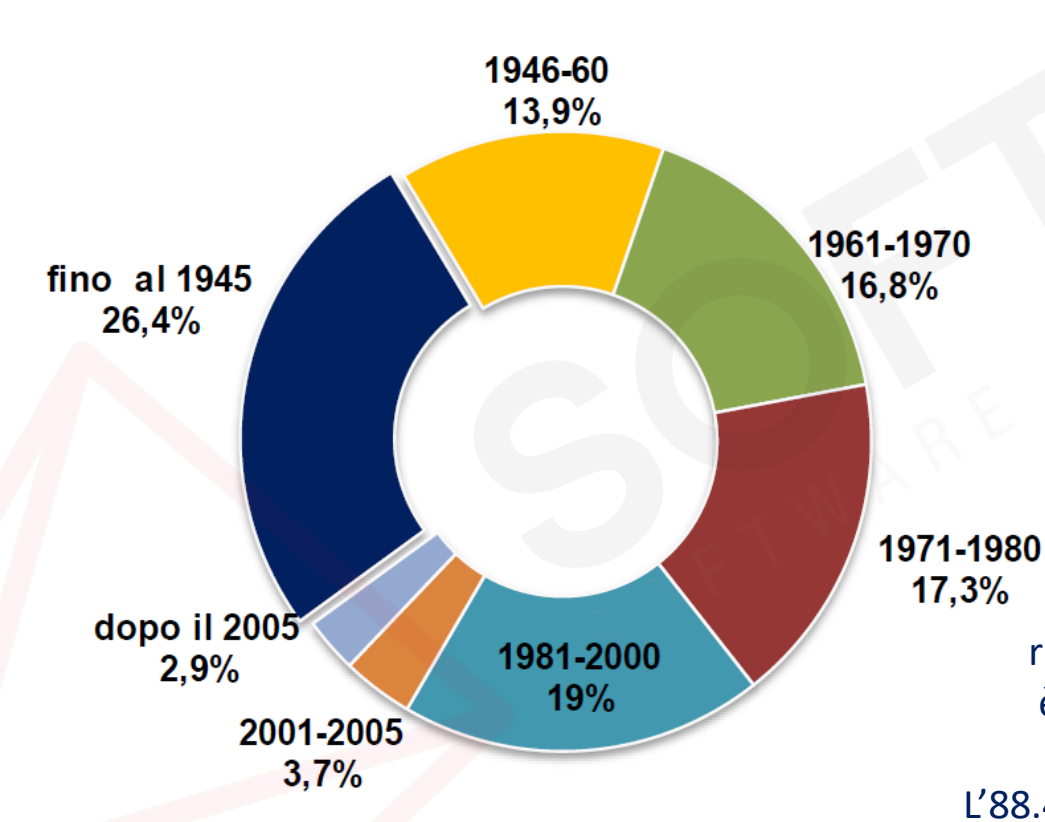


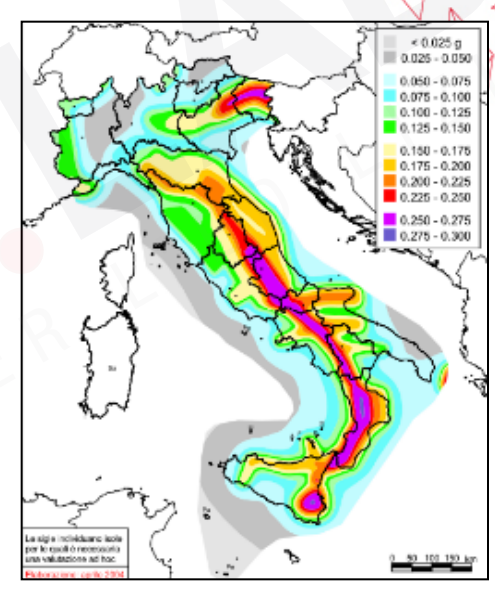






#### Patrimonio edilizio italiano: epoca di costruzione/1





Lo stock edilizio presente in comuni ricadenti in Zona 1, 2 o 3 (circa 5800) è costituito da 11.1 milioni di edifici.

L'88.4% degli edifici è ad uso abitativo: si tratta di circa 9.3 milioni di immobili.









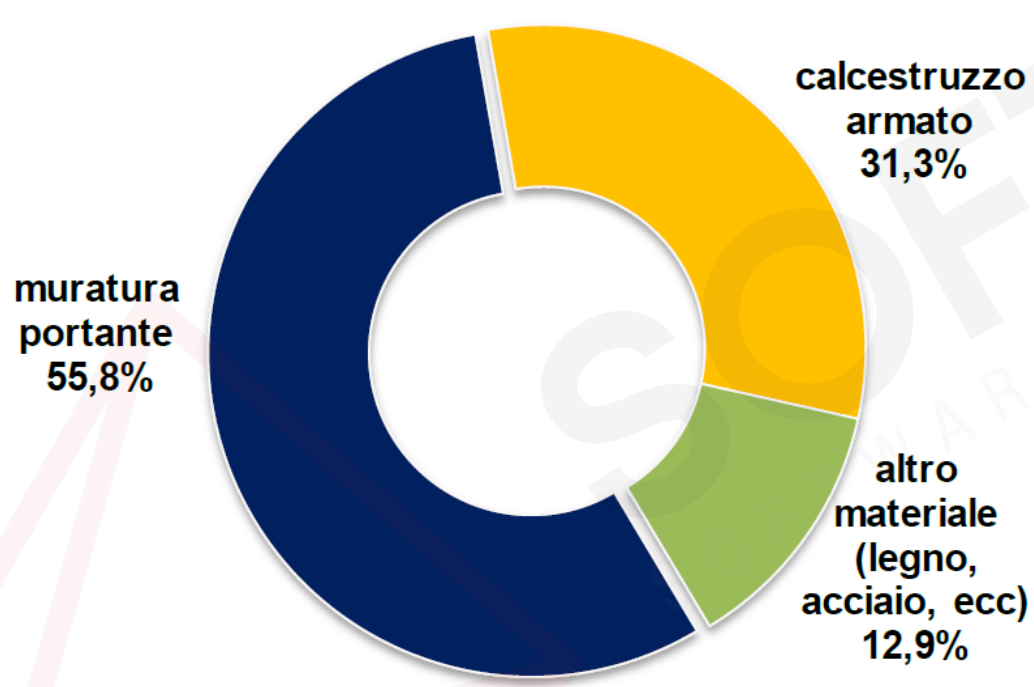


Elaborazione Ance su dati Censimento Istat 2011





Patrimonio edilizio italiano: tipologia costruttiva



Elaborazione Ance su dati Censimento Istat 2011

Circa 5.3 milioni di edifici residenziali ricadenti in zone sismiche 1, 2 o 3 sono costituiti da strutture in muratura.















#### Patrimonio edilizio italiano: aspetti qualitativi

Muratura

**fino al 1945**: muratura di buona qualità e buona concezione;

**1945-80**: edifici con prima evoluzione normativa Post Belice (1968);

**1981-00**: edifici con seconda evoluzione normativa Post Irpinia (1981 e 1987);

> **2000**: edifici con terza evoluzione normativa (1996, 2003).

**fino al 1945**: edifici spesso misti con calcestruzzo comunque di buona qualità;

1945-80: particolarmente vulnerabili;

**1981-00**: edifici con prima evoluzione normativa (1974);

> **2000**: edifici con seconda evoluzione normativa (1996-2003).

Cemento armato

(ANCE, 2017)













Danni prodotti da eventi sismici: Irpinia (1980)



Zaccaria (2015)













Danni prodotti da eventi sismici: L'Aquila (2009)



















Danni prodotti da eventi sismici: Italia centrale (2016)















#### Materiali/1

						XI IIX	
Tipologia di muratura	f (N/mm²)	τ <sub>0</sub> (N/mm²)	f <sub>V0</sub> (N/mm <sup>2</sup> )	E (N/mm²)	G (N/mm²)	w (kN/m³)	
	min-max	min-max		min-max	min-max		
Muratura in pietrame disordinata (ciottoli, pietre erratiche e irregolari)	1,0-2,0	0,018-0,032	-	690-1050	230-350	19	
Muratura a conci sbozzati, con paramenti di spessore disomogeneo (*)	2,0	0,035-0,051	- 1	1020-1440	340-480	20	
Muratura in pietre a spacco con buona tessitura	2,6-3,8	0,056-0,074	۶-۲	1500-1980	500-660	21	
Muratura irregolare di pietra tenera (tufo, calcarenite, ecc.,)	1,4-2,2	0,028-0,042	-	900-1260	300-420	13 ÷ 16(**)	
Muratura a conci regolari di pietra tenera (tufo, calcarenite, ecc.,) (**)	2,0-3,2	0,04-0,08	0,10-0,19	1200-1620	400-500	15 + 10( )	
Muratura a blocchi lapidei squadrati	5,8-8,2	0,09-0,12	0,18-0,28	2400-3300	800-1100	22	
Muratura in mattoni pieni e malta di calce (***)	2,6-4,3	0,05-0,13	0,13-0,27	1200-1800	400-600	18	
Muratura in mattoni semipieni con malta cementizia (es,: doppio UNI foratura ≤40%)	5,0-8,0	0,08-0,17	0,20-0,36	3500-5600	875-1400	15	

M.II.TT. (2019), Circolare 21.01.2019, n. 7 C.S.LL.PP.





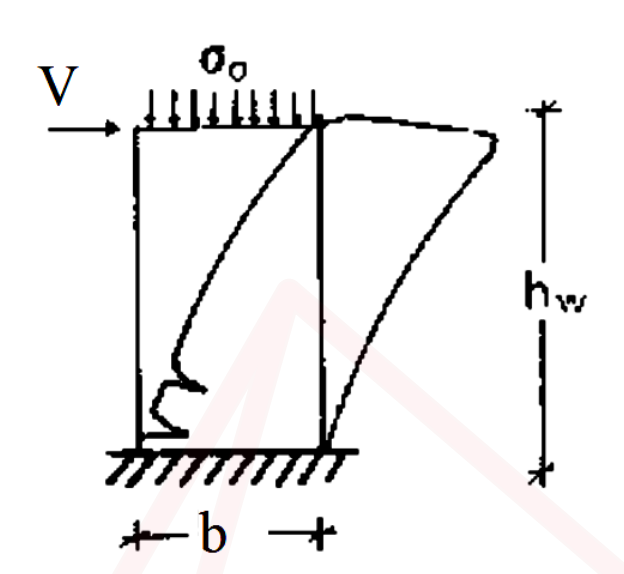


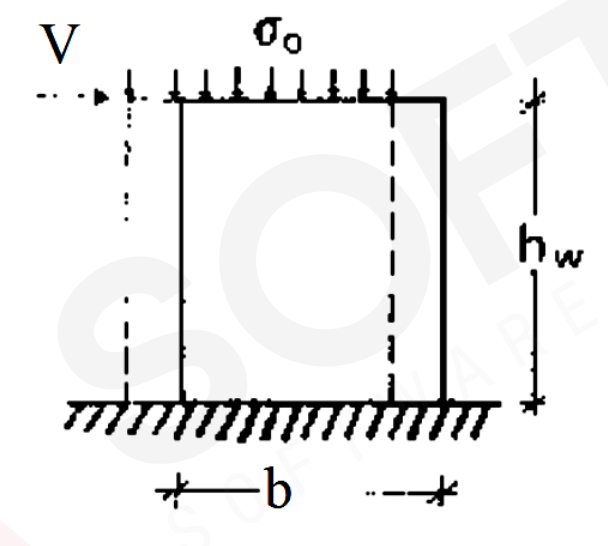


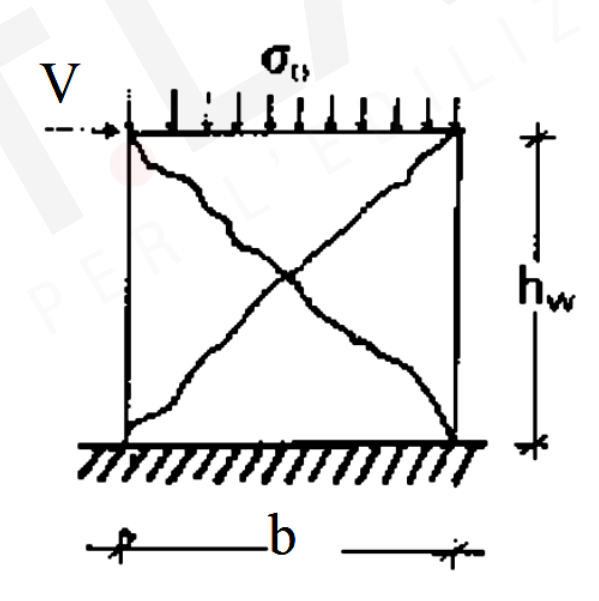




Meccanismi di crisi e modelli di capacità/1







a) Rottura per flessione

b) Rottura per scorrimento

c) Rottura per fessurazione diagonale



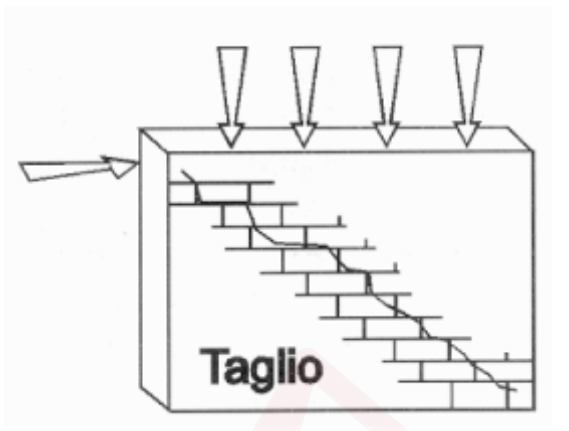




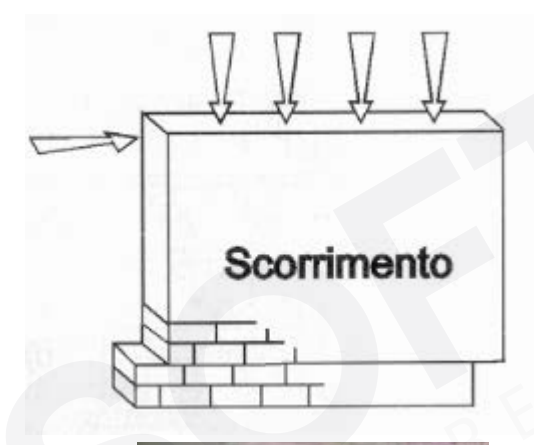




Meccanismi di crisi e modelli di capacità

























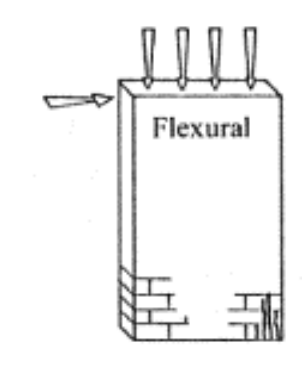
### Meccanismi di crisi e modelli di capacità/1



$$M_{u} = \frac{1}{2} \cdot \sigma \cdot t \cdot L^{2} \cdot \left(1 - \frac{\sigma}{0.85 \cdot f_{c}}\right)$$

$$V_f = \frac{2 \cdot M_u}{h}$$

$$\delta_{u} = 0.010 \cdot h$$









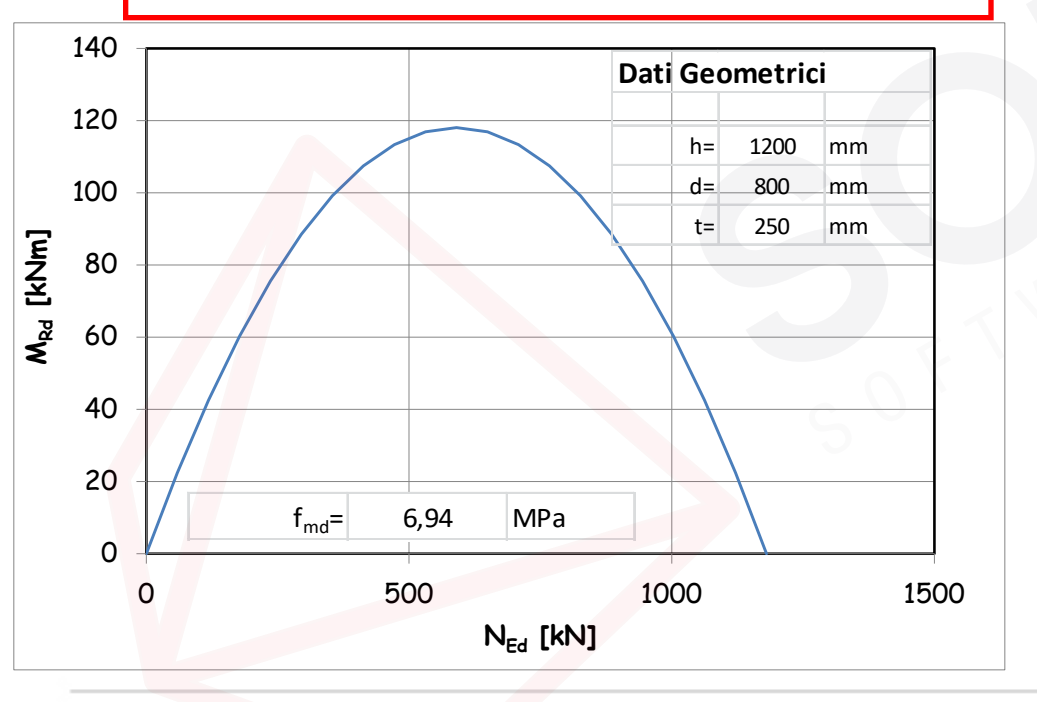


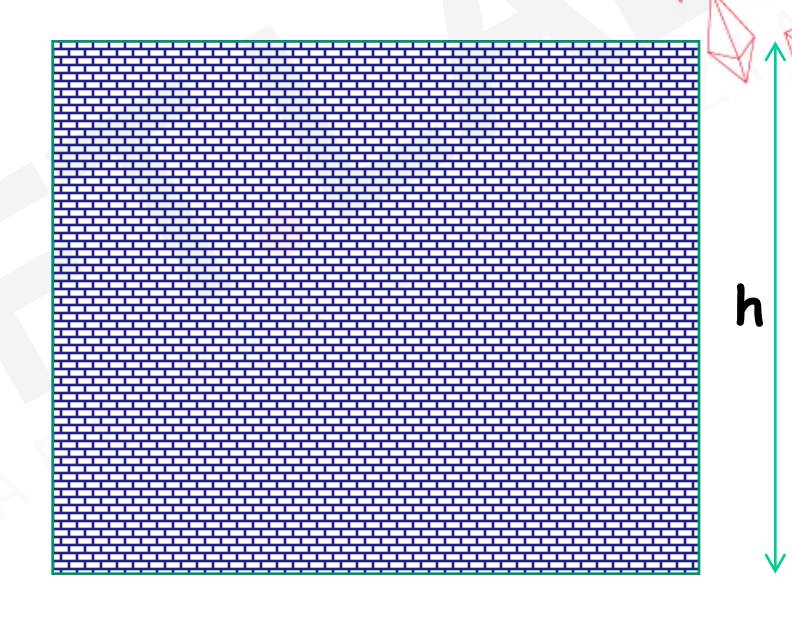


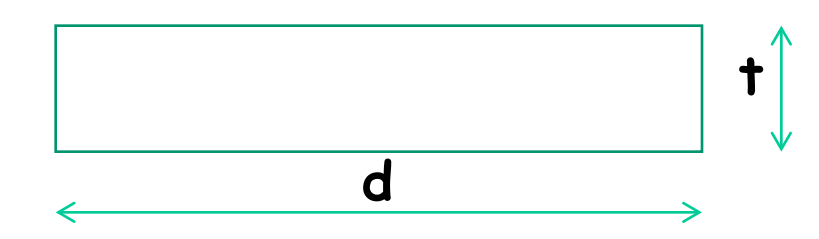


Meccanismi di crisi e modelli di capacità

$$M_{\text{Rd}} = \frac{N_{\text{Ed}}d}{2} \cdot \left(1 - \frac{\sigma_{\text{Ed}}}{0.85 \cdot f_{\text{md}}}\right)$$















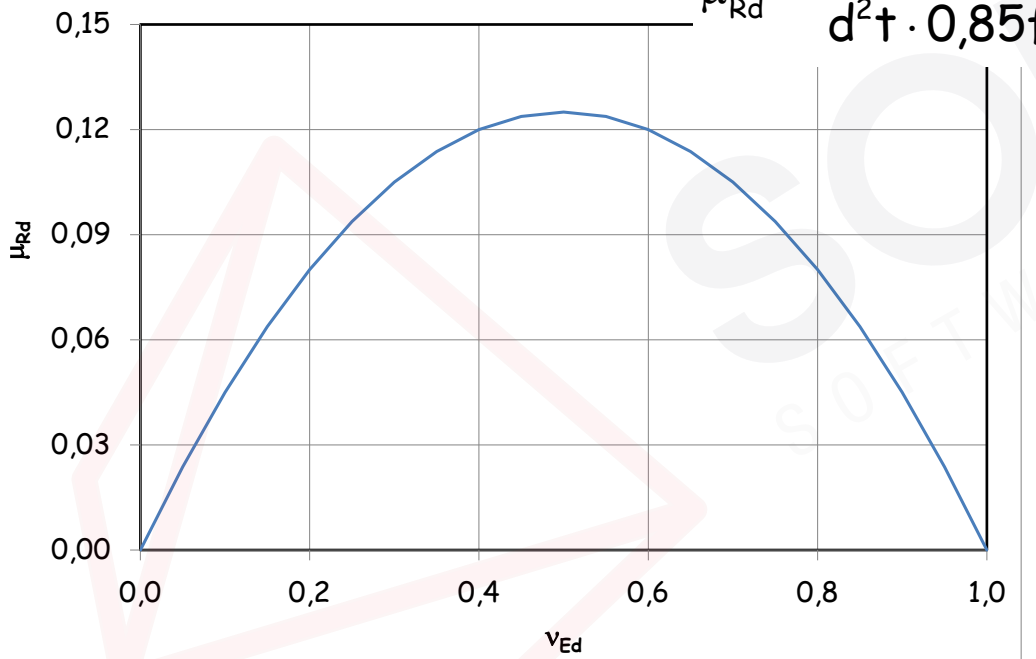


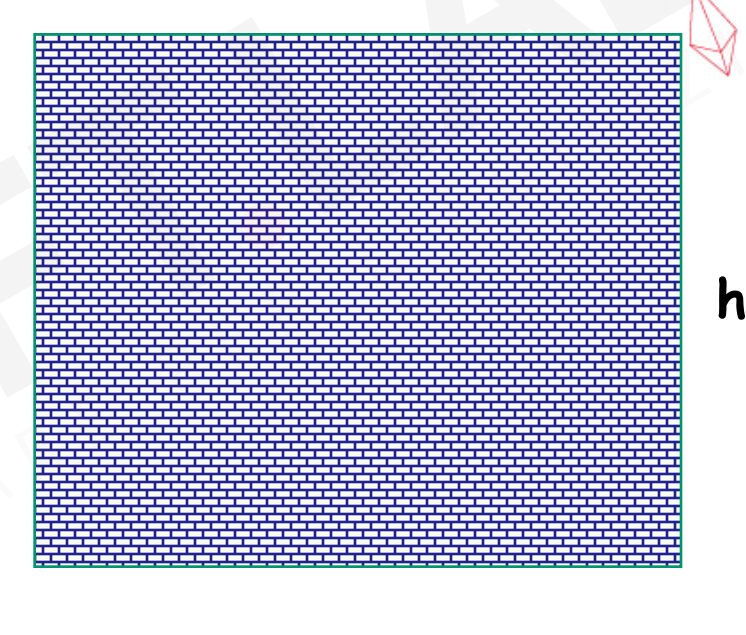
#### Meccanismi di crisi e modelli di capacità

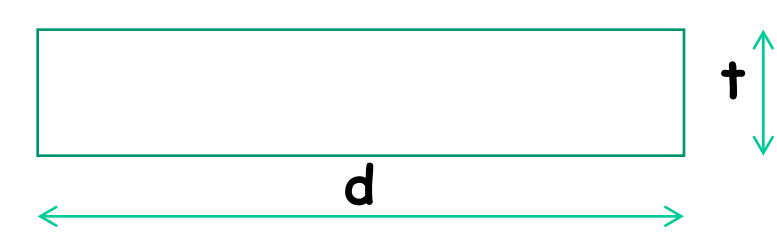
$$\mu_{\mathsf{Rd}} = \frac{\nu}{2} \cdot (1 - \nu)$$

$$\nu_{\text{Ed}} = \frac{N_{\text{Ed}}}{\text{dt} \cdot \text{0,85} f_{\text{md}}}$$

$$\mu_{Rd} = \frac{M_{Rd}}{d^2t \cdot 0.85f_{md}}$$









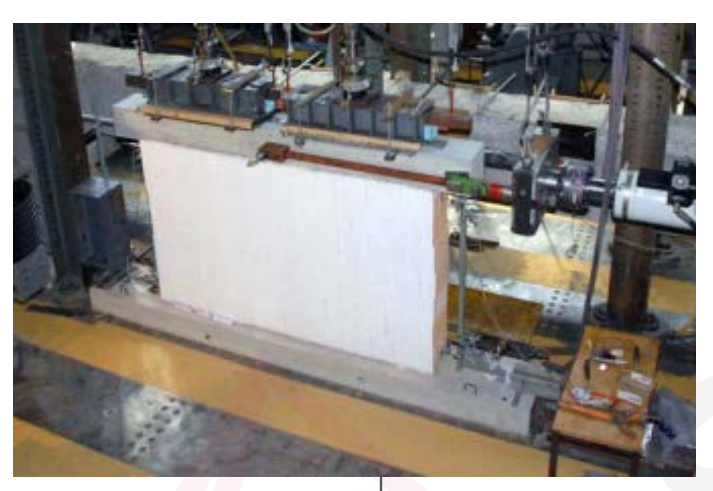








#### Meccanismi di crisi e modelli di capacità/2



$$f_{vd} = f_{vd0} + \mu \cdot \sigma'$$
  $\sigma' = \frac{N}{t \cdot D'}$ 

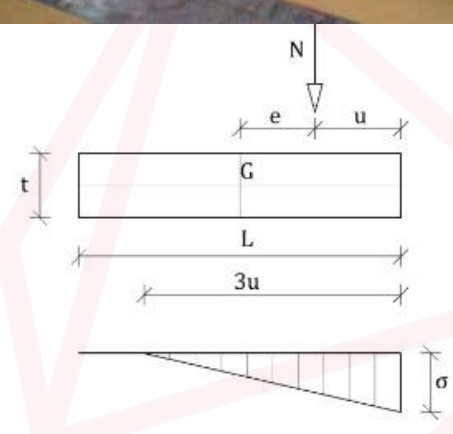
$$\sigma' = \frac{N}{t \cdot D'}$$

se: 
$$e < L/6$$

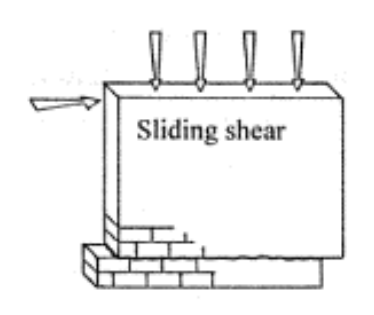
$$D'=L$$

se: 
$$e > L/6$$

$$D' = 3u = 3 \cdot \left(\frac{L}{2} - e\right)$$



$$\delta_u = 0.005 \cdot h$$









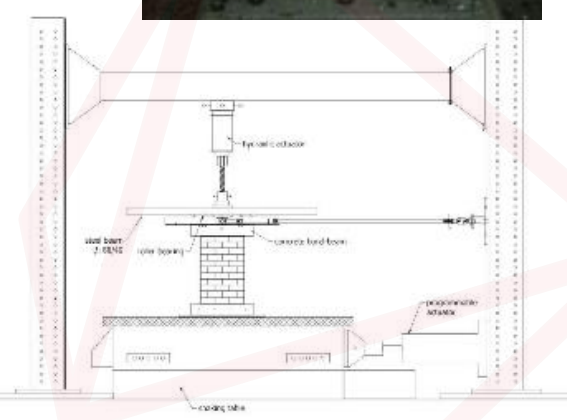






#### Meccanismi di crisi e modelli di capacità/3

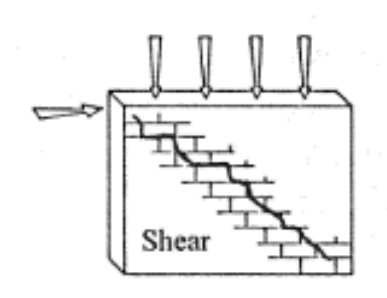




$$b = \frac{h}{L} \qquad \sigma = \frac{N}{L}$$

$$V_{ds} = L \cdot t \cdot \frac{1,5 \cdot \tau_{0,d}}{b} \cdot \sqrt{1 + \frac{\sigma}{1,5 \cdot \tau_{0,d}}}$$

$$\delta_u = 0.005 \cdot h$$







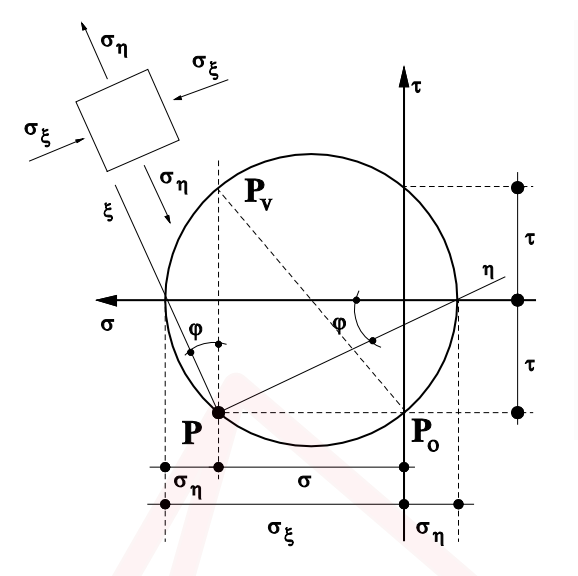


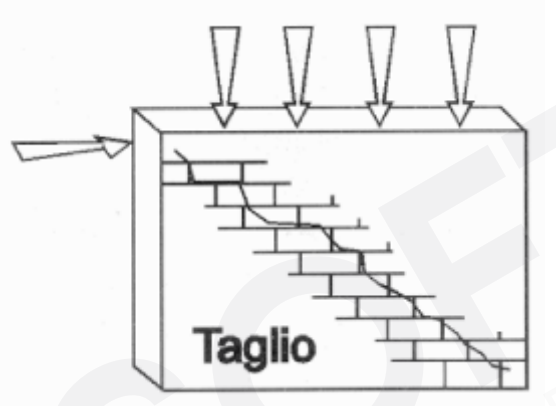




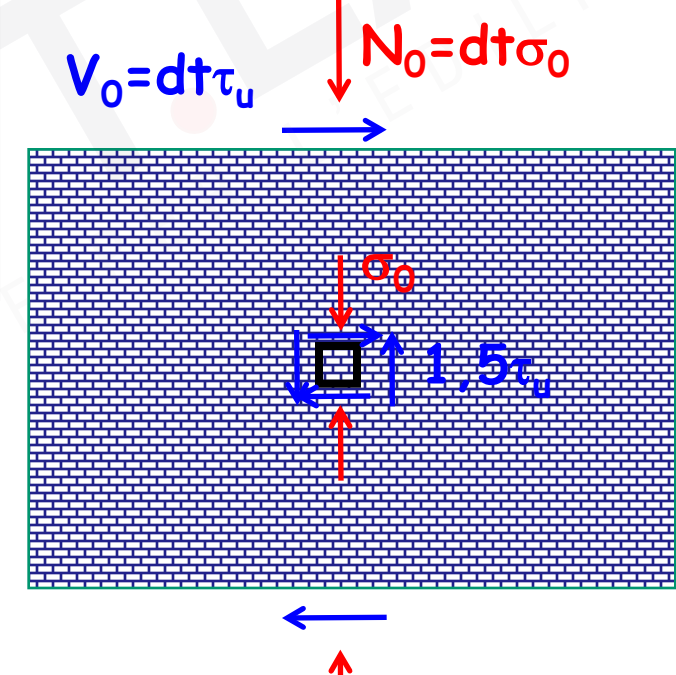


#### Meccanismi di crisi e modelli di capacità





$$\sigma_{\eta} = \left(\frac{\sigma_0}{2}\right) - \sqrt{\left(\frac{\sigma_0}{2}\right)^2 + \left(1.5 \cdot \tau_u\right)^2} = 1.5 \cdot \tau_k$$















### Meccanismi di crisi e modelli di capacità

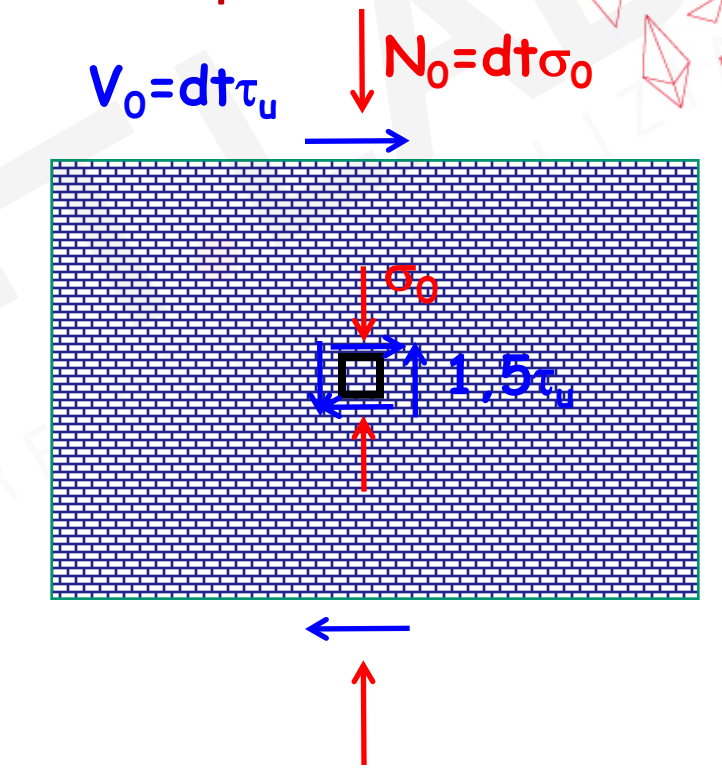
$$\left(\frac{\sigma_0}{2}\right)^2 + \left(1.5 \cdot \tau_u\right)^2 = \left(\frac{\sigma_0}{2}\right)^2 + \left(1.5 \cdot \tau_k\right)^2 + 1.5 \cdot \tau_k \cdot \sigma_0$$

$$\left(1.5 \cdot \tau_{_{\boldsymbol{u}}}\right)^{\!2} = \left(1.5 \cdot \tau_{_{\boldsymbol{k}}}\right)^{\!2} + 1.5 \cdot \tau_{_{\boldsymbol{k}}} \cdot \sigma_{_{\boldsymbol{0}}}$$

$$\tau_{u} = \sqrt{\left(\tau_{k}\right)^{2} + \frac{1}{1.5} \cdot \tau_{k} \cdot \sigma_{o}}$$

$$\tau_{u} = \tau_{k} \cdot \sqrt{1 + \frac{\sigma_{0}}{1.5 \cdot \tau_{k}}}$$

$$\textit{V}_{\textrm{Rms}} = \tau_{\textrm{u}} \textit{dt}$$





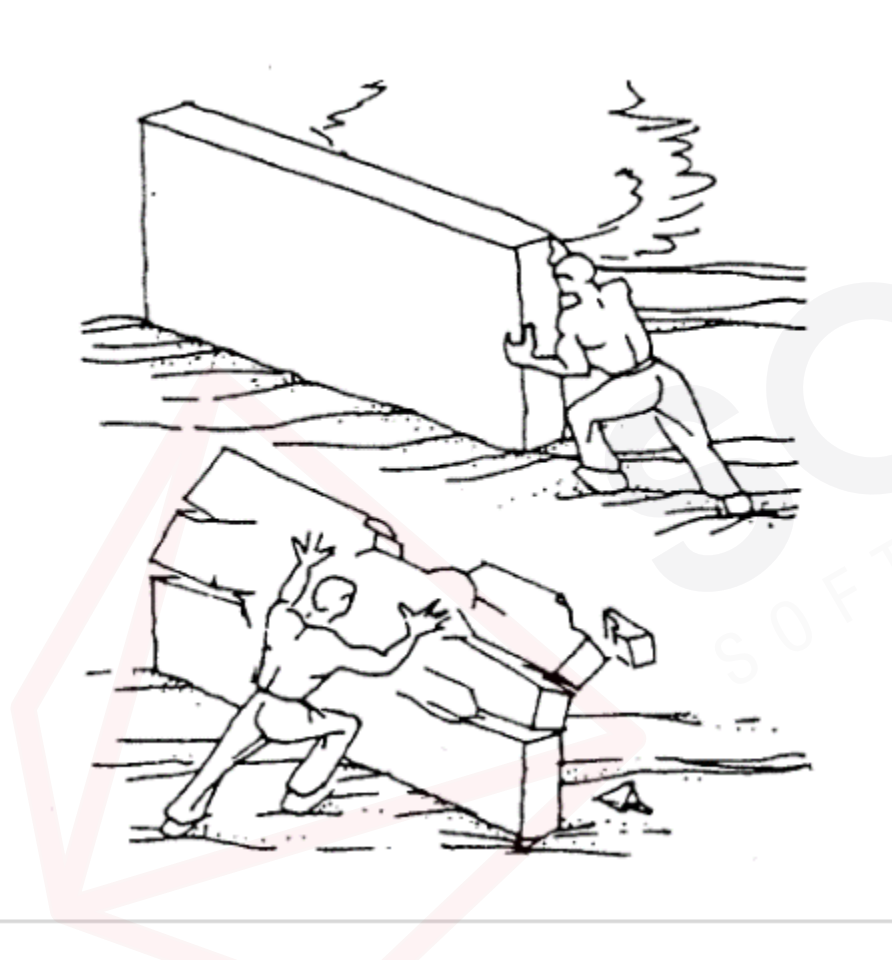


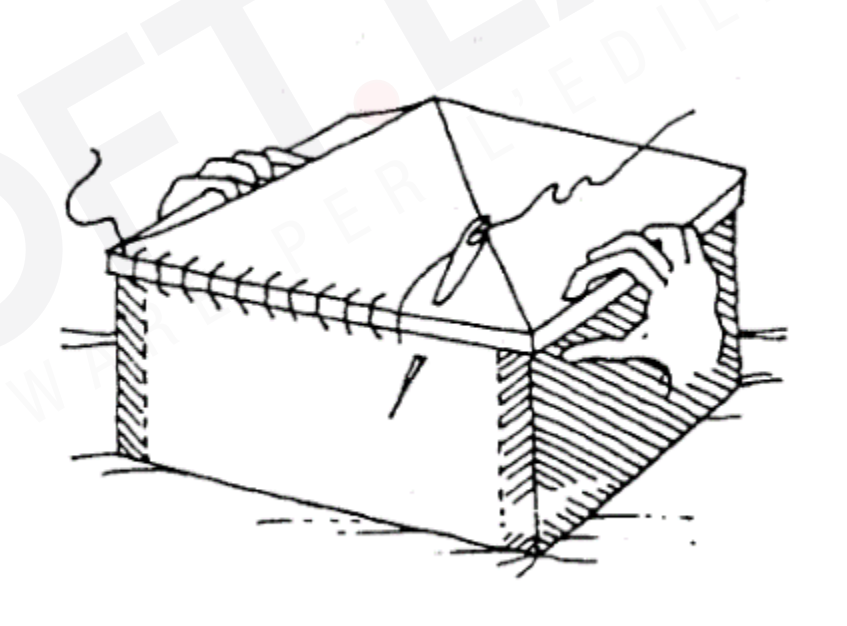






Meccanismi di crisi e modelli di capacità: fuori piano/1





Touliatos (1996)





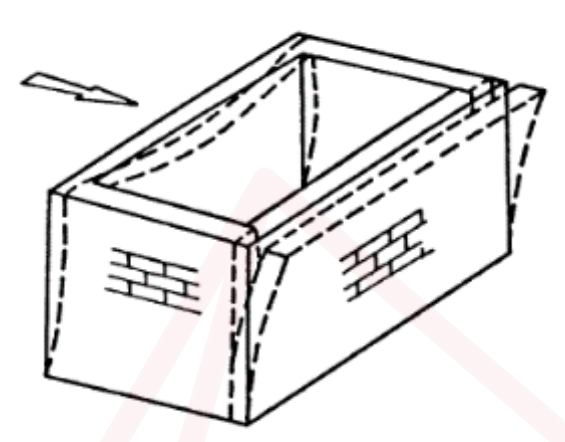




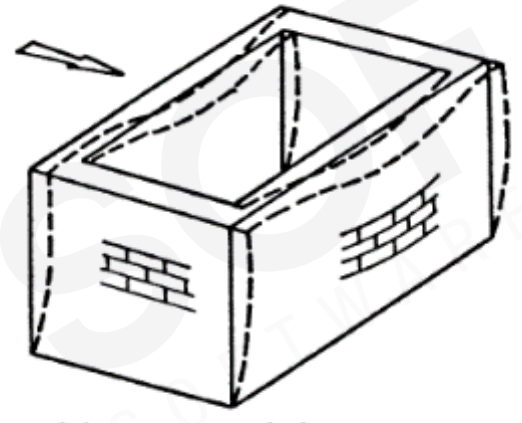




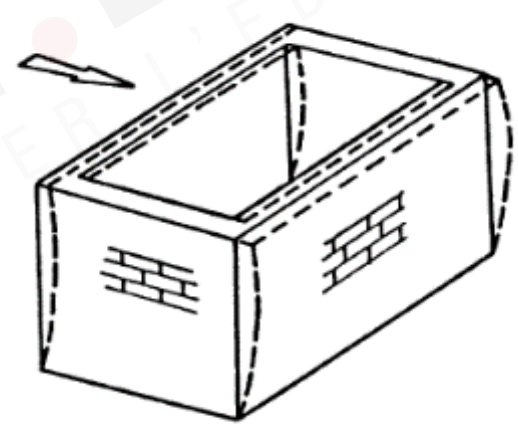
Meccanismi di crisi e modelli di capacità: fuori piano/2



a) con solaio deformabile e senza cordolo



b) con cordolo e con solaio deformabile



c) con cordolo e con solaio rigido

Touliatos (1996)













#### Valutazione della sicurezza/1

 $\zeta_E$ : rapporto tra l'azione sismica massima sopportabile dalla struttura (legata  $\varphi_C$ ) e l'azione sismica massima che si utilizzerebbe nel progetto di una nuova costruzione sul medesimo suolo e con le medesime caratteristiche (proporzionale a  $PGA_D$ ):

$$\zeta_E = \frac{PGA_C}{PGA_D}$$

 $\zeta_{v,i}$ : rapporto tra il valore massimo del sovraccarico verticale variabile sopportabile dalla parte i-esima della costruzione e il valore del sovraccarico verticale variabile che si utilizzerebbe nel progetto di una nuova costruzione.













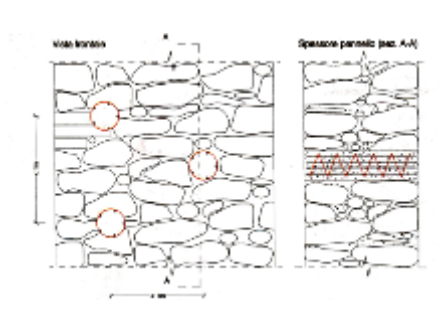
Soluzioni tradizionali (Circolare 21.01.2019, n. 7 C.S.LL.PP

- ✓ Consolidamento con iniezioni di miscele leganti;
- ✓ Consolidamento con intonaco armato;
- ✓ Consolidamento con diatoni artificiali o tirantini antiespulsivi;
- ✓ Consolidamento con ristilatura armata e connessione dei paramenti.



















#### Soluzioni innovative

- ✓ Consolidamento con sistemi reticolati in acciaio;
- ✓ Consolidamento con materiali compositi a matrice polimerica (FRP);
- ✓ Consolidamento con materiali compositi a matrice cementizia (FRCM o TRM)



















#### Materiali/2

		Stato di fatto			Interventi di consolidamento			
Tipologia di muratura	Malta buona	Ricorsi o listature	Connessione trasversale	Iniezione di miscele leganti (*)	Intonacoarmato (**)	Ristilatura armata con connessione dei paramenti (**)	Massimo coefficiente complessivo	
Muratura in pietrame disordinata (ciottoli, pietre erratiche e irregolari)	1,5	1,3	1,5	2	2,5	1,6	3,5	
Muratura a conci sbozzati, con paramenti di spessore disomogeneo	1,4	1,2	1,5	1,7	2,0	1,5	3,0	
Mur <mark>atura</mark> in pietre a spacco con buona tessitura	1,3	1,1	1,3	1,5	1,5	1,4	2,4	
Muratura irregolare di pietra tenera (tufo, calcarenite, ecc.,)	1,5	1,2	1,3	1,4	1,7	1,1	2,0	
Muratura a conci regolari di pietra tenera (tufo, calcarenite, ecc.,)	1,6	1	1,2	1,2	1,5	1,2	1,8	
Muratura a blocchi lapidei squadrati	1,2	-	1,2	1,2	1,2	-	1,4	
Muratura in mattoni pieni e malta di calce	(***)	-	1,3 (****)	1,2	1,5	1,2	1,8	
Muratura in mattoni semipieni con malta cementizia (es,: doppio UNI foratura ≤40%)	1,2	-	-	-	1,3	-	1,3	

<sup>(\*)</sup> I coefficienti correttivi relativi alle iniezioni di miscele leganti devono essere commisurati all'effettivo beneficio apportato alla muratura, riscontrabile con verifiche sia nella fase di esecuzione (iniettabilità) sia a-posteriori (riscontri sperimentali attraverso prove soniche o similari).

M.II.TT. (2019), Circolare 21.01.2019, n. 7 C.S.LL.PP.











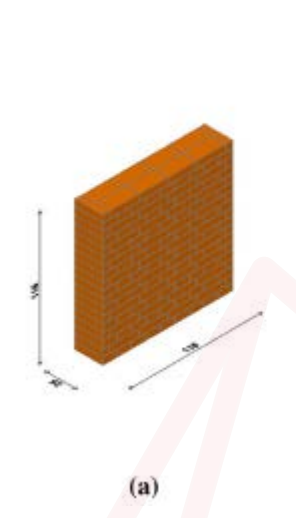
<sup>(\*\*)</sup> Valori da ridurre convenientemente nel caso di pareti di notevole spessore (p.es. > 70 cm).

<sup>(\*\*\*)</sup> Nel caso di muratura di mattoni si intende come "malta buona" una malta con resistenza media a compressione fm superiore a 2 N/mm². In tal caso il coefficiente correttivo può essere posto pari a fmº35 (fm in N/mm²).

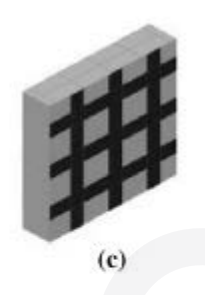
<sup>(\*\*\*\*)</sup> Nel caso di muratura di mattoni si intende come muratura trasversalmente connessa quella apparecchiata a regola d'arte.

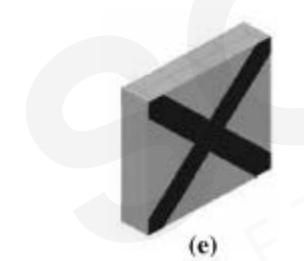


Rinforzo a taglio con C-FRP





























Rinforzo a taglio con C-FRP: provino non rinforzato

Pendolo di collegamento slitta-traversa

Telaio ausiliario di contrasto per la base superiore del provino

Strumentazione di controllo e monitoraggio

Martinelli & al (2016)



Attuatore vertical per il carico di compressione

Doppia traversa rigida per distribuire uniformemente il carico verticale

Attuatore orizzontale per la forza di taglio







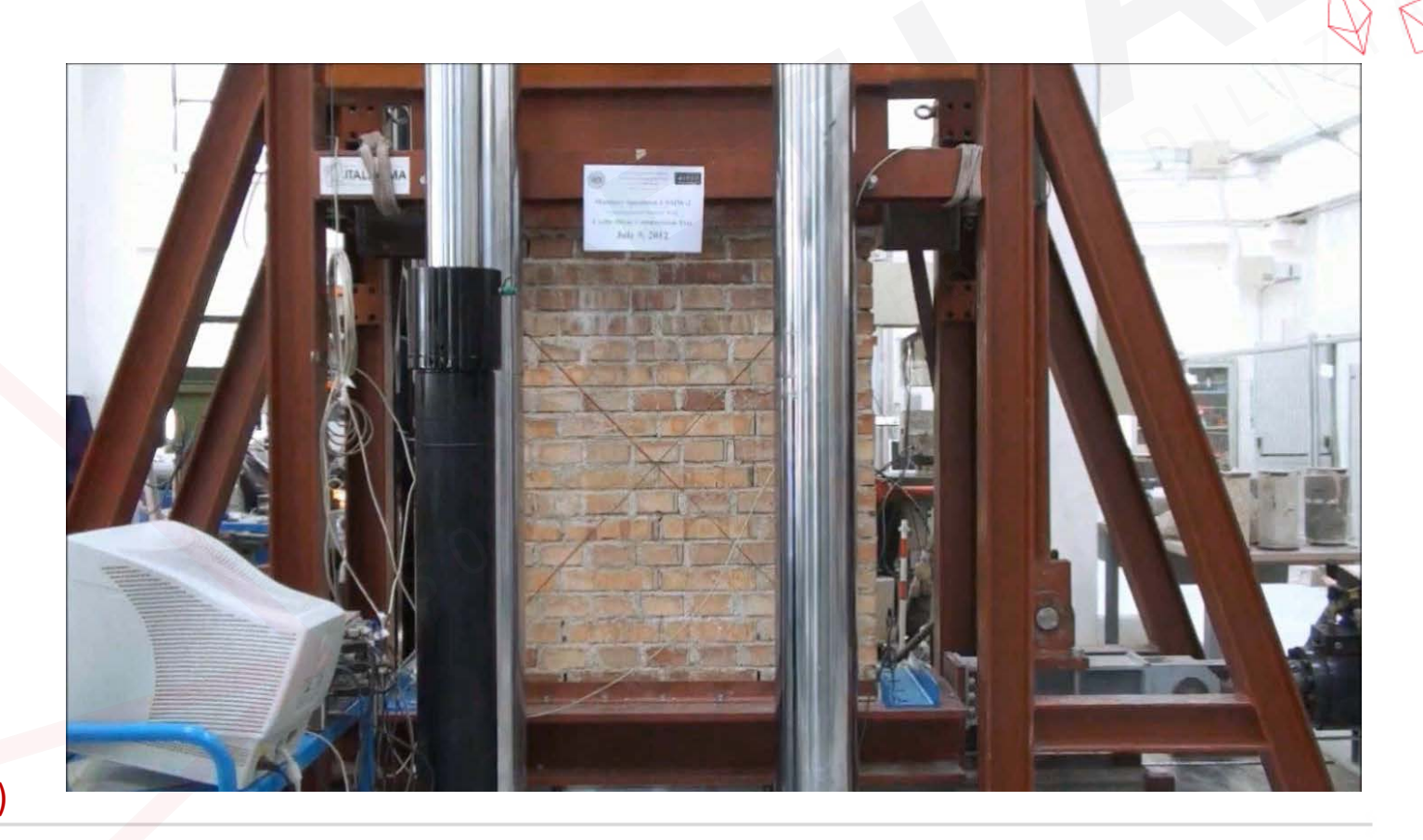








Rinforzo a taglio con C-FRP: provino non rinforzato







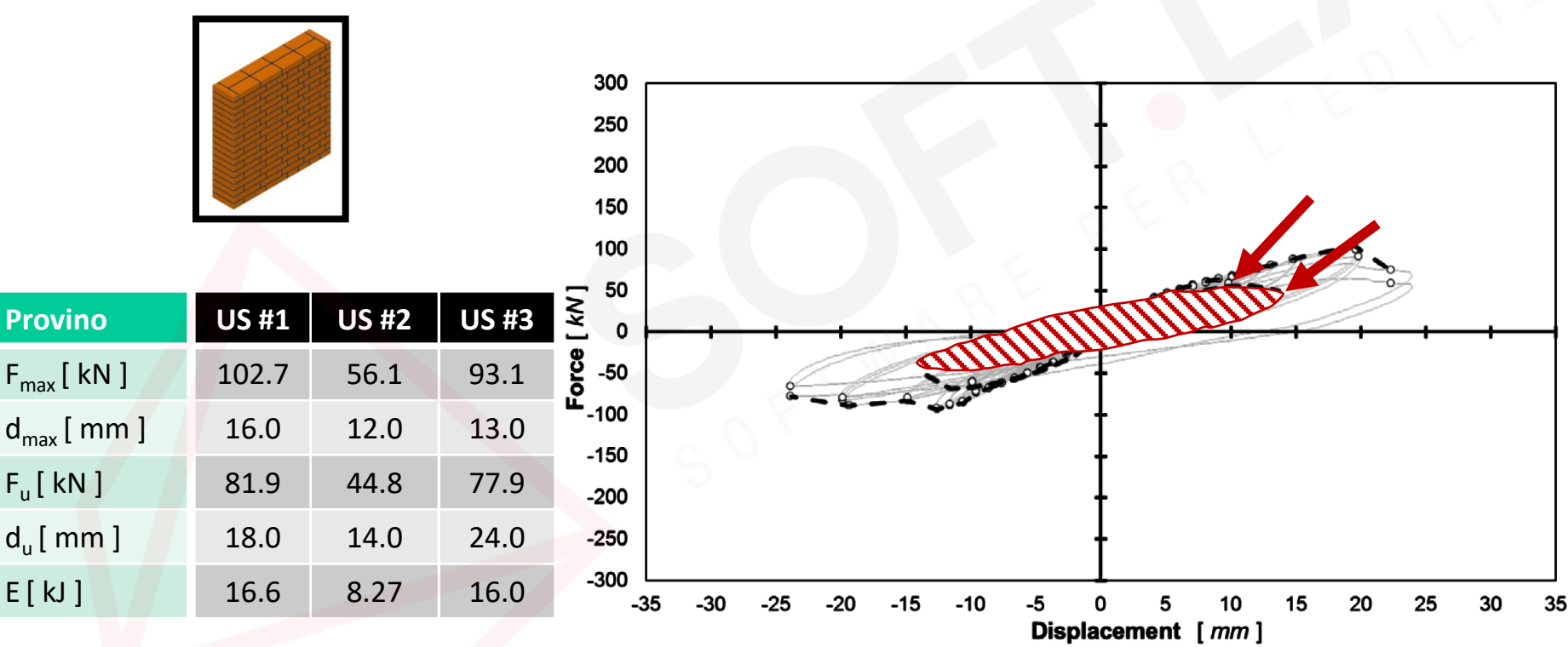








Rinforzo a taglio con C-FRP: provino non rinforzato

















Rinforzo a taglio con C-FRP: provino con rinforzo verticale







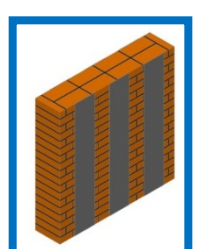


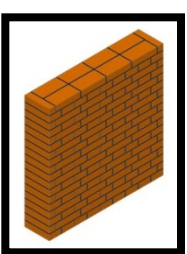






Rinforzo a taglio con C-FRP: provino con rinforzo verticale





Provino	V #1	V #2
F <sub>max</sub> [ kN ]	100.6	116.5
d <sub>max</sub> [ mm ]	20.0	16.0
F <sub>u</sub> [kN]	79.7	91.9
d <sub>u</sub> [ mm ]	22.0	20.0
E [ kJ ]	23.7	19.2

250 200 150 100 -50 -100 -150 -200 -250 -300 -35 -30 -25 -20 -15 -10 -5 0 5 10 15 20 25 30 Displacement [mm]













Rinforzo a taglio con C-FRP: provino con rinforzo orizzontale







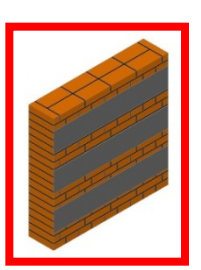


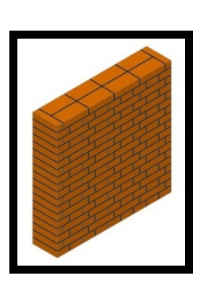




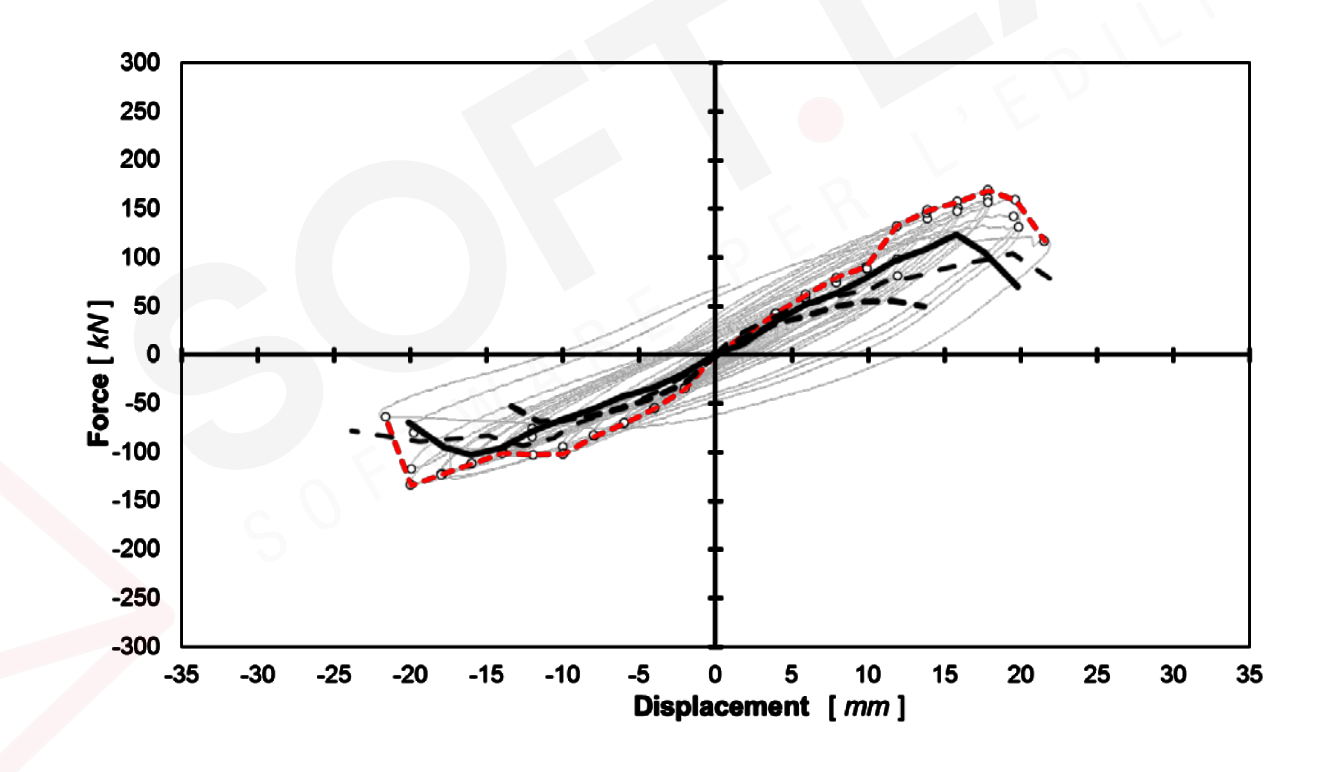


Rinforzo a taglio con C-FRP: provino con rinforzo orizzontale





Provino	H #1	H #2
F <sub>max</sub> [ kN ]	120.4	133.8
d <sub>max</sub> [ mm ]	18.0	20.0
F <sub>u</sub> [kN]	95.9	117.7
d <sub>u</sub> [ mm ]	22.0	22.0
E [ kJ ]	30.3	28.1















Rinforzo a taglio con C-FRP: provino con rinforzo a griglia







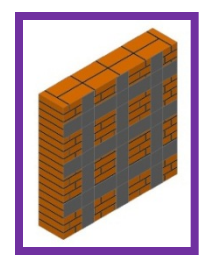


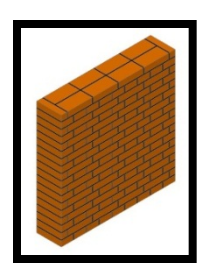




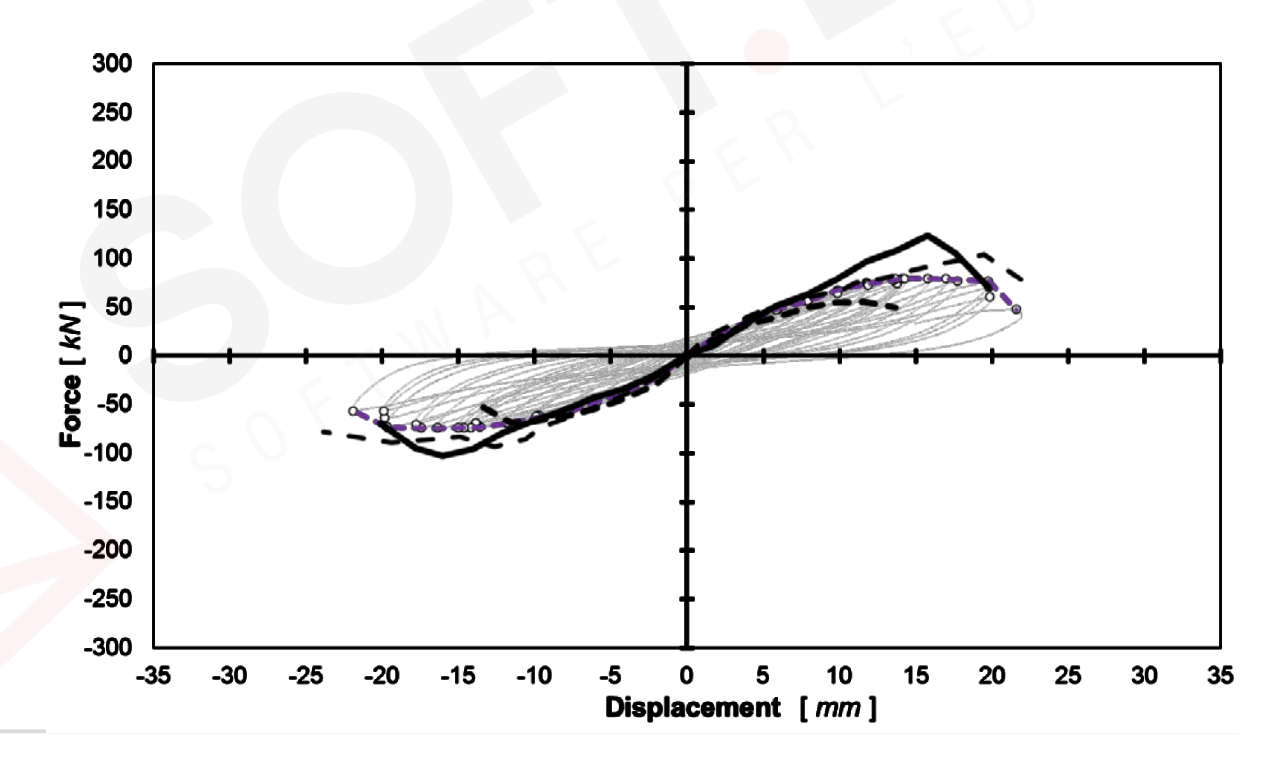


Rinforzo a taglio con C-FRP: provino con rinforzo a griglia





Provino	G #1	G #2		
F <sub>max</sub> [ kN ]	126.8	74.2		
d <sub>max</sub> [ mm ]	16.0	16.0		
F <sub>u</sub> [kN]	100.3	57.1		
d <sub>u</sub> [ mm ]	22.0	20.0		
E [ kJ ]	26.2	15.8		















Rinforzo a taglio con C-FRP: provino con rinforzo diagonale







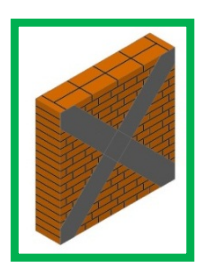


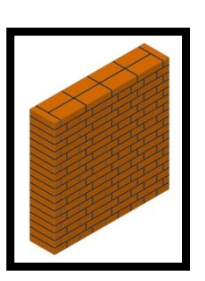






Rinforzo a taglio con C-FRP: provino con rinforzo diagonale





TTOVIIIO		
F <sub>max</sub> [kN]	141.7	212.8
d <sub>max</sub> [ mm ]	24.0	30.0
F <sub>u</sub> [kN]	88.2	169.9

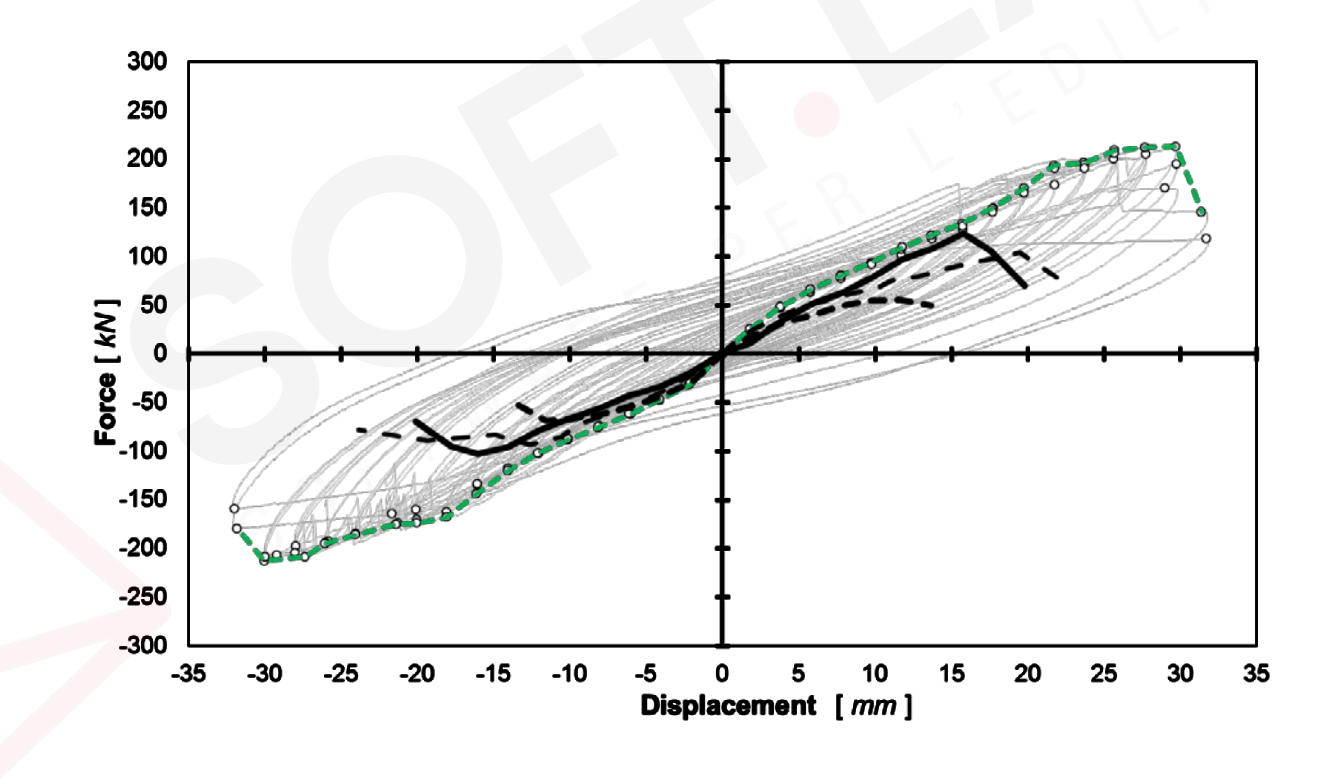
26.0

32.0

94.14

E[kJ] 51.6

Martinelli & al (2016)



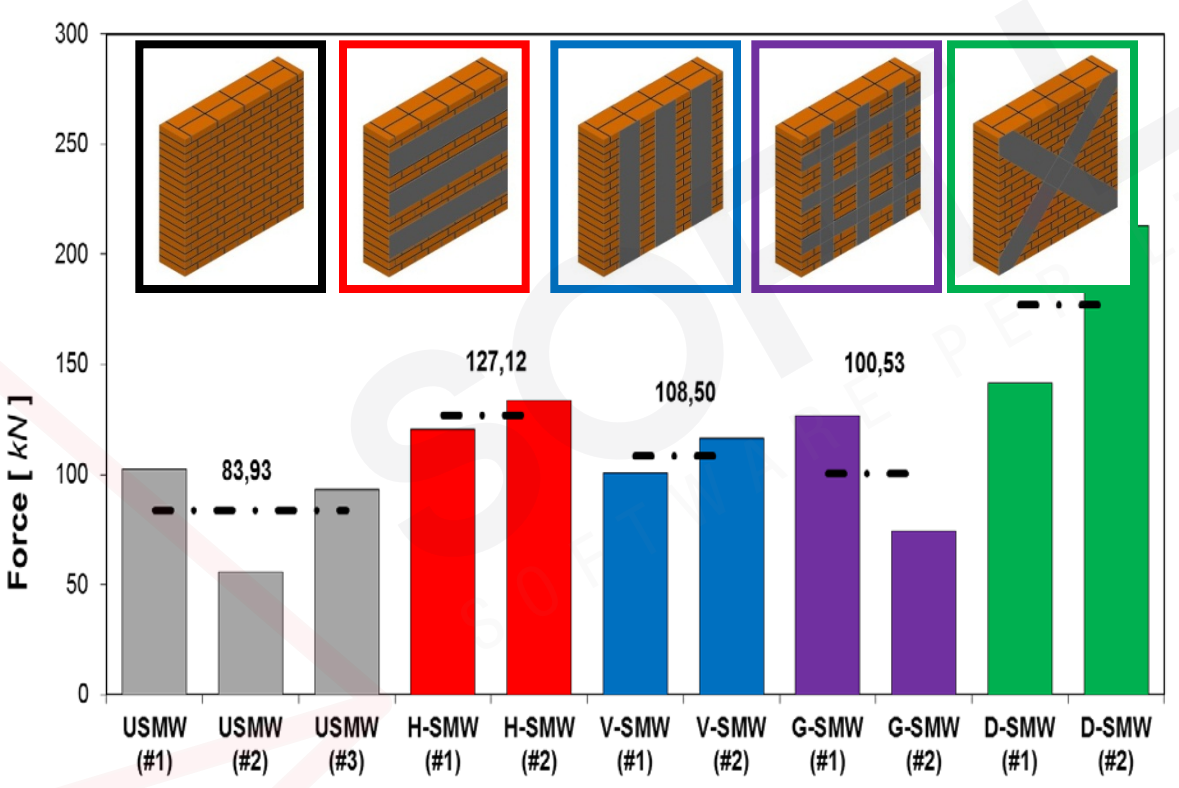


 $d_u [mm]$ 





Rinforzo a taglio con C-FRP: confronti (resistenza)







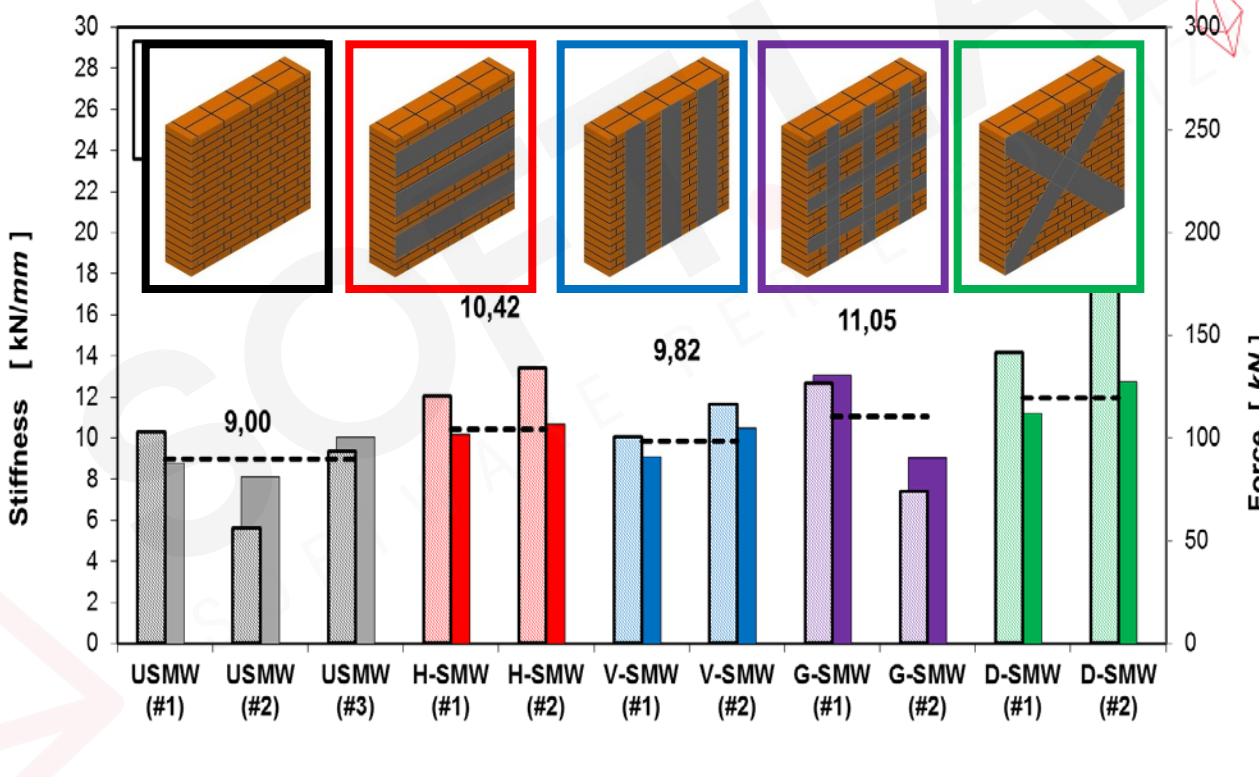


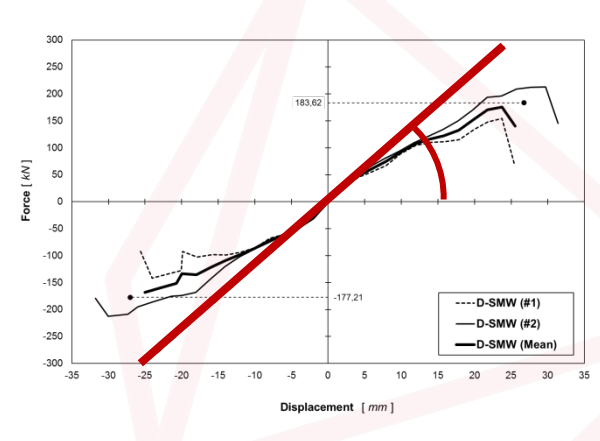






Rinforzo a taglio con C-FRP: confronti (rigidezza)









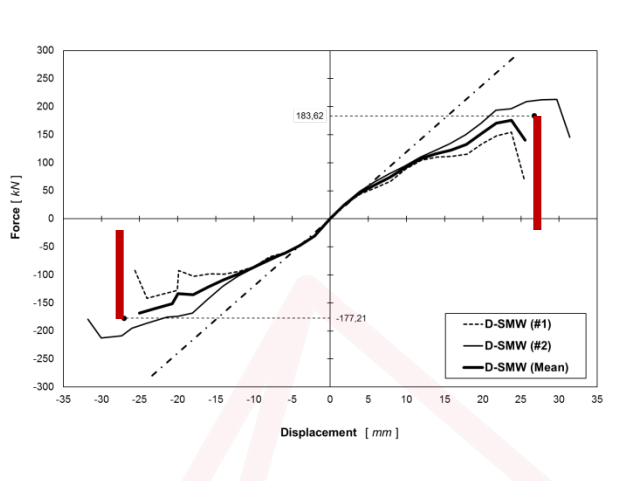


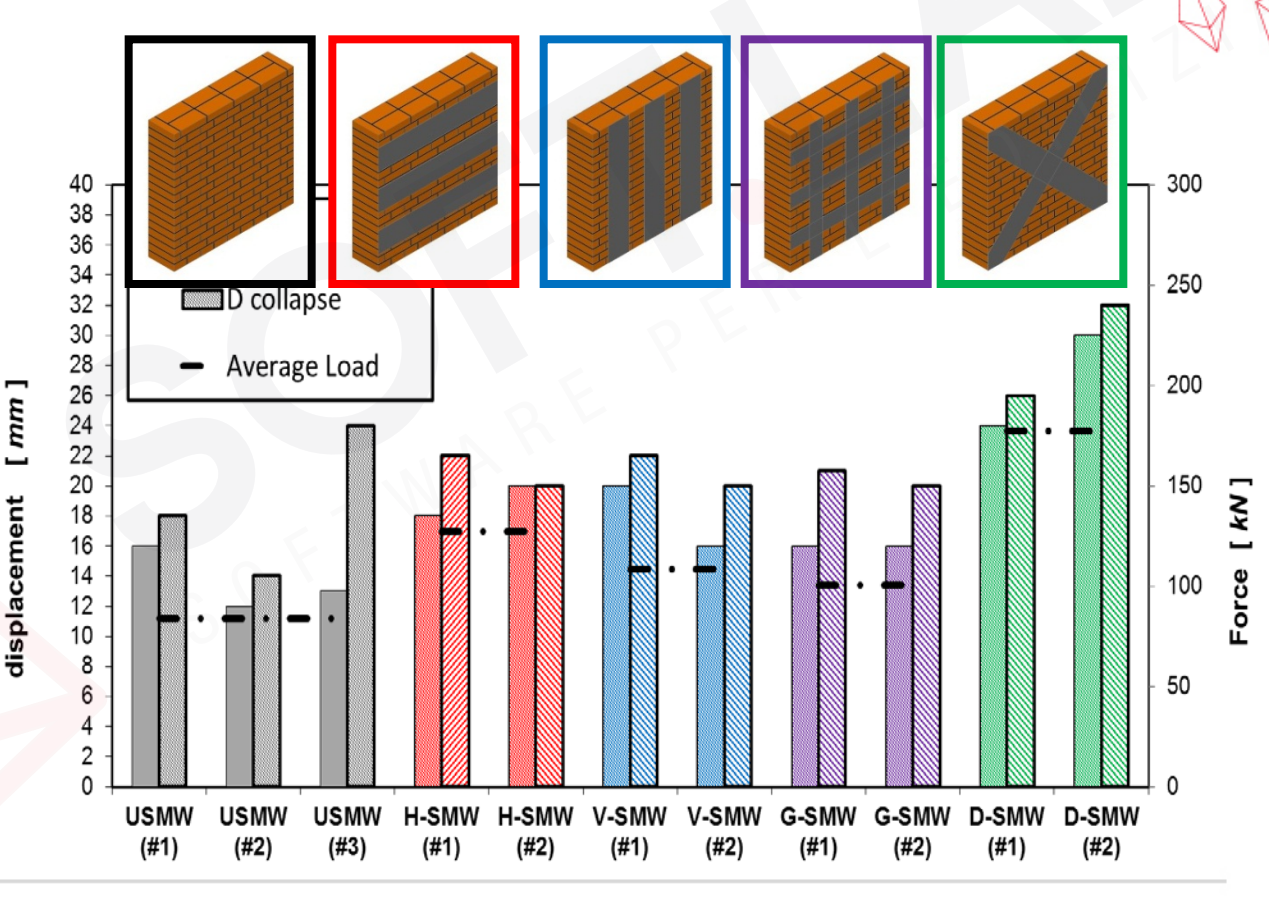






Rinforzo a taglio con C-FRP: confronti (cap. di spostamento)









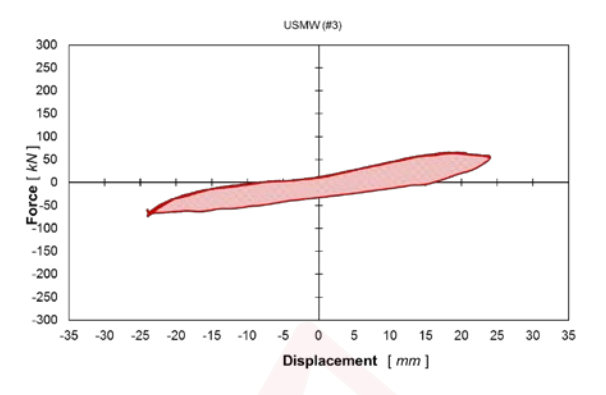


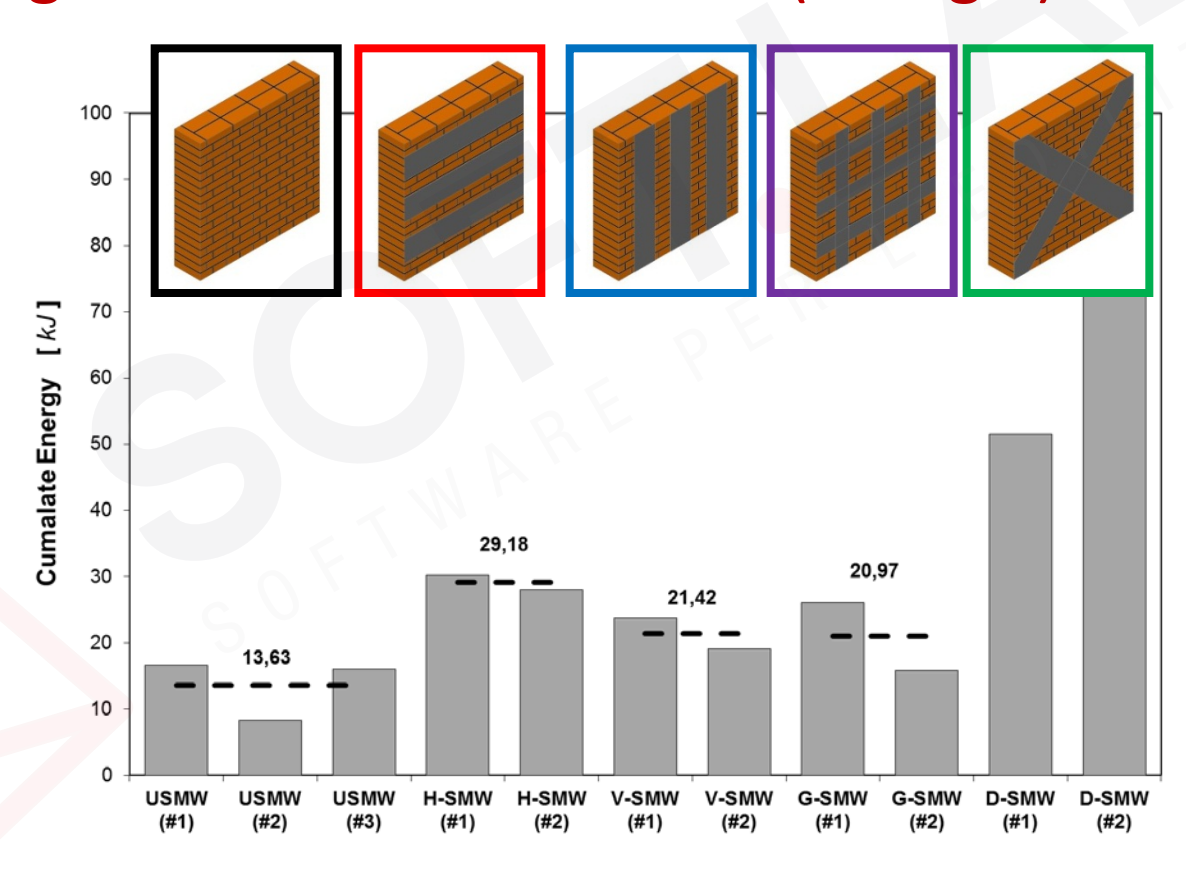






Rinforzo a taglio con C-FRP: confronti (energia)

















Rinforzo di elementi in muratura con FRP: riferimenti

Istruzioni
per la Progettazione, l'Esecuzione ed il Controllo
di Interventi di Consolidamento Statico
mediante l'utilizzo di
Compositi Fibrorinforzati

Materiali, strutture di c.a. e di c.a.p., strutture murarie



CNT DT 200R1 (2013)













# Aspetti normativi

#### Meccanismi di crisi e modelli di capacità

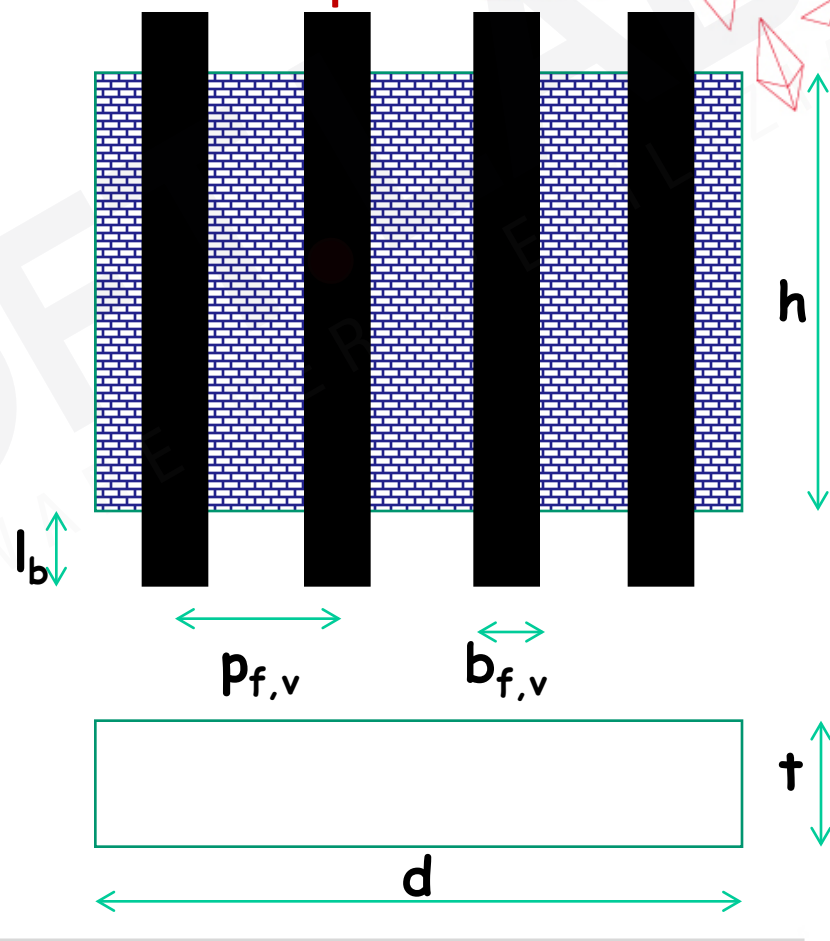
$$f_{f,d} = min(f_{fu,d}, f_{f,dd})$$

#### Strappo della lamina

$$f_{fu,d} = \eta_a \frac{f_{fu}}{\gamma_f}$$

#### Delaminazione d'estremità

$$f_{f,dd} = \begin{cases} \frac{1}{\gamma_{f,d}} \sqrt{\frac{2E_{f}\Gamma_{Fd}}{t_{f}}} & I_{b} \geq I_{e} \\ \frac{1}{\gamma_{f,d}} \sqrt{\frac{2E_{f}\Gamma_{Fd}}{t_{f}}} \cdot \frac{I_{b}}{I_{e}} \cdot \left(2 - \frac{I_{b}}{I_{e}}\right) & I_{b} < I_{e} \end{cases}$$















# Aspetti normativi

#### Meccanismi di crisi e modelli di capacità: rinforzo con FRP

$$\sigma_f(x_k,x) = E_f \cdot \max\{\varepsilon_f(x_k,x);0\}$$

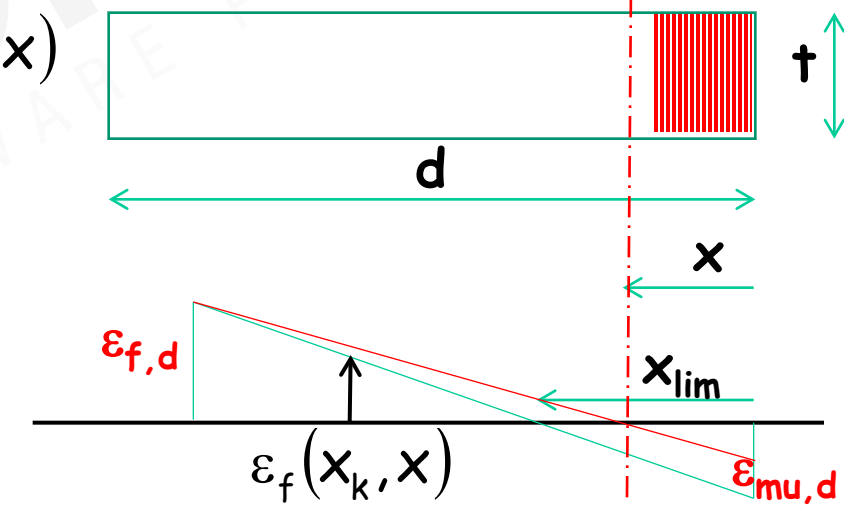
$$x \le x_{lim} \longrightarrow \varepsilon_f(x_k, x) = \frac{\varepsilon_{f,d}}{x_n - x} \cdot (x_k - x)$$

$$x > x_{lim} \longrightarrow \varepsilon_f(x_k, x) = \frac{\varepsilon_{mu,d}}{x_n - x} \cdot (x_k - x)$$

$$N_{Rd}(x) = 0.85f_{cm}t \cdot \psi x - 2 \cdot \sum_{k=1}^{n} E_f b_f t_f \sigma_f(x_i, x)$$

$$M_{Rd}(x) \approx 0.85 f_{cm} t \cdot \psi x \cdot \left(\frac{d}{2} - \frac{\psi x}{2}\right) + 1$$

$$+2\cdot\sum_{k=1}^{n}E_{f}b_{f}t_{f}\sigma_{f}(x_{k},x)\cdot\left(\frac{d}{2}-x_{k}\right)$$









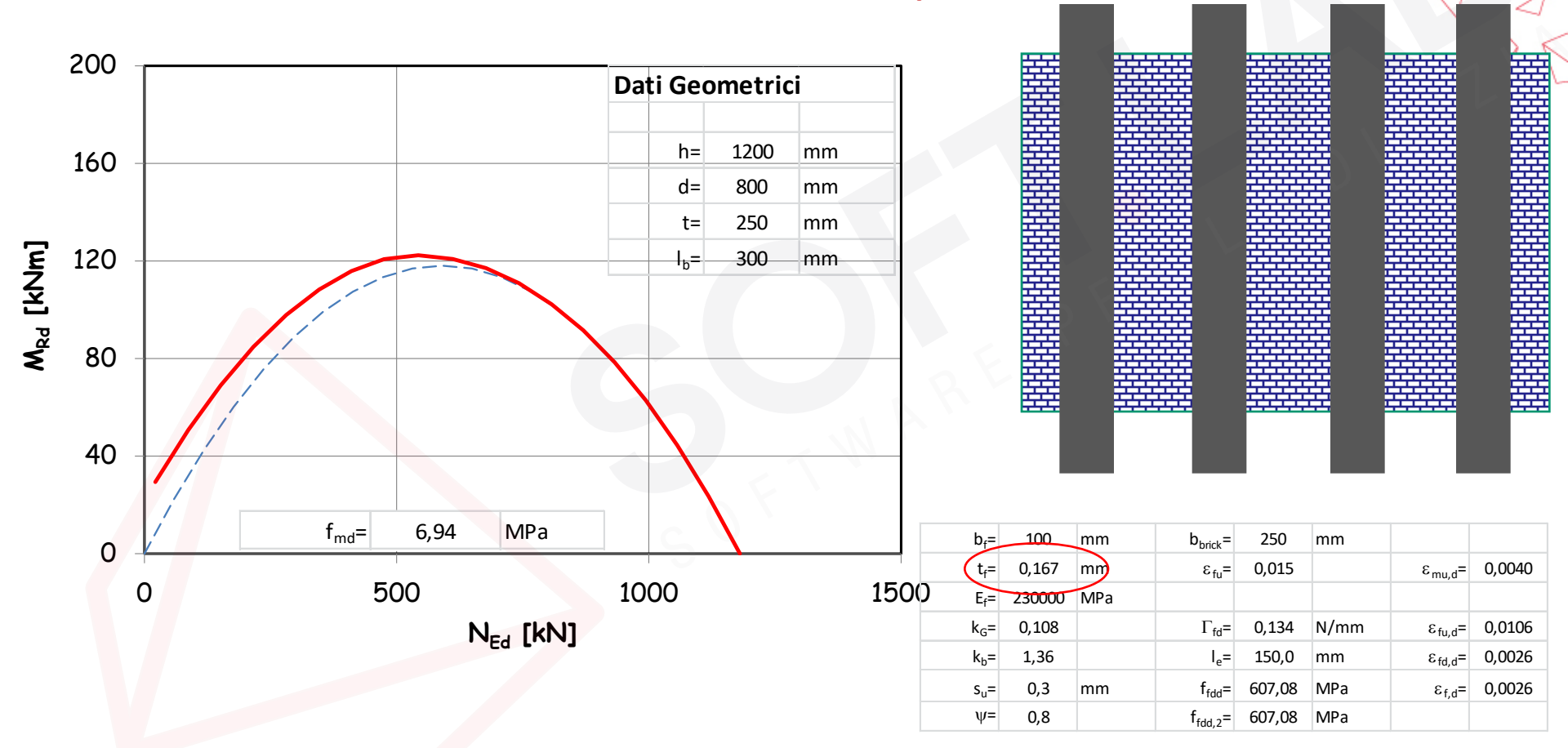






# Aspetti normativi

Meccanismi di crisi e modelli di capacità: rinforzo con FRP







#### Rinforzo a taglio con FRCM

Fiber-Reinforced Cementitious Matrix

Textile-Reinforced Mortars

**Textile Reinforced Concrete** 

Fabric Reinforced Mortar

**Inorganic Matrix-Grid Composites** 



(TRM)

(TRM)

(FRM)

(IMG)



#### Vantaggi

- Permeabilità al vapore
- Compatibilità con il substrato
- Resistenza al fuoco
- Reversibilità
- Tempi e costi di installazione

Ferrara & al (2019)















#### Rinforzo a taglio con FRCM



#### Tradizionali:

- Carbonio
- Vetro

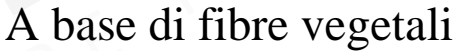


- PBO
- Basalto











- Lino
- Sisal
- Coir
- Canapa
- Curaua





Ferrara & al (2019)







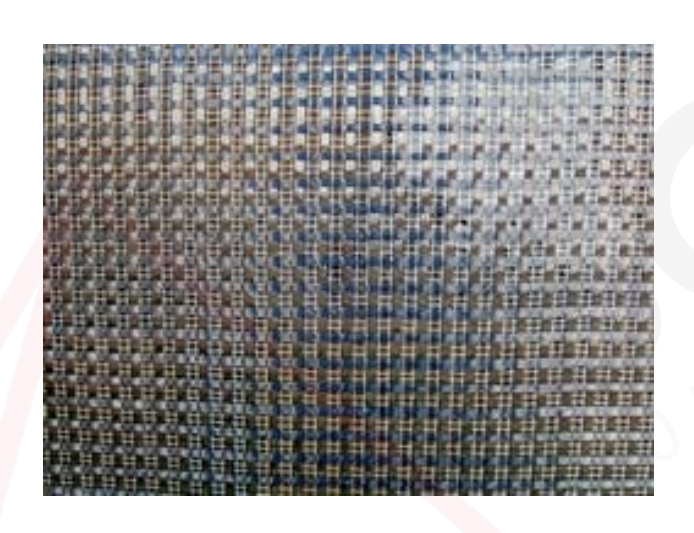


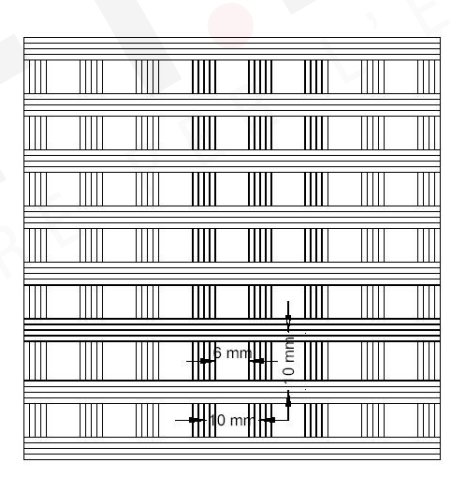






Rinforzo a taglio con FRCM: tessuto in carbonio





Faella & al (2010)











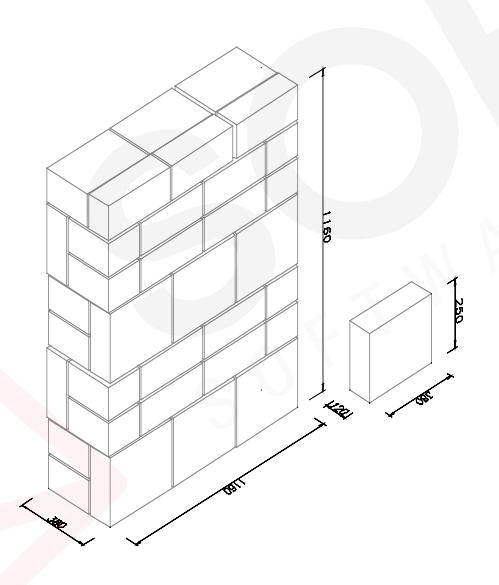


Rinforzo a taglio con FRCM: tessuto in carbonio









Standard Test Method for Diagonal Tension (Shear) in Masonry Assemblages





Faella & al (2010)















Resistenza a compressione [MPa]	38
Res. a trazione (flessione) [MPa]	7.5
Modulo di Young [MPa]	15000













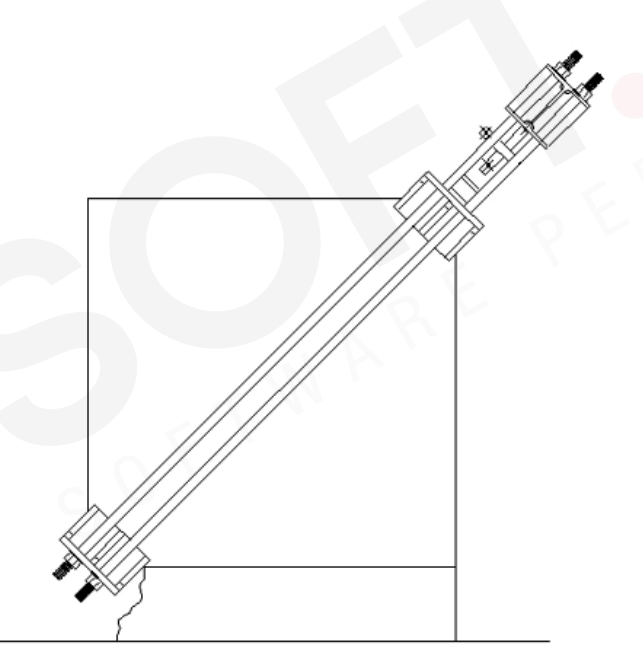


Rinforzo a taglio con FRCM: tessuto in carbonio

#### **Tiranti**































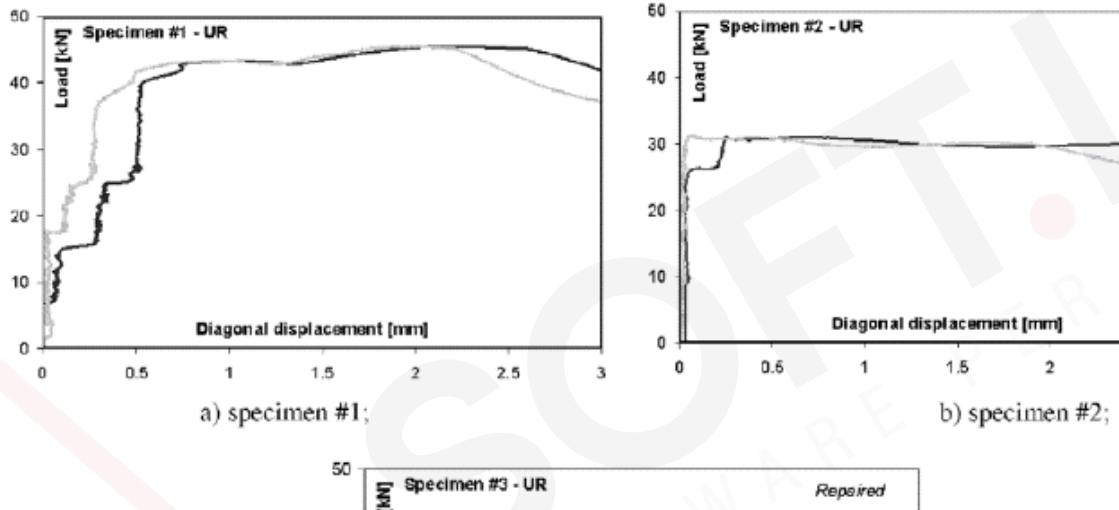


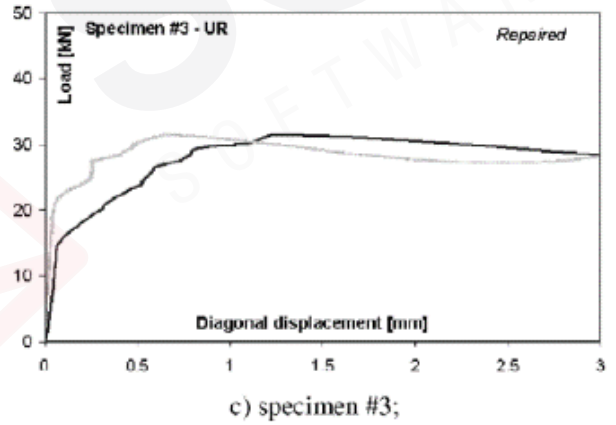






Rinforzo a taglio con FRCM: tessuto in carbonio







2.5

Faella & al (2010)



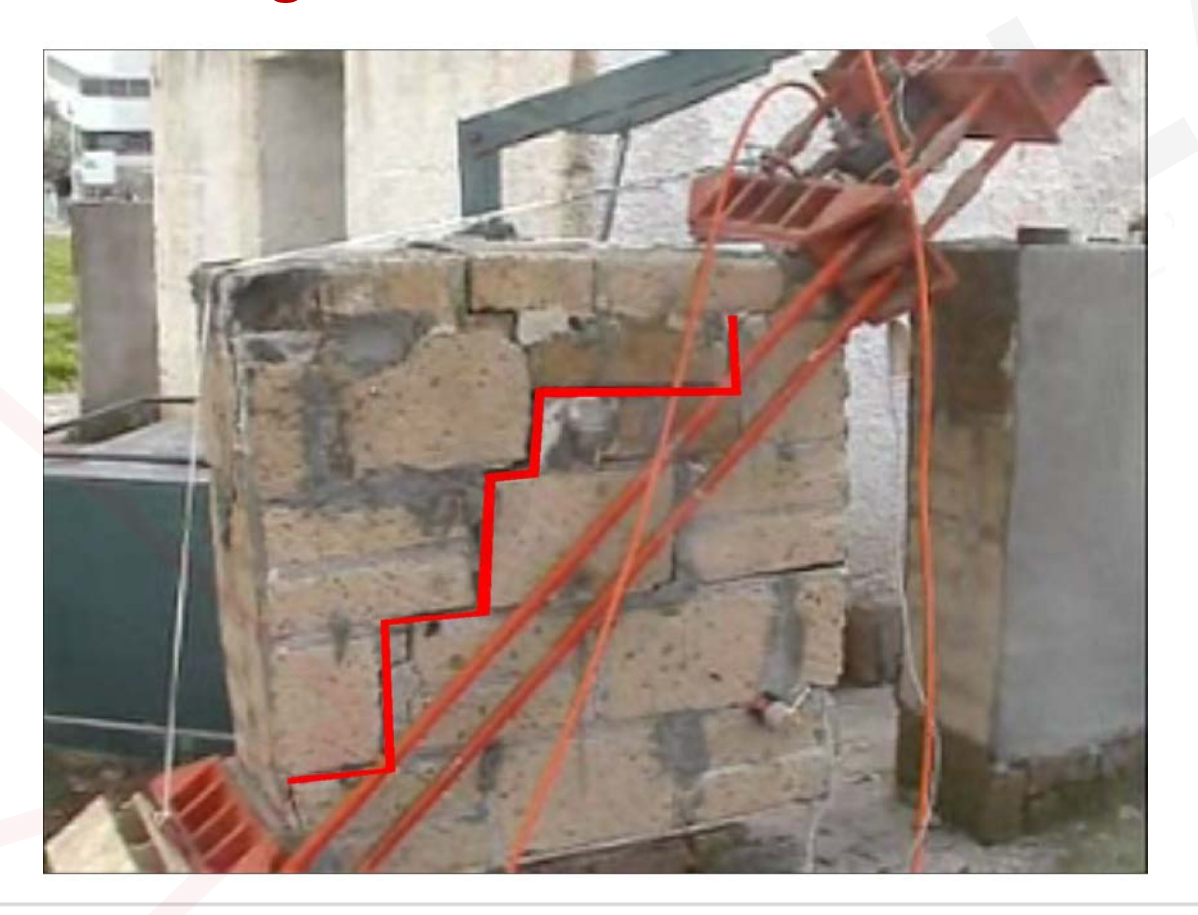














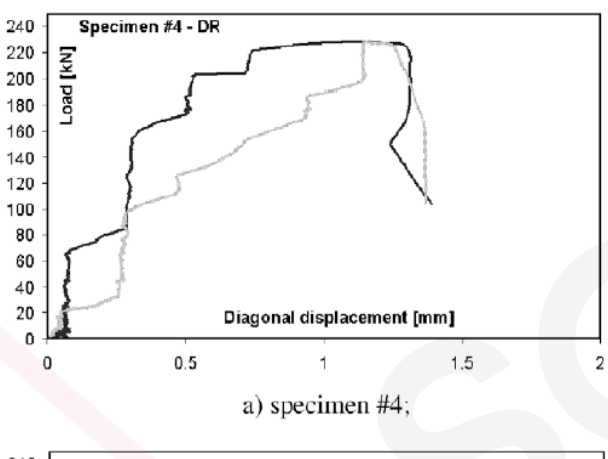


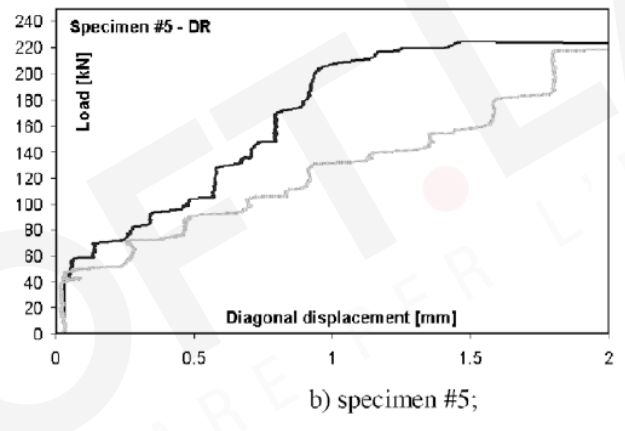


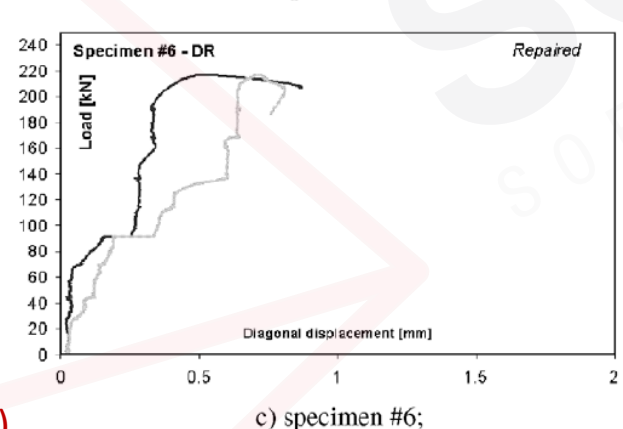


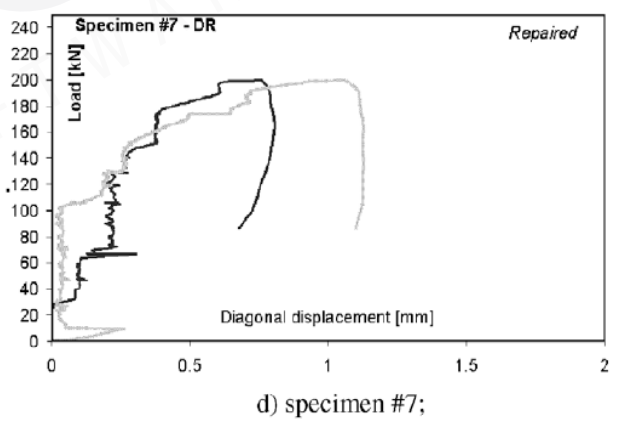


Rinforzo a taglio con FRCM: tessuto in carbonio











Faella & al (2010)























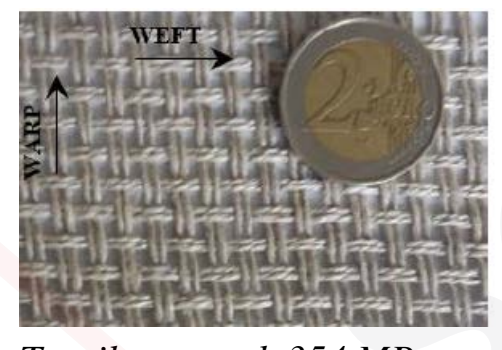








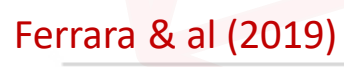




Tensile strength 354 MPa Strain to failure 3.85 % Young's Modulus 9.4 GPa



Flexural strength 3.13 MPa
Compression strength 11.13 MPa



















Rinforzo a taglio con FRCM: tessuto in lino

Sequenza di applicazione























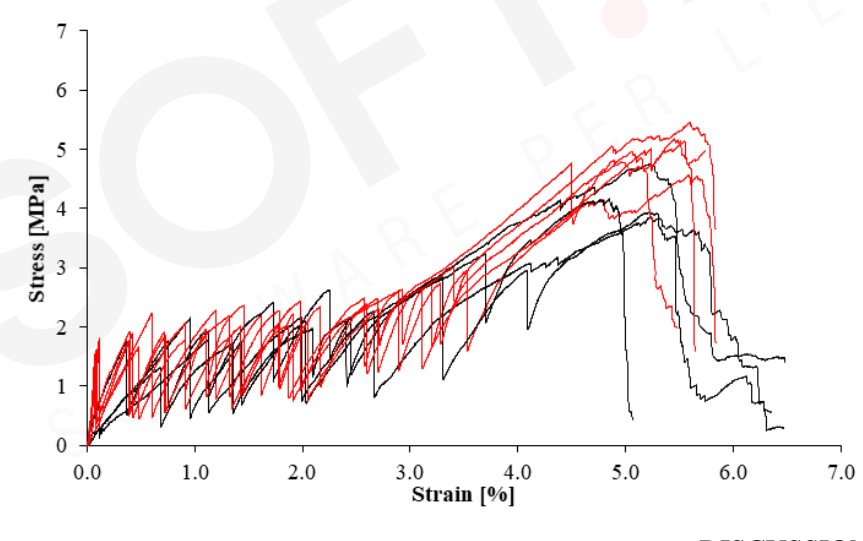


Rinforzo a taglio con FRCM: tessuto in lino

FLAX-TRM: Comportamento a trazione







**DISCUSSION** 

Ferrara & al (2019)











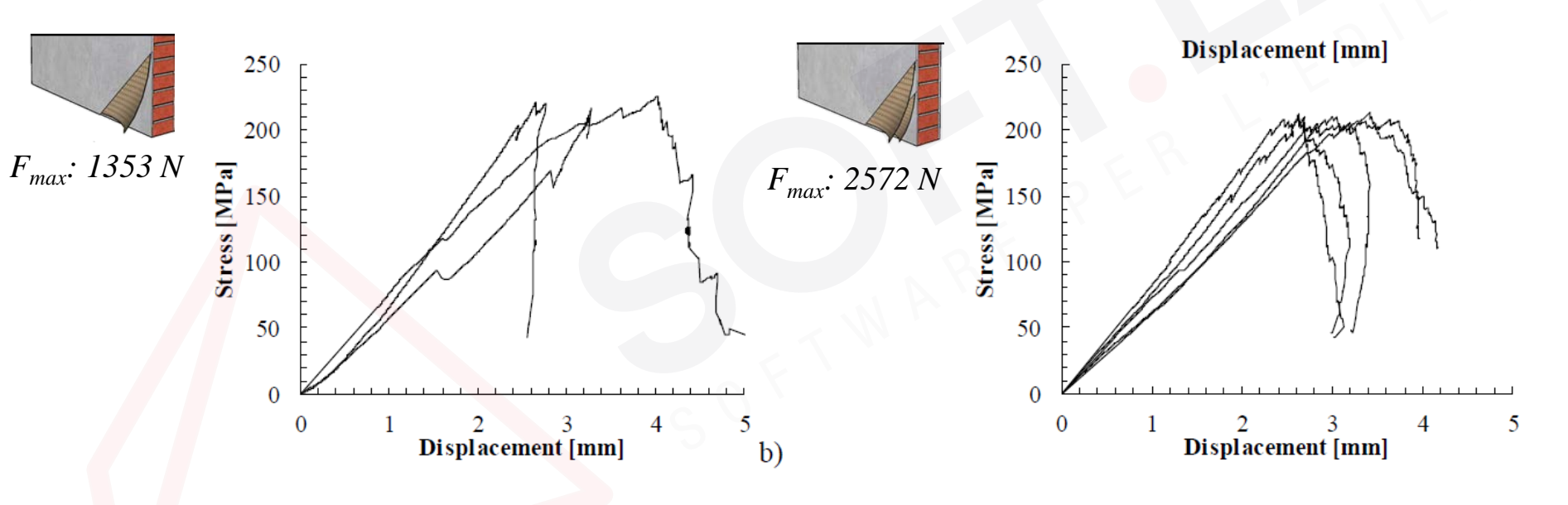






Rinforzo a taglio con FRCM: tessuto in lino

FLAX-TRM: adesione al supporto in muratura





















Rinforzo a taglio con FRCM: tessuto in lino

FLAX-TRM: adesione al supporto in muratura























Rinforzo a taglio con FRCM: tessuto in lino

Volumetric % reinf.

Thickness of the reinf.

2 Reinforcing configurations



1 Flax textile ply (1F-TRM)

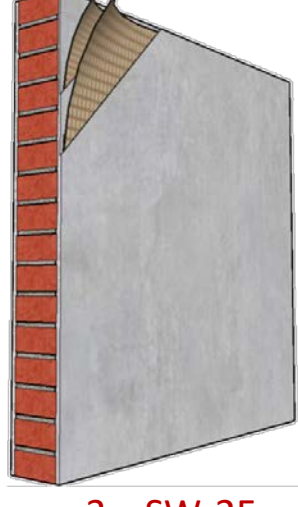
2.04 %

2F-TRM 5 mm

Strengthened 8 mm

2 Flax textile plies (2F-TRM)

2.55 %



Ferrara & al (2019)





3 x USW

3 x SW-1F

3 x SW-2F





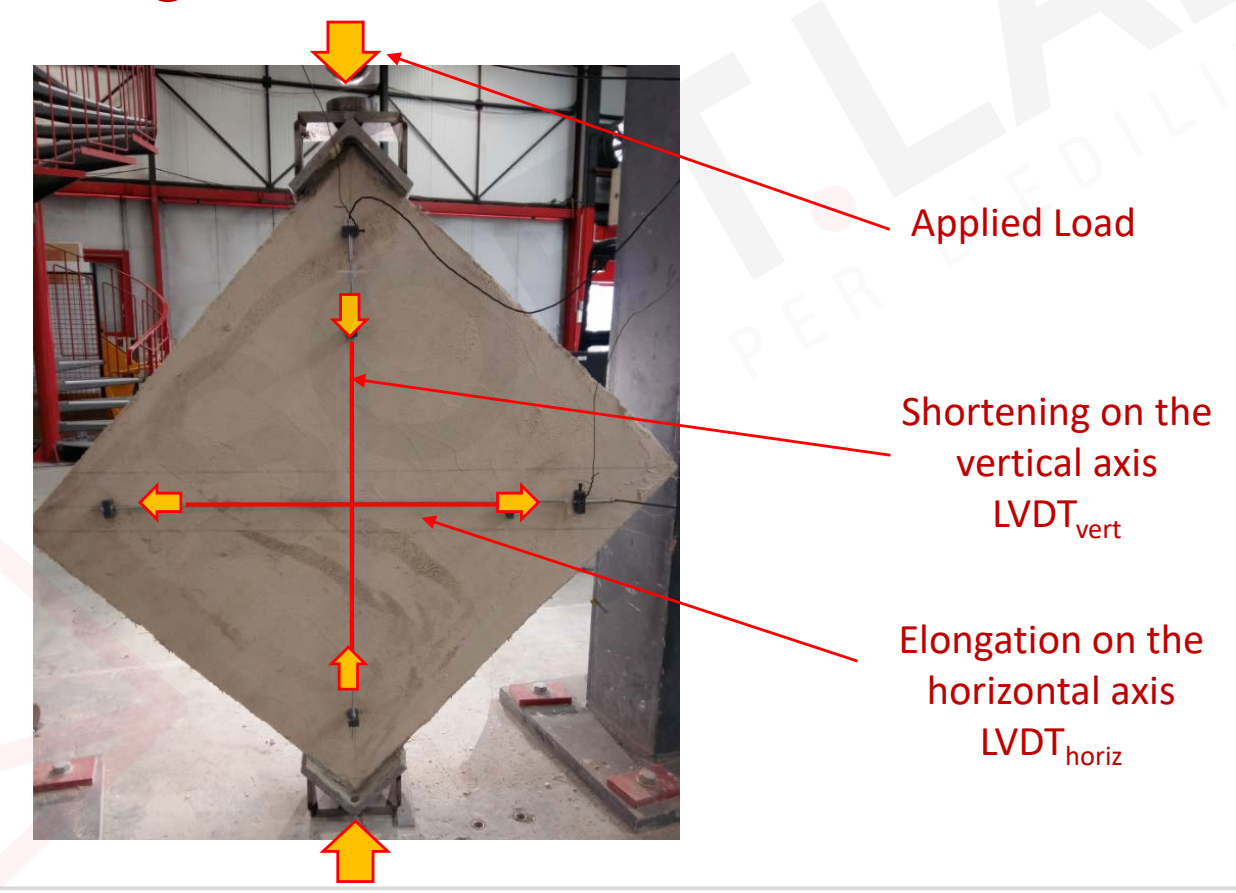








Rinforzo a taglio con FRCM: tessuto in lino







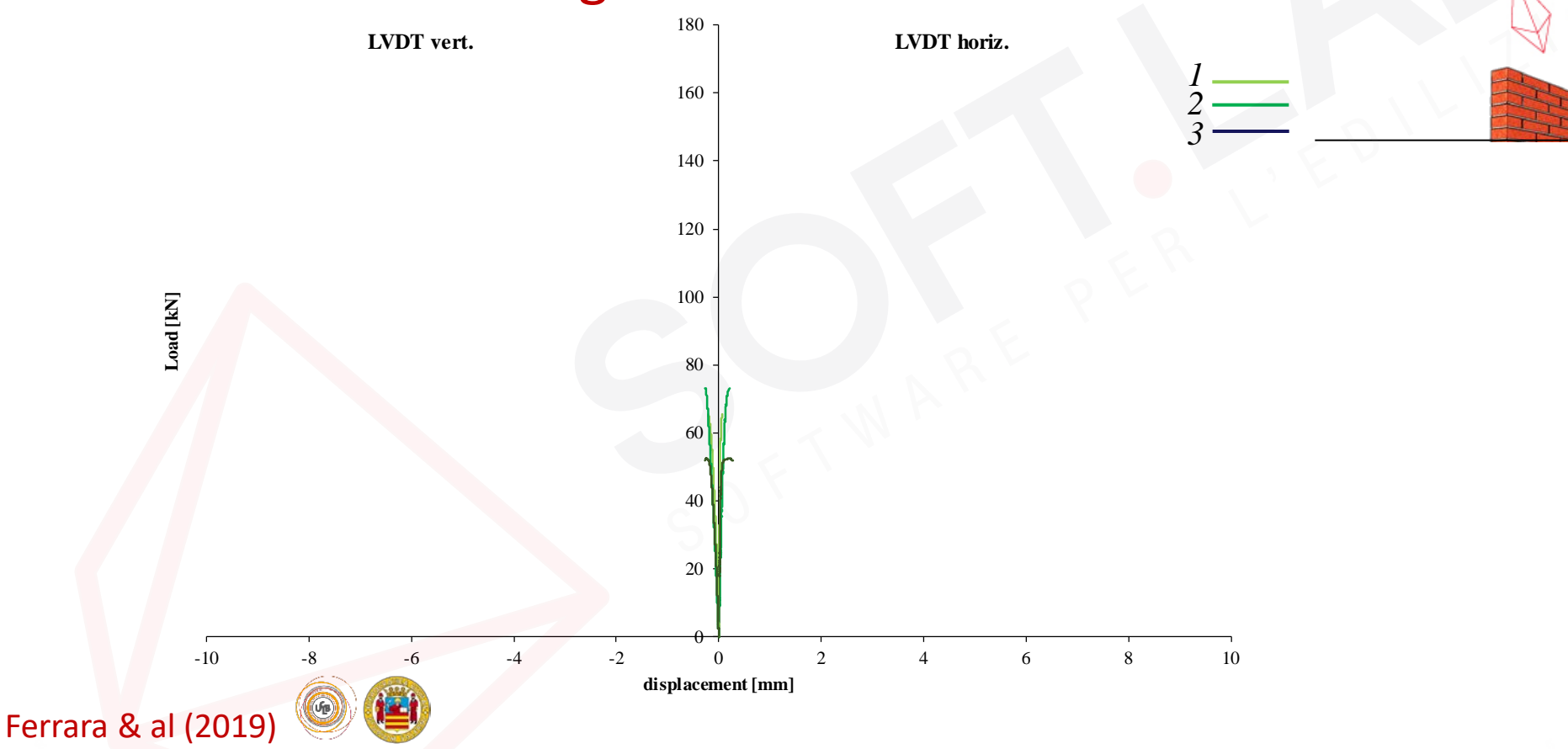
Ferrara & al (2019)













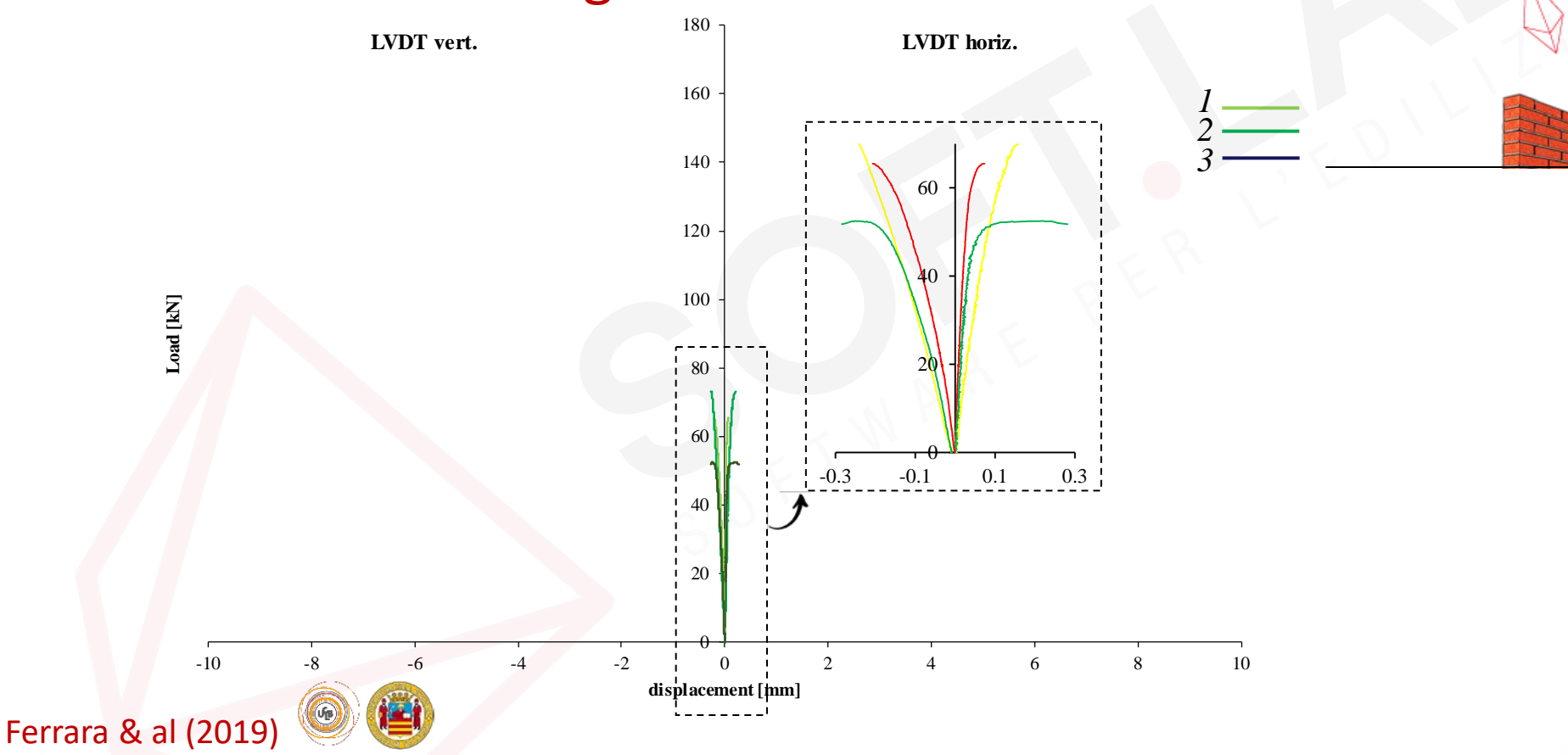














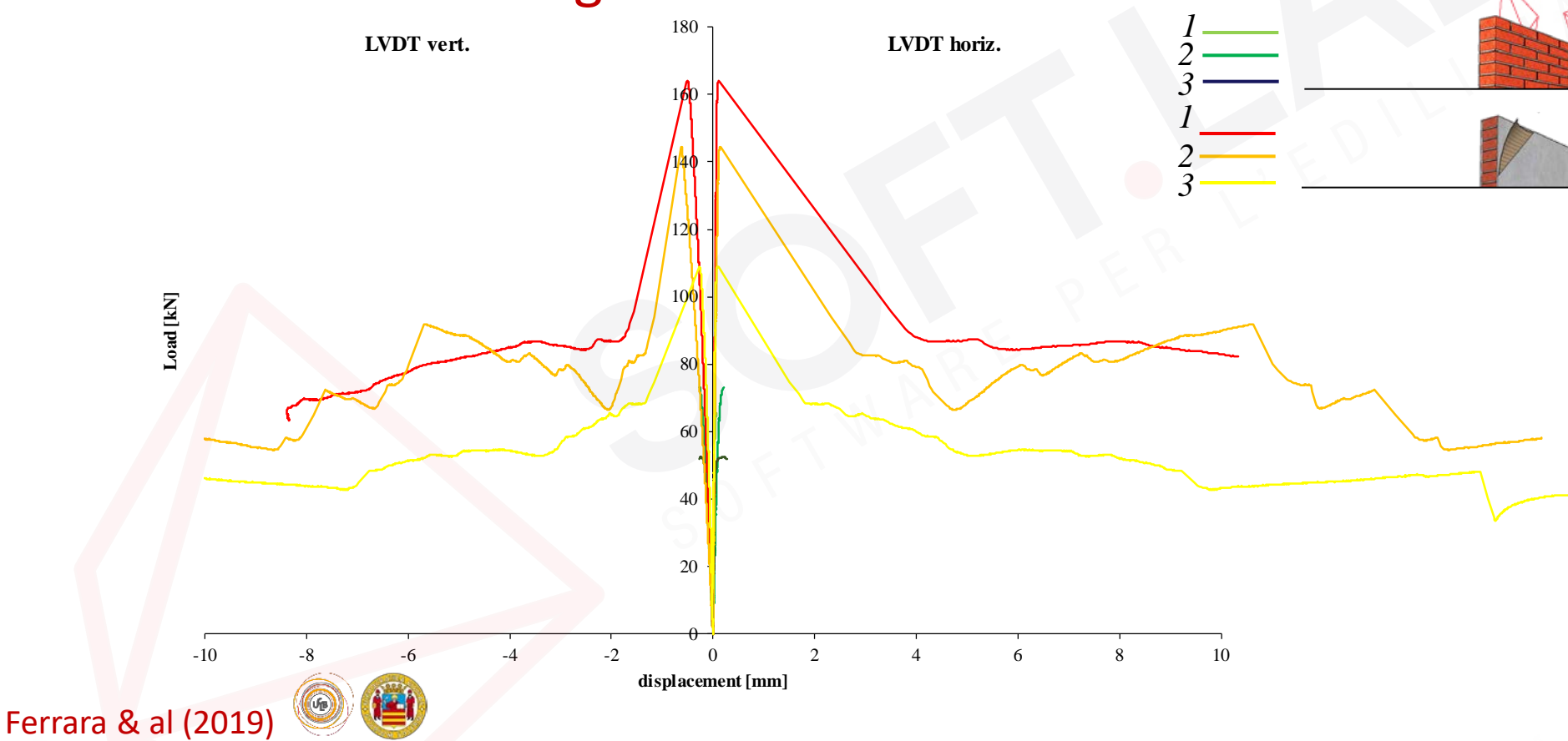














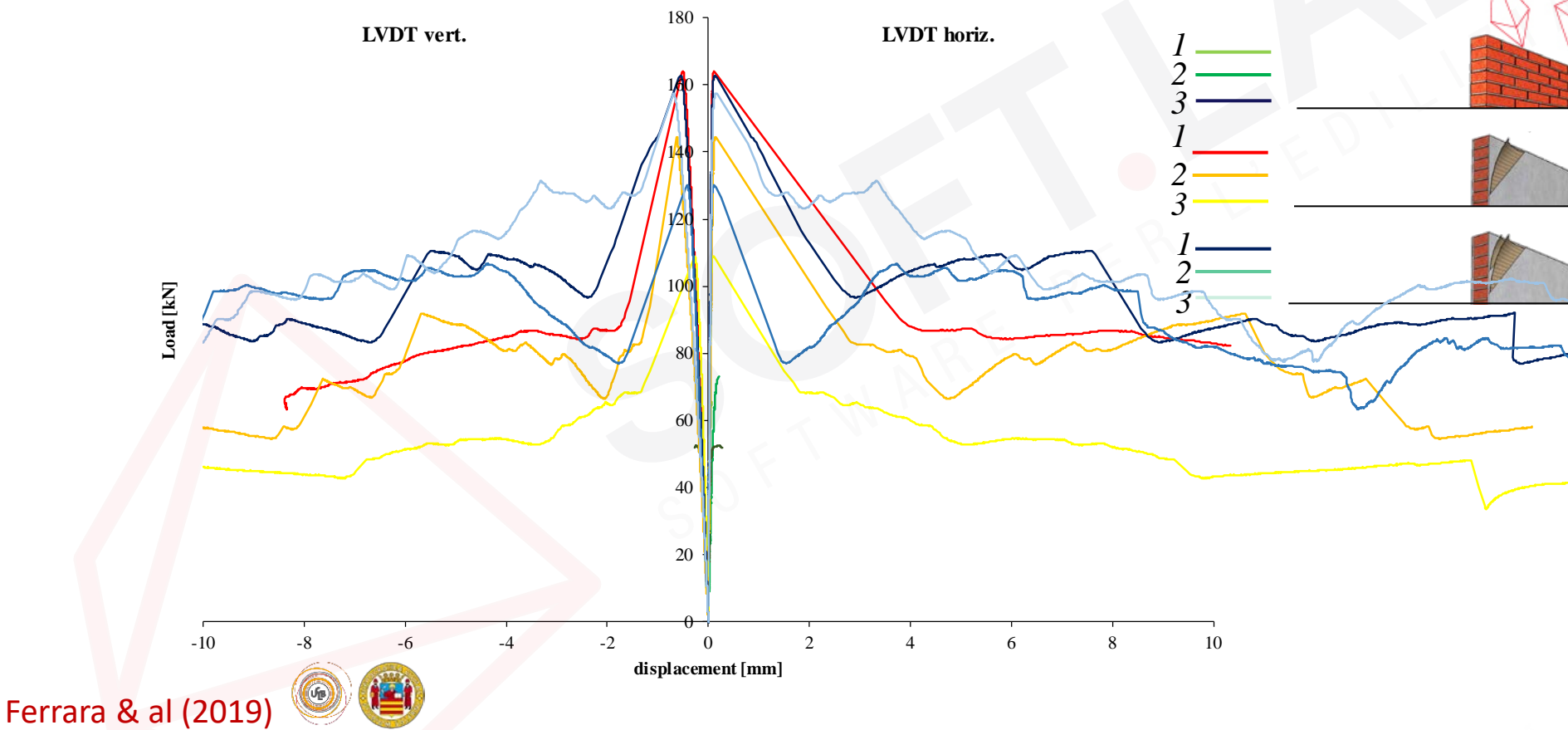




































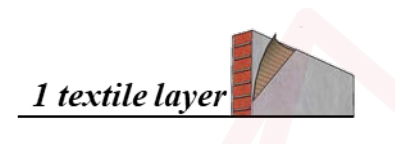


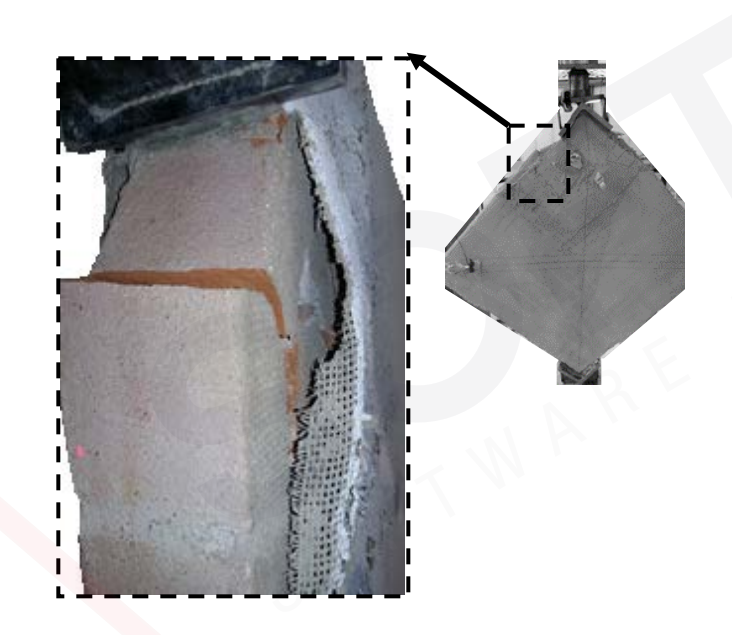


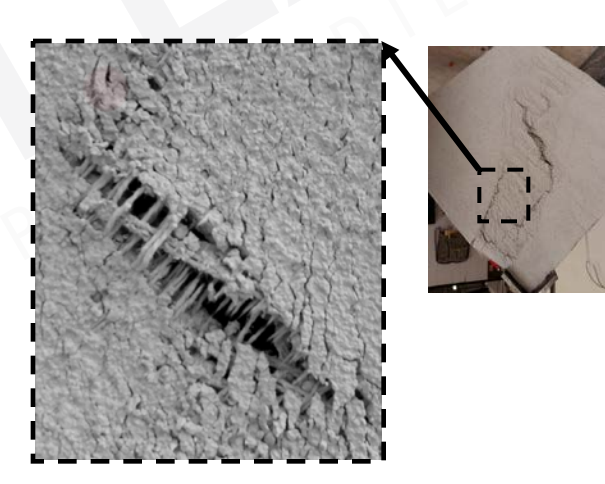








































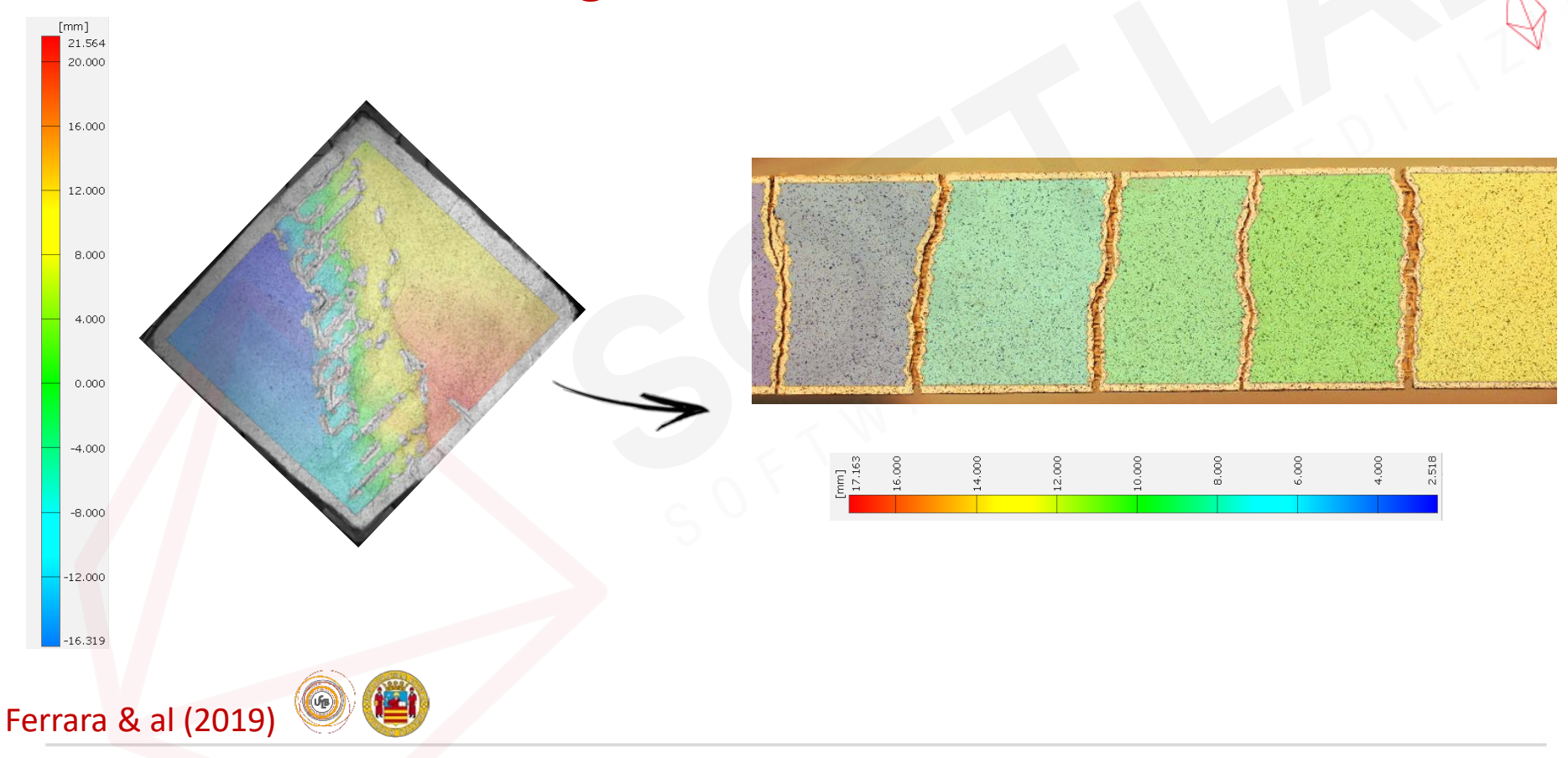


























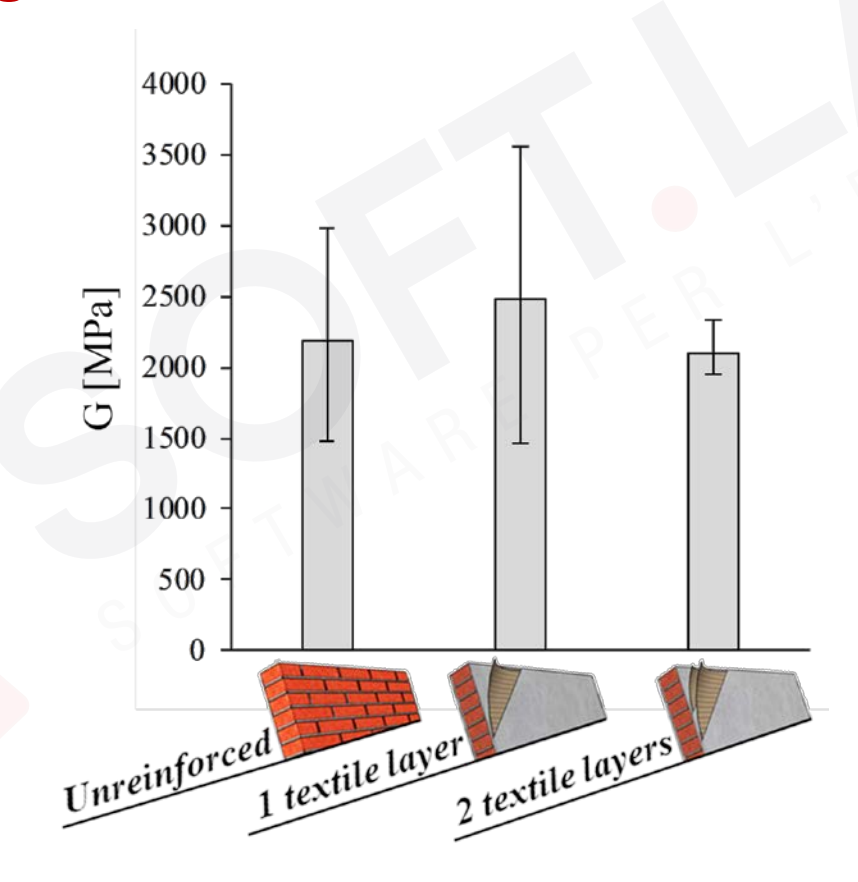
Rinforzo a taglio con FRCM: tessuto in lino

**ASTM E 519-02** 

$$S_{\rm s} = \frac{0.707P}{A_{\rm n}}$$

$$\gamma = \frac{\Delta V + \Delta H}{g}$$

$$G = \frac{S_s}{\gamma}$$



Ferrara & al (2019)









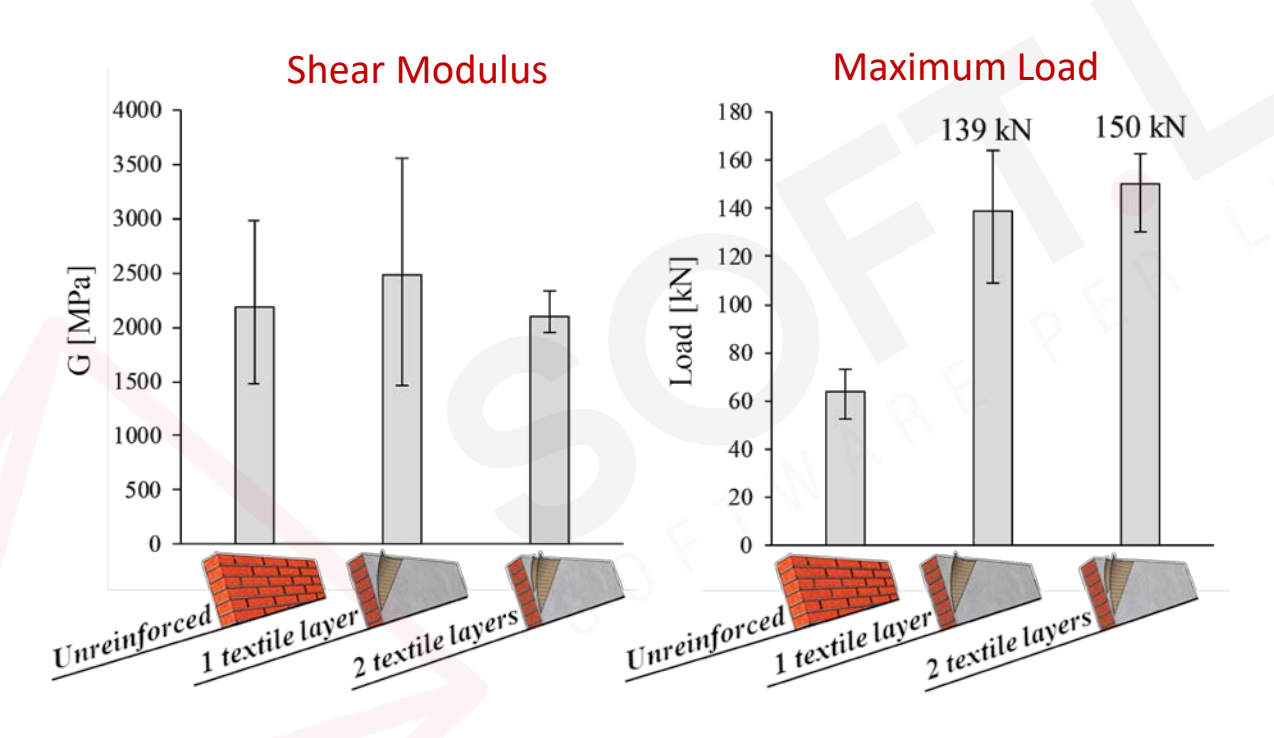






#### Tecniche di intervento

Rinforzo a taglio con FRCM: tessuto in lino















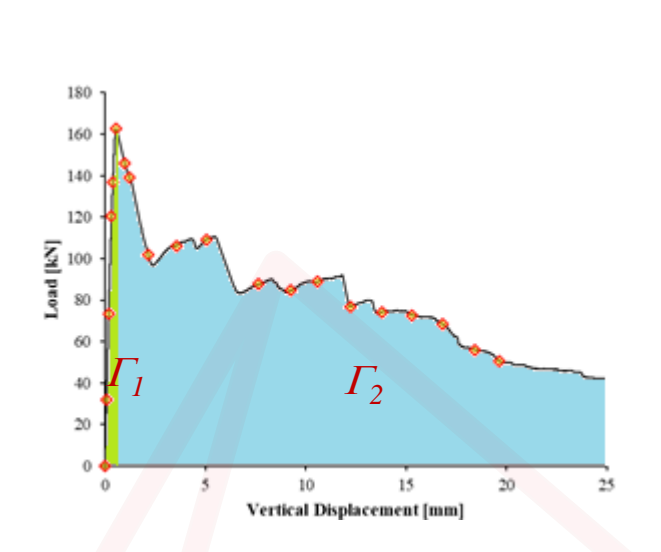


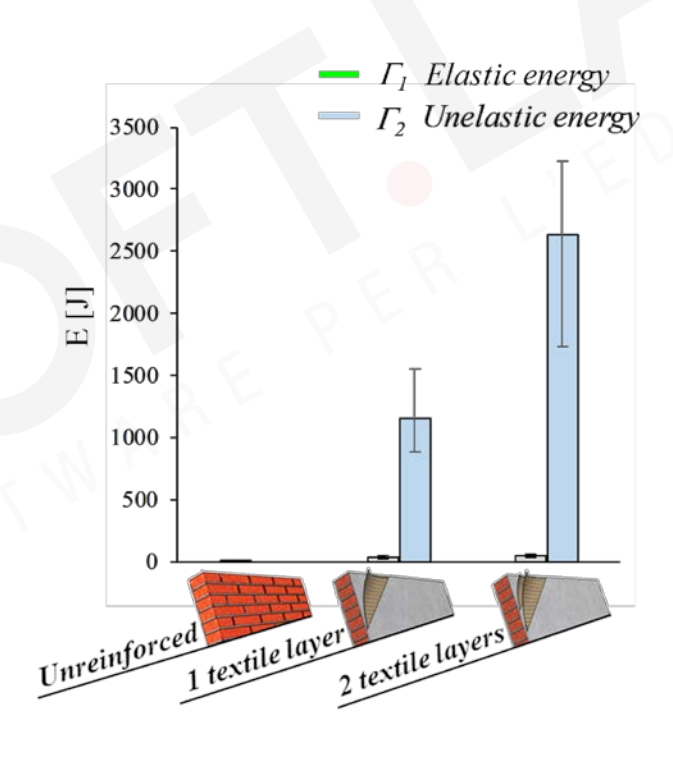




#### Tecniche di intervento

Rinforzo a taglio con FRCM: tessuto in lino





Ferrara & al (2019)













#### Tecniche di intervento

Rinforzo di elementi in muratura con FRCM

#### **Istruzioni**

per la Progettazione, l'Esecuzione ed il Controllo di Interventi di Consolidamento Statico mediante l'utilizzo di Compositi Fibrorinforzati a Matrice Inorganica



CNR DT 215 (2018)





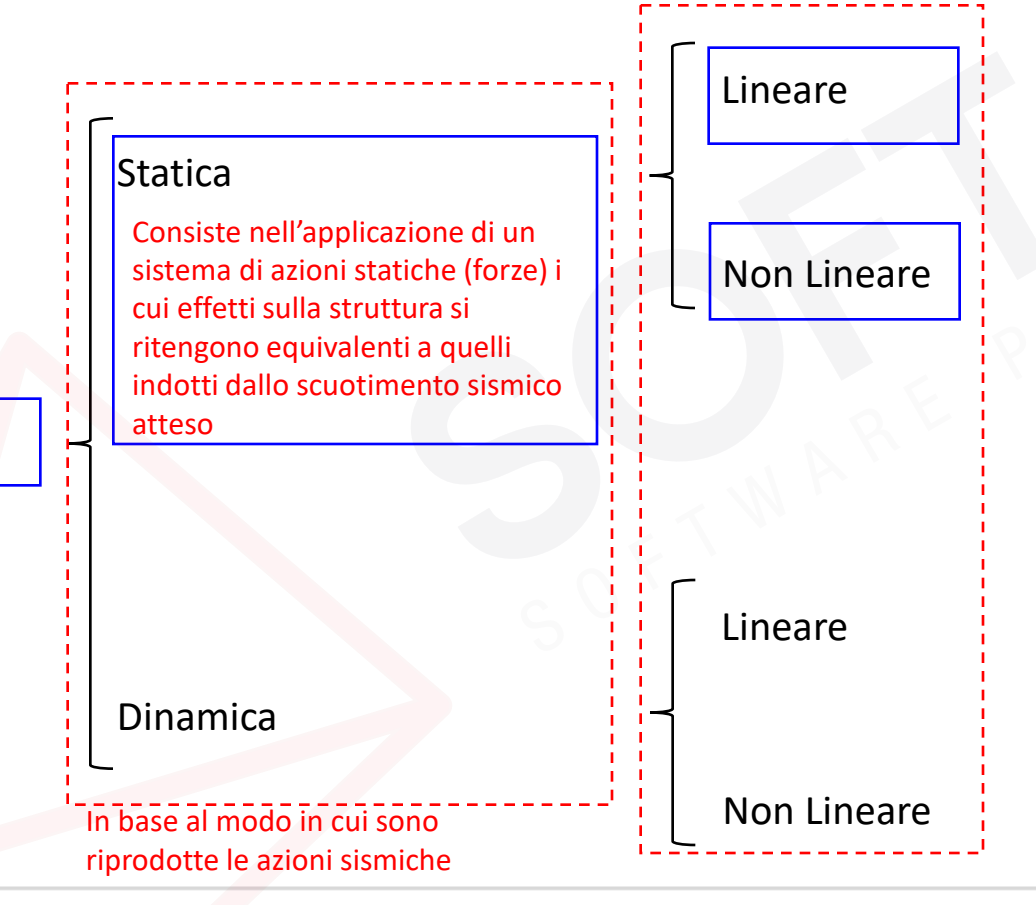








Metodologie di analisi strutturale







Analisi Sismica

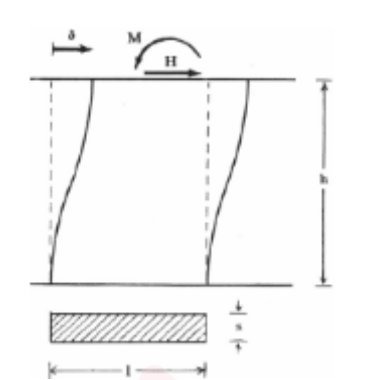




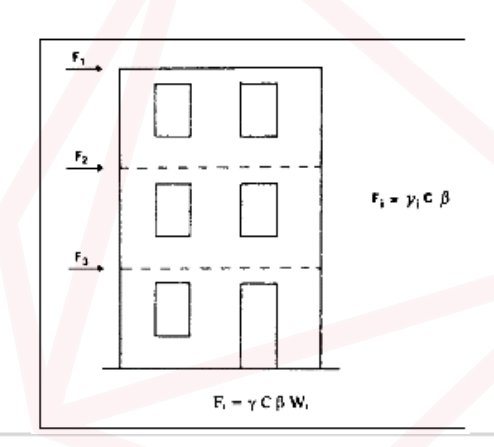


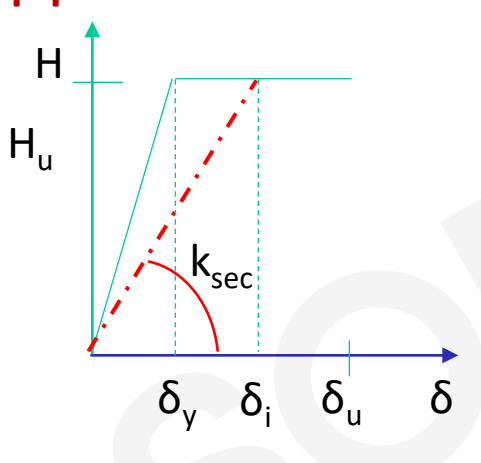


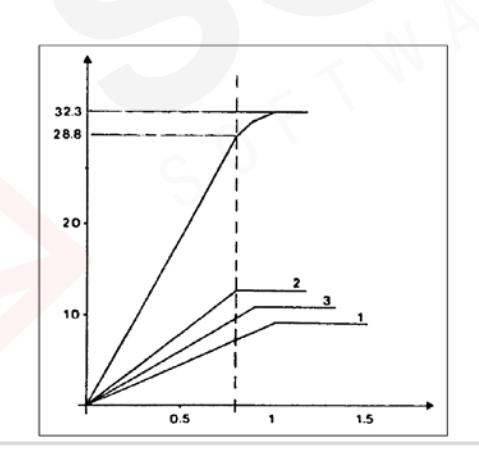
#### Approcci a macro-elementi

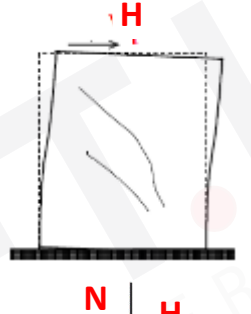


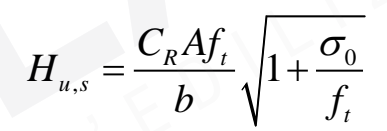
$$\frac{1}{K_0} = \frac{1}{K_M} + \frac{1}{K_T} = \frac{h^3}{12EI} + \frac{\chi h}{GA}$$

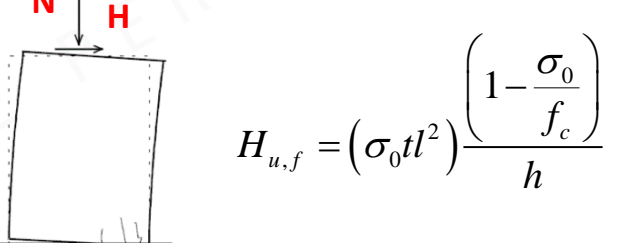


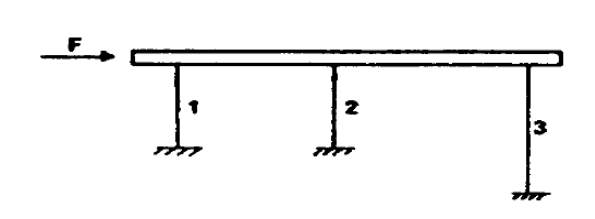
















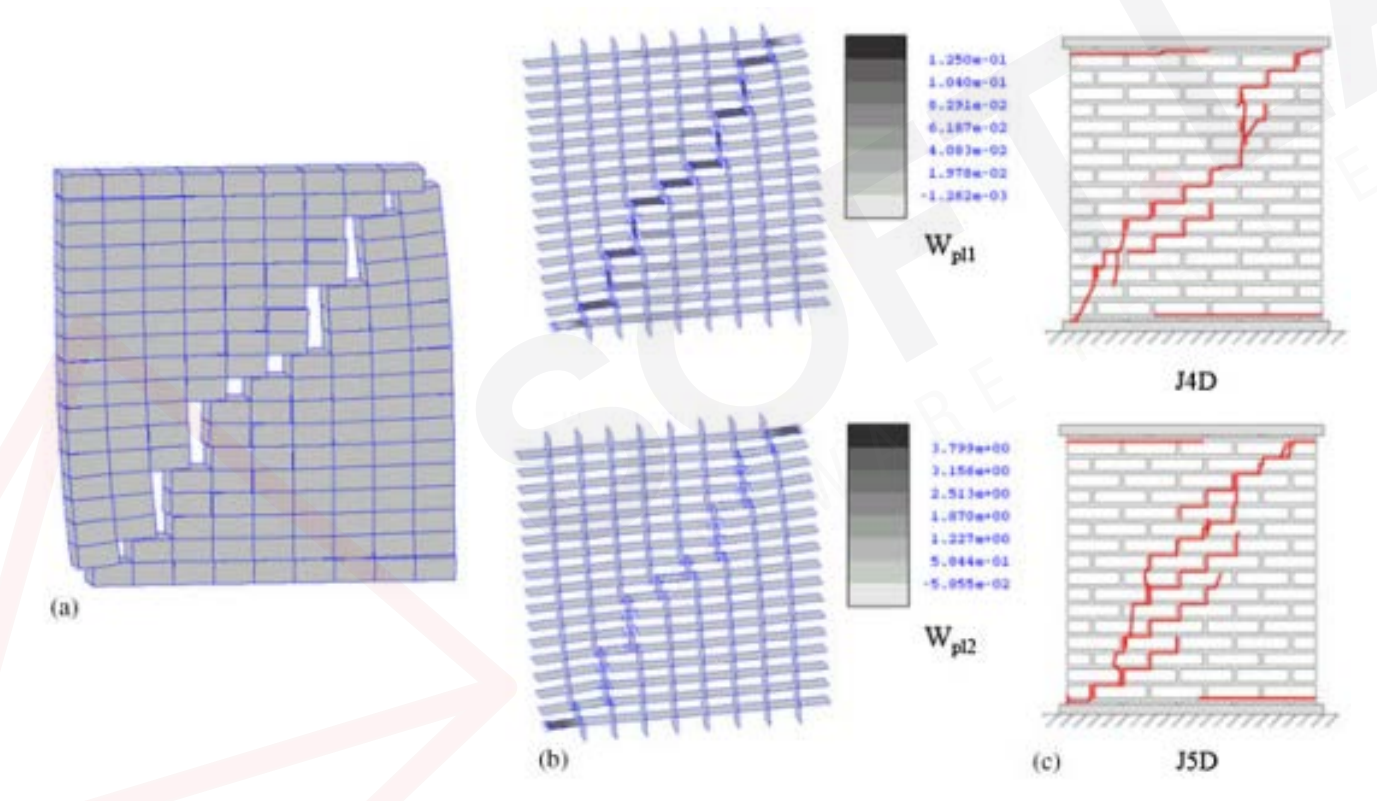








Approcci micro-meccanici









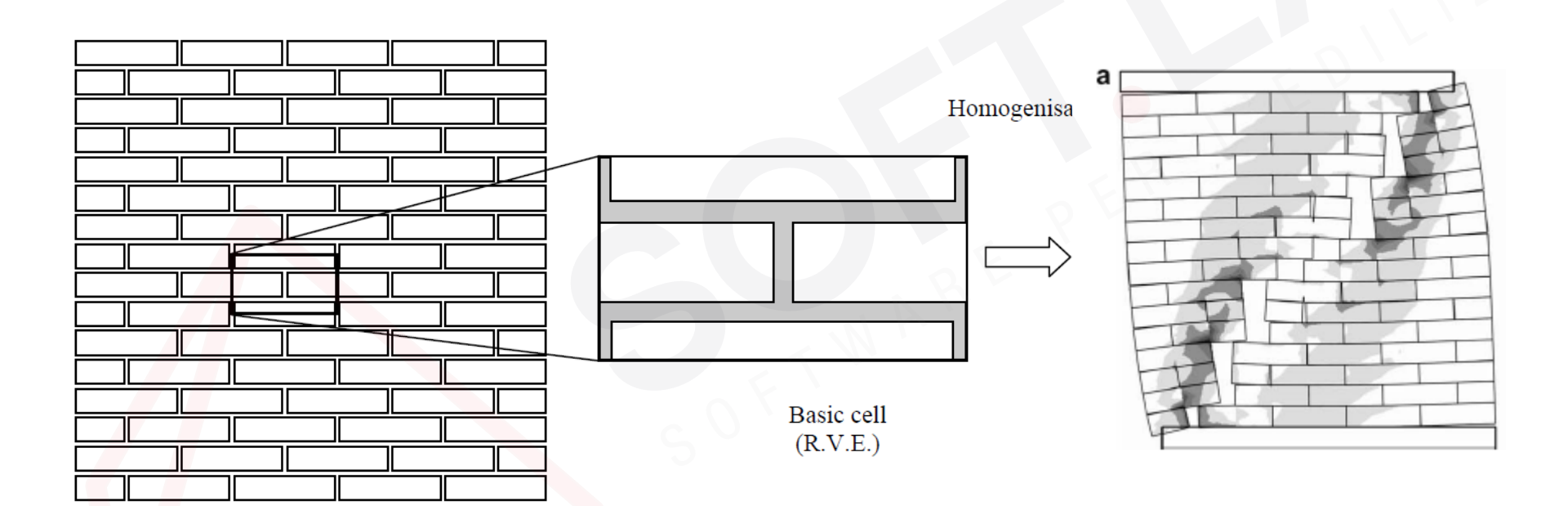








Approcci micro-meccanici



Zucchini & Lourenço (2009)





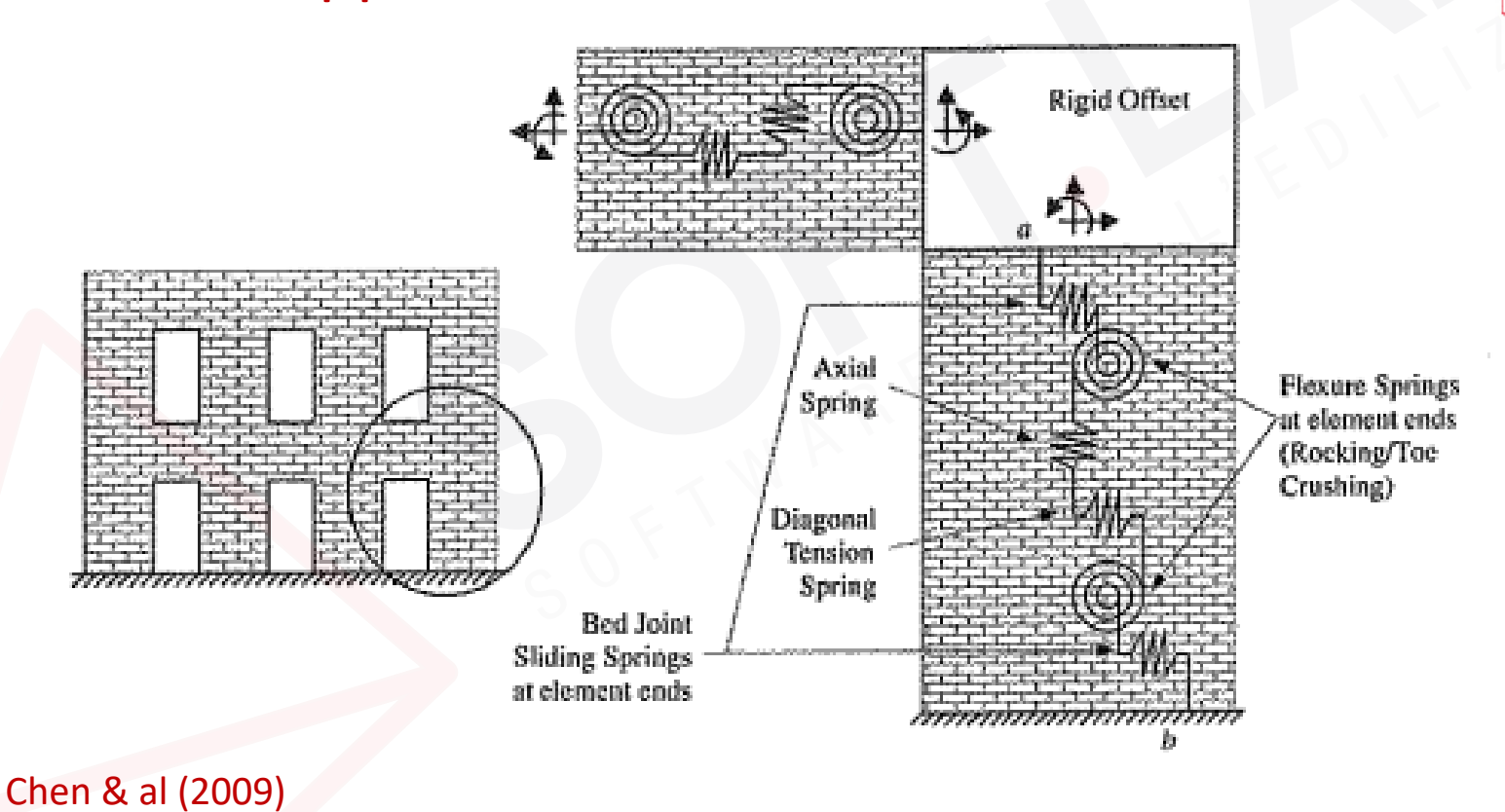








Approcci a macro elementi









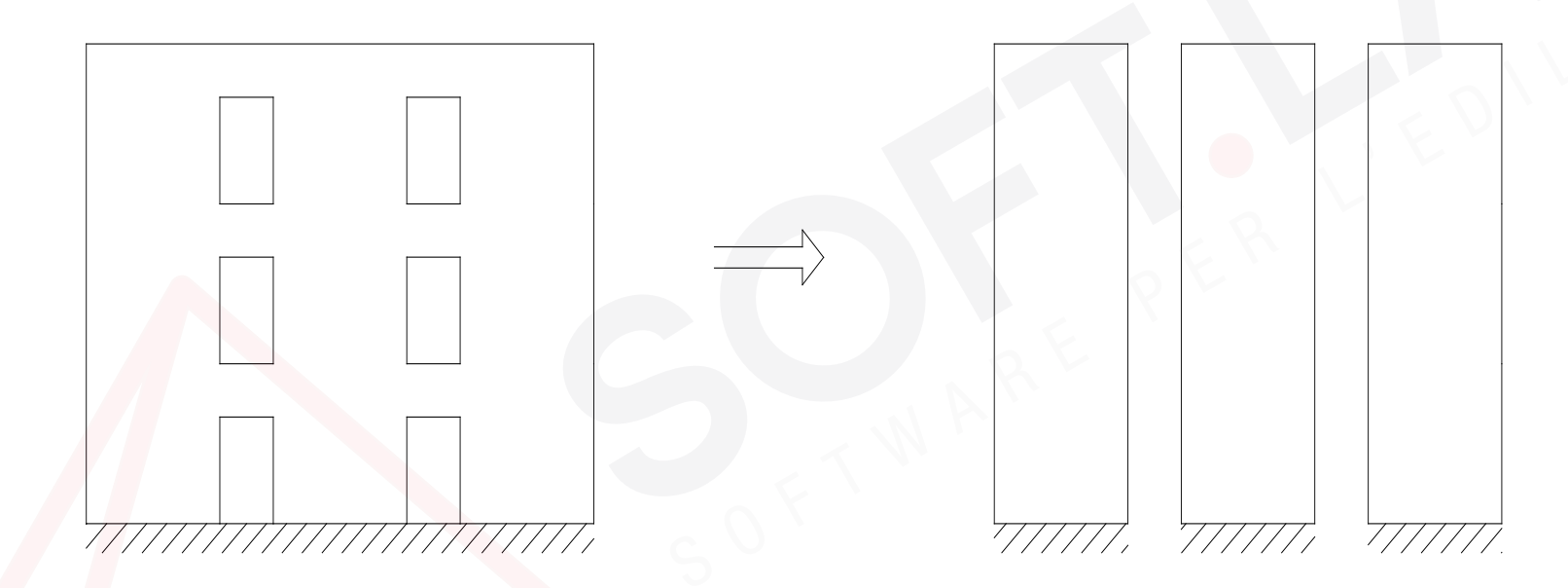








Approcci a macro-elementi



Rigidezza estensionale nulla

Rigidezza flessionale nulla





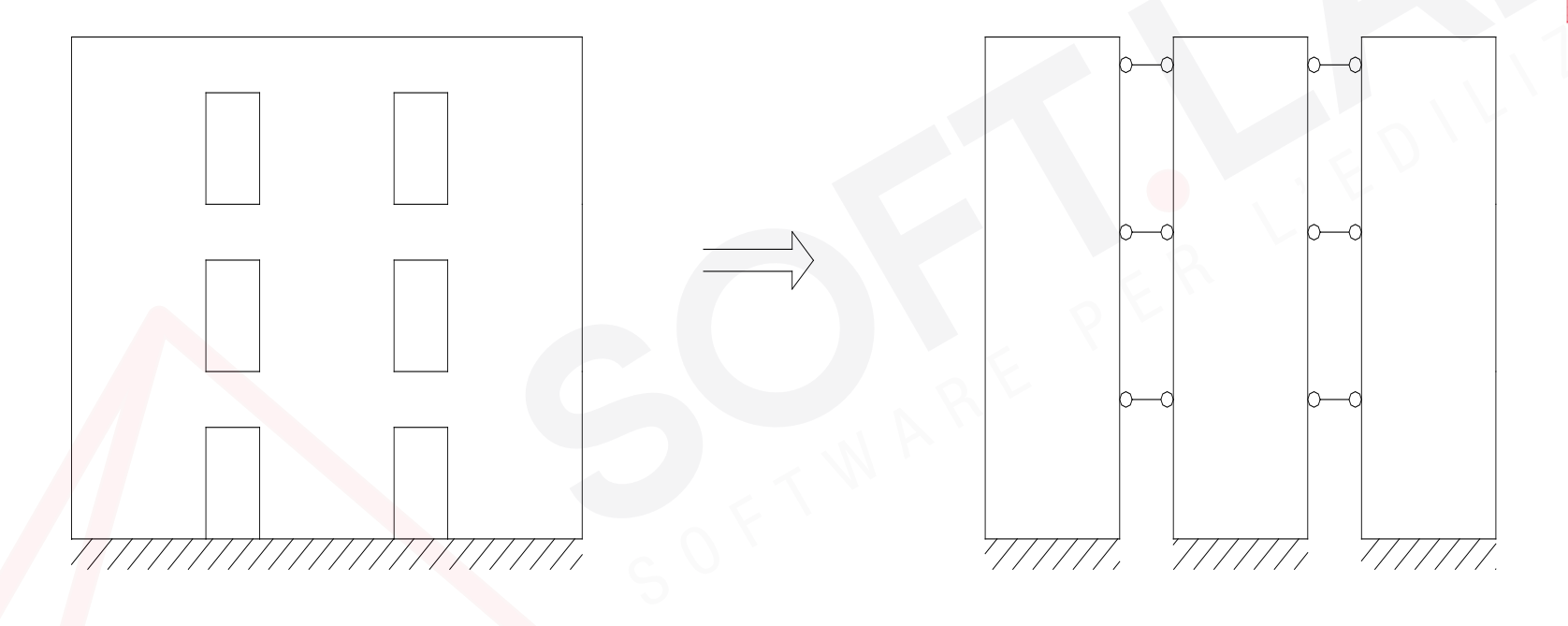








Approcci a macro-elementi



Rigidezza estensionale

Rigidezza flessionale nulla







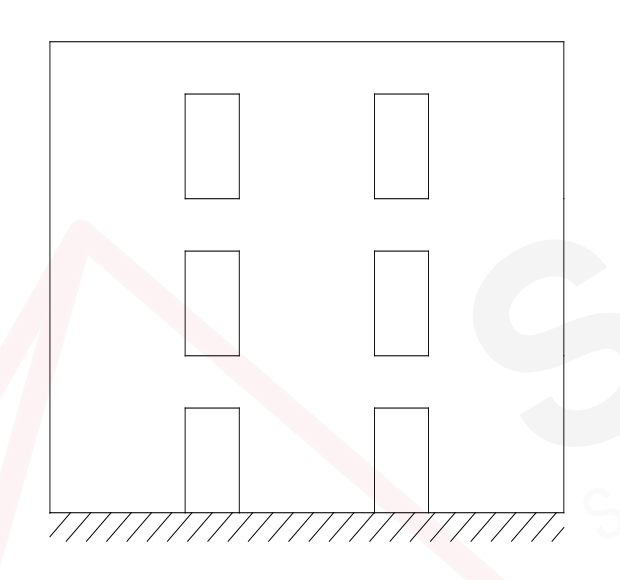


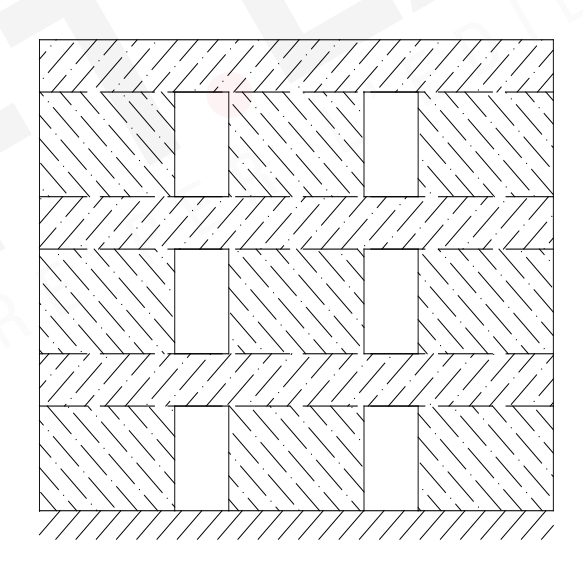






Approcci a macro-elementi





Rigidezza estensionale

Rigidezza flessionale





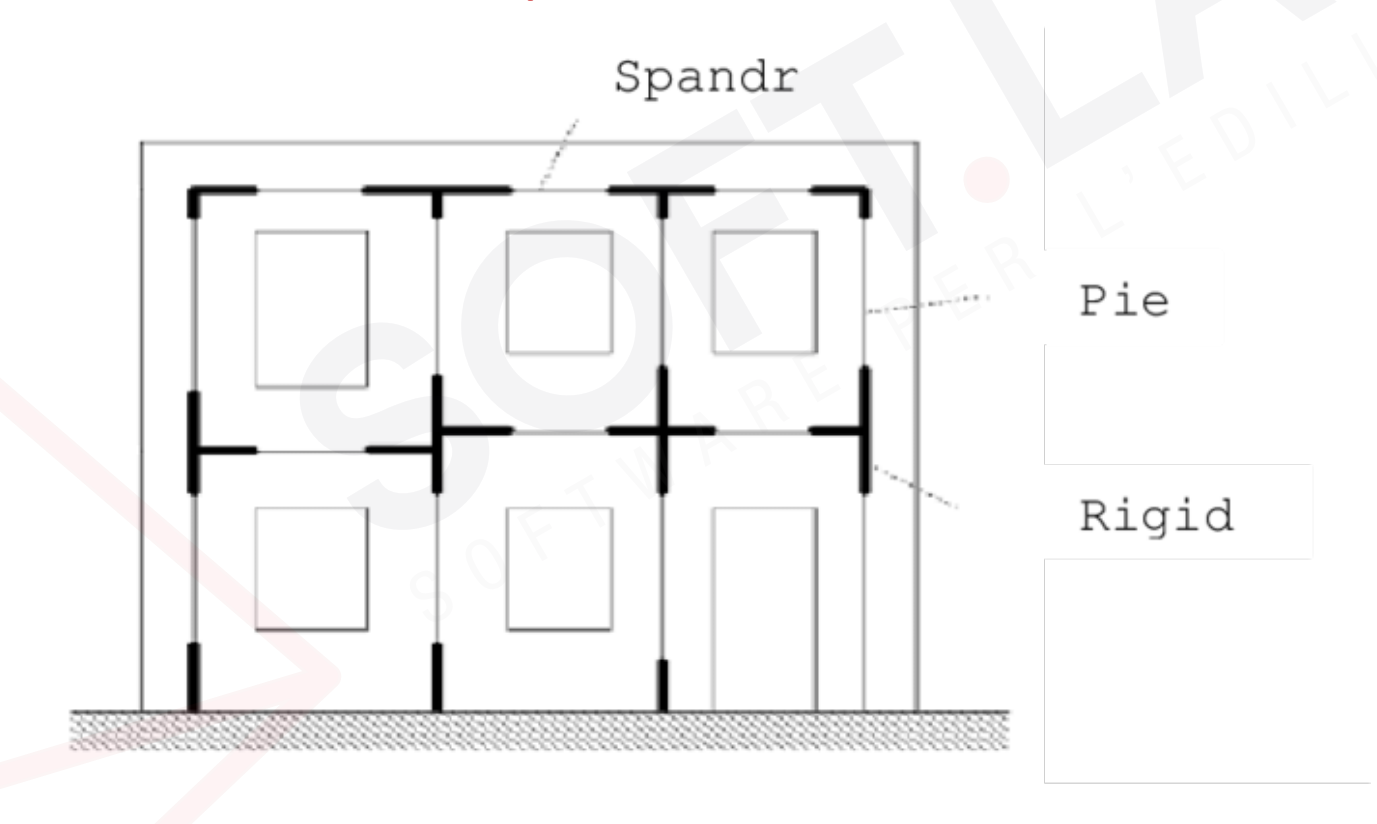








Modello a telaio equivalente: assunzioni





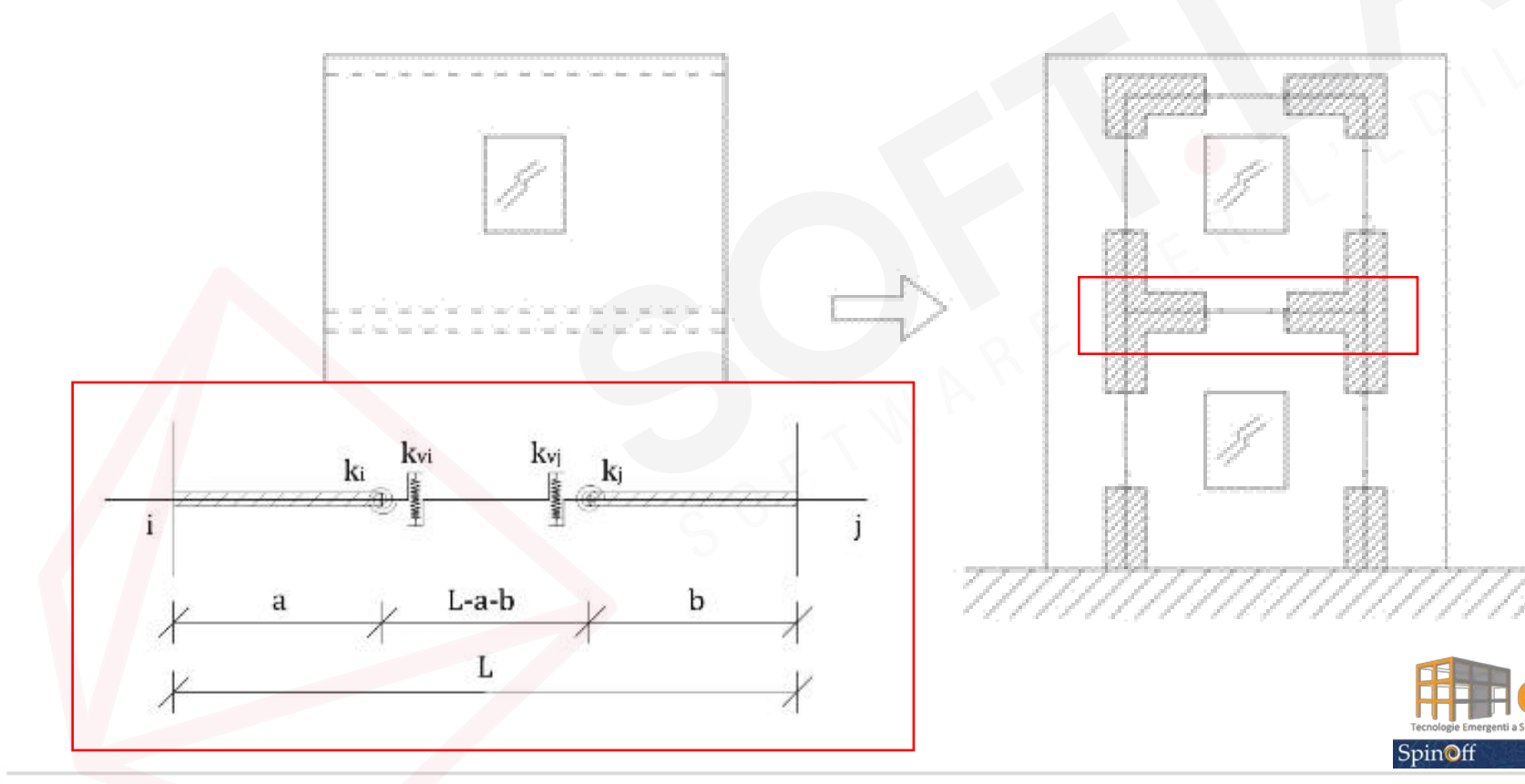


















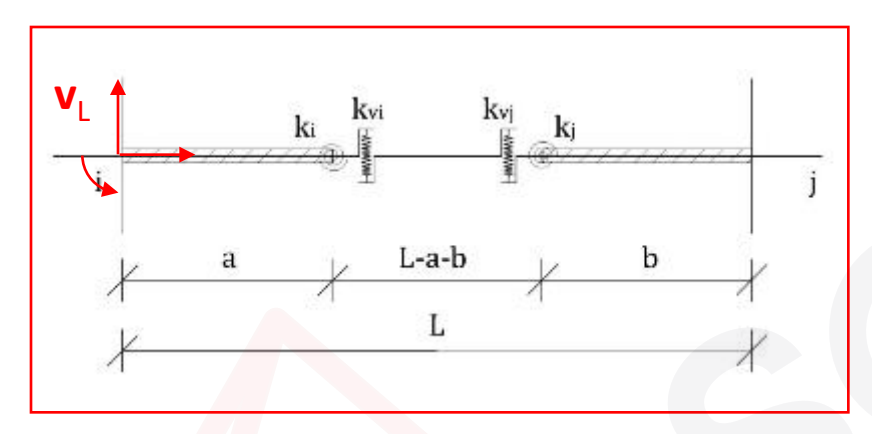








#### Modello a telaio equivalente: formulazione



Definizione della matrice di trasformazione:

$$\underline{\mathbf{v}}' = \begin{bmatrix} u'_i \\ v'_i \\ \varphi'_i \\ u'_j \\ \mathbf{v}'_j \\ \varphi'_j \end{bmatrix} = \begin{bmatrix} 1 & 0 & 0 & 0 & 0 & 0 \\ 0 & 1 & r_i \cdot L & 0 & 0 & 0 \\ 0 & 0 & 1 & 0 & 0 & 0 \\ 0 & 0 & 0 & 1 & 0 & 0 \\ 0 & 0 & 0 & 0 & 1 & -r_j \cdot L \\ 0 & 0 & 0 & 0 & 0 & 1 \end{bmatrix} \begin{bmatrix} u_i \\ v_i \\ \varphi_i \\ u_j \\ v_j \\ \varphi_j \end{bmatrix}$$

Fattori di deformabilità:

$$\alpha_{ij} = \frac{L \cdot \left(1 - r_i - r_j\right)}{3 \cdot EI} + \frac{1}{k_i} + \frac{2}{\left[L \cdot \left(1 - r_i - r_j\right)\right]^2} \cdot \frac{1}{k_v} + \frac{\chi}{GA \cdot L}$$

$$\alpha_{ji} = \frac{L \cdot \left(1 - r_i - r_j\right)}{3 \cdot EI} + \frac{1}{k_j} + \frac{2}{\left[L \cdot \left(1 - r_i - r_j\right)\right]^2} \cdot \frac{1}{k_v} + \frac{\chi}{GA \cdot L}$$

$$\beta_{ji} = \frac{L \cdot \left(1 - r_i - r_j\right)}{6 \cdot EI} + \frac{2}{\left[L \cdot \left(1 - r_i - r_j\right)\right]^2} \cdot \frac{1}{k_v} - \frac{\chi}{GA \cdot L}$$

Relazione della parte deformabile:  $\underline{f}' = \underline{\underline{K}}' \cdot \underline{v}' + \underline{f}'_0$ 

Forma simbolica:  $\underline{v}' = \underline{\underline{T}} \cdot \underline{v}$ 

Relazione di tutto il frame:  $\underline{f} = \underline{\underline{K}} \cdot \underline{v} + \underline{f}_0 + \underline{f}''_0$ 









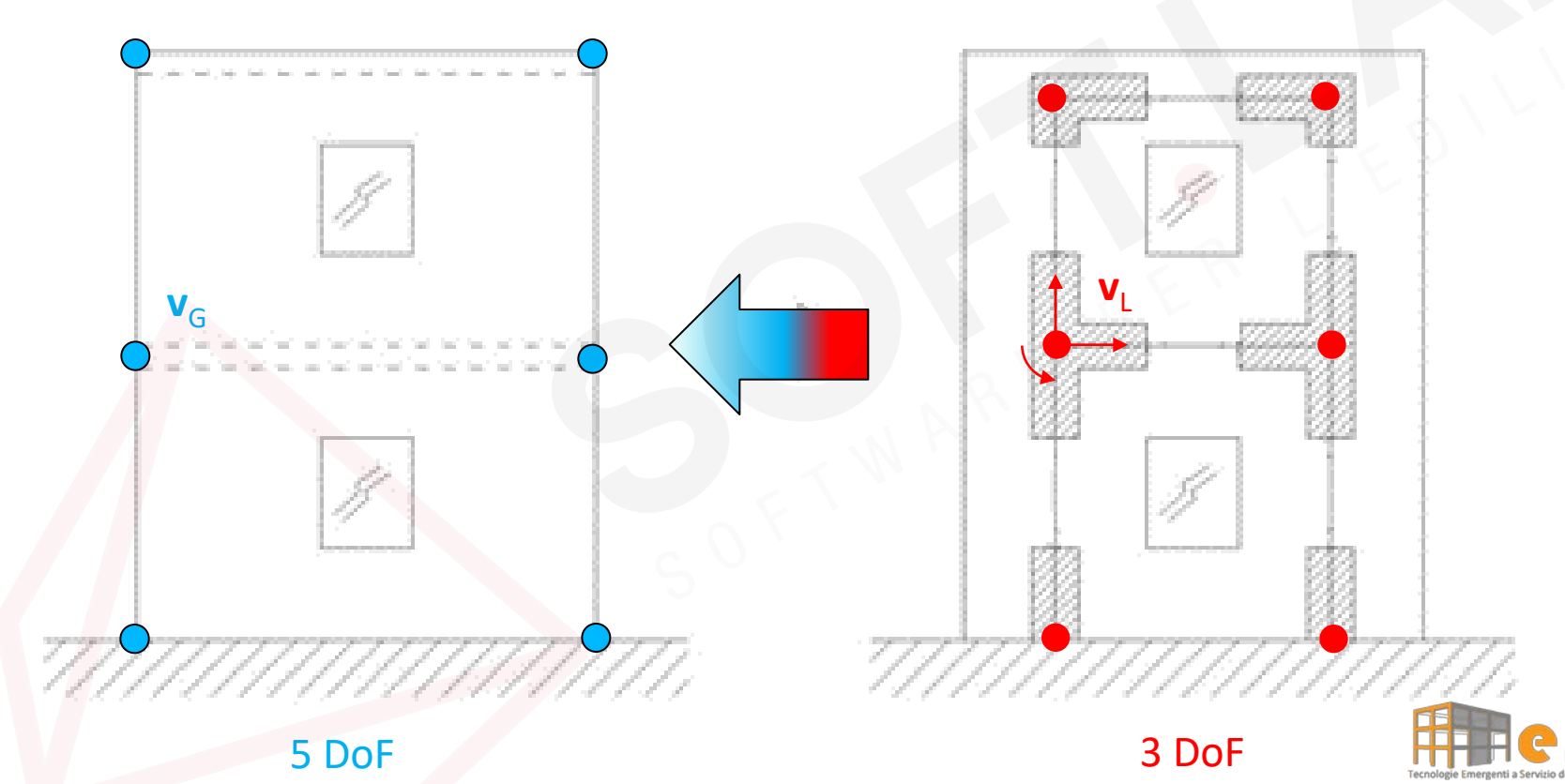








Modello a telaio equivalente: formulazione









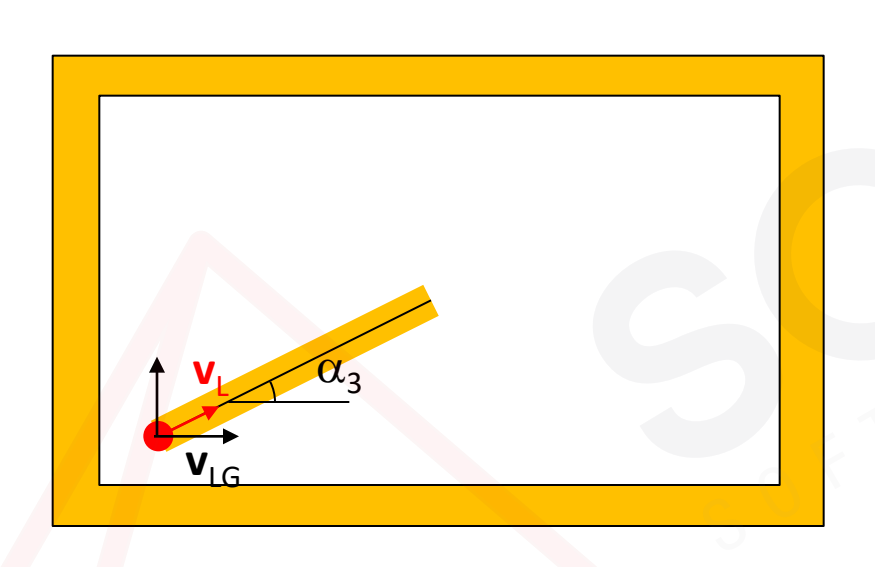






Spin@ff





$$\mathbf{v}_{\mathsf{L}} = \mathbf{LG}_{1} \mathbf{v}_{\mathsf{LG}}$$





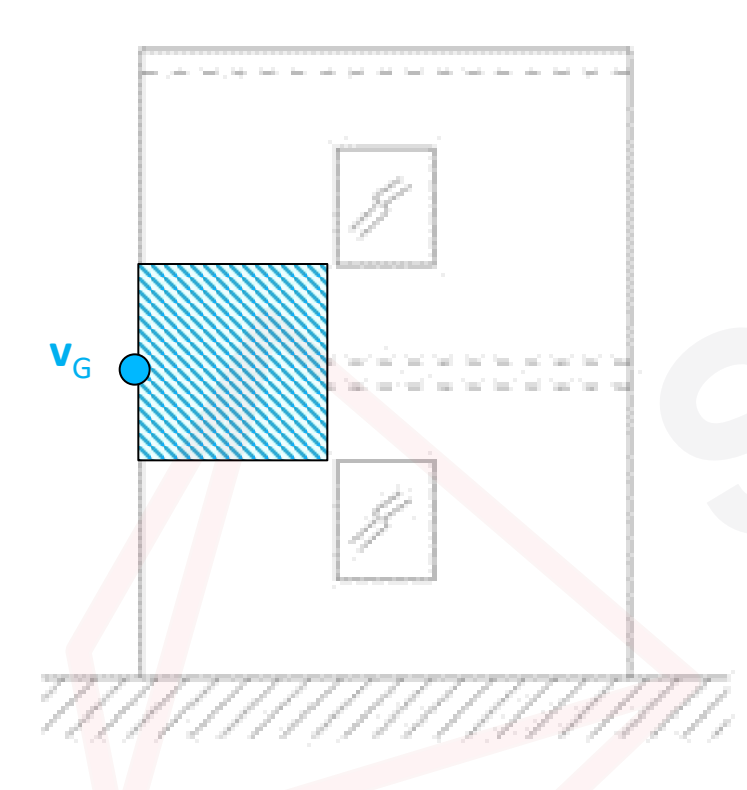


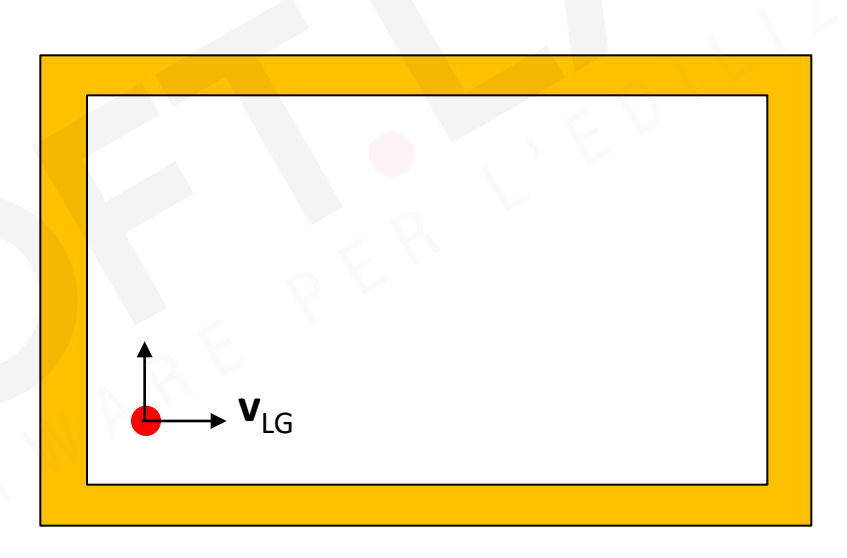












$$\mathbf{v}_{LG} = \mathbf{LG}_2 \mathbf{v}_{G}$$







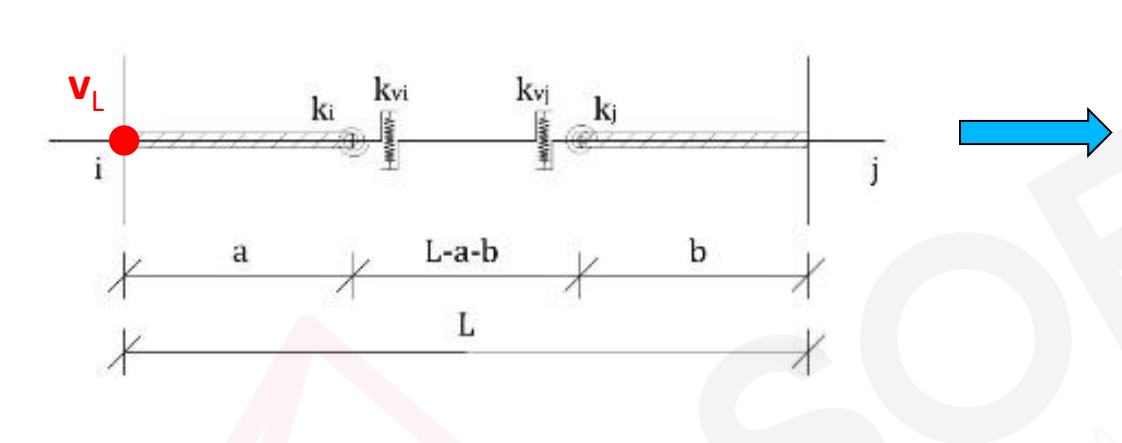




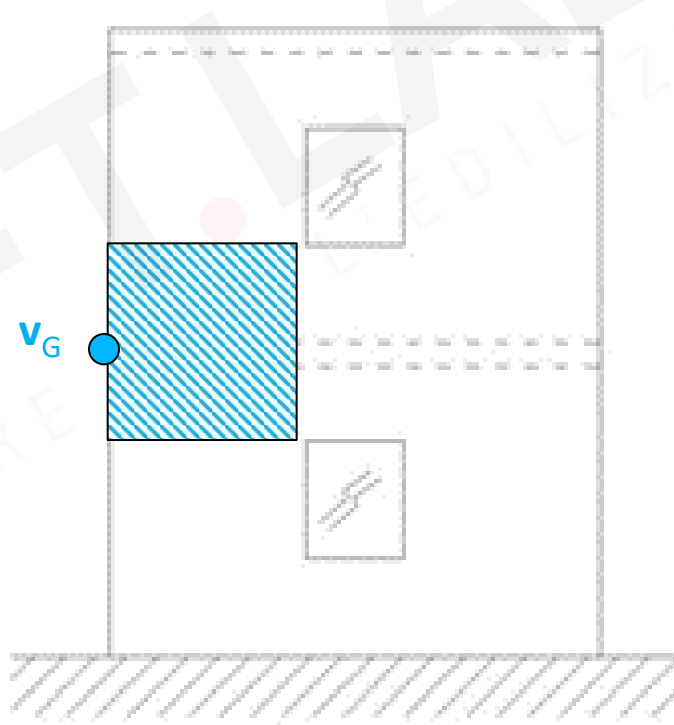








$$\underline{F} = \underline{\underline{K}} \cdot \underline{s} + \underline{F}_0$$





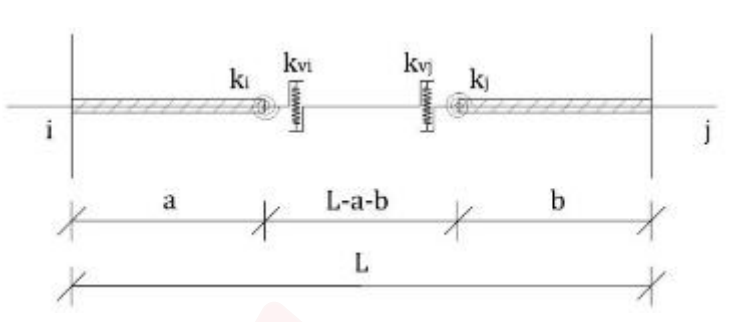


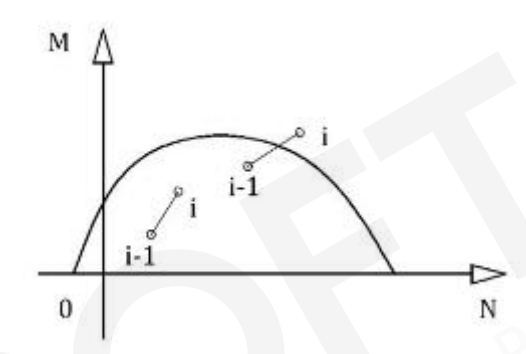


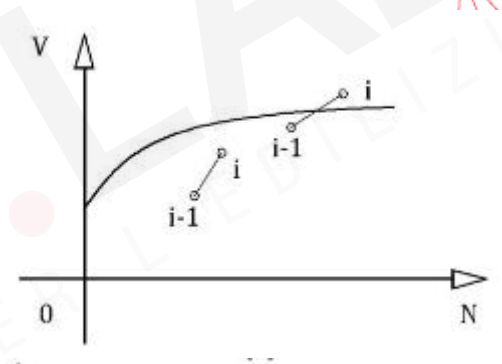


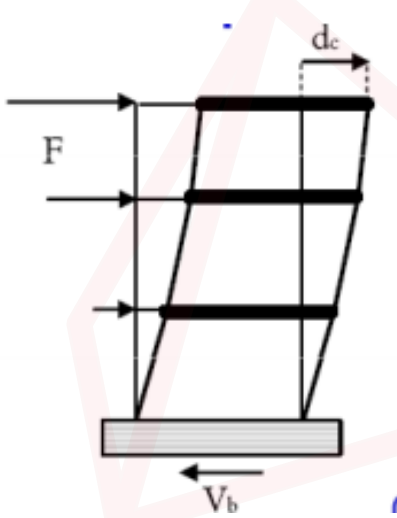


Modello a telaio equivalente: formulazione



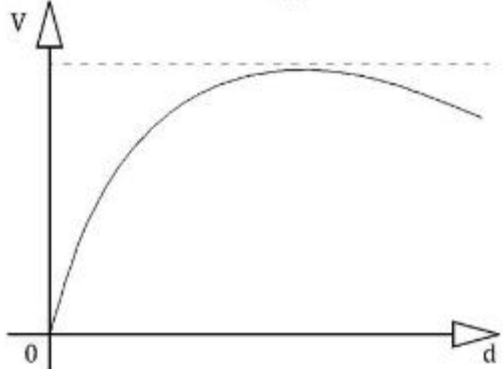






Analisi statica non lineare (incrementale-iterativa)

- Predizione elastica;
- Correzione plastica.











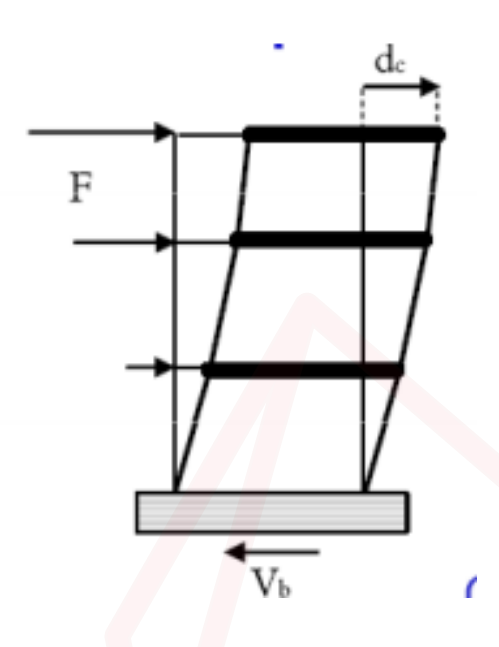






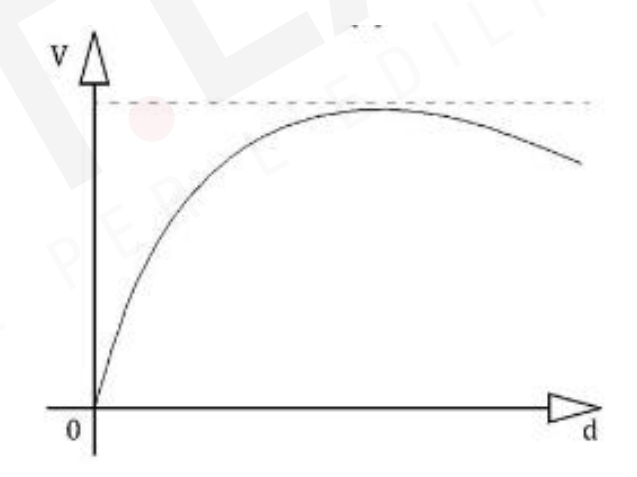


Modello a telaio equivalente: formulazione



Analisi statica non lineare (incrementale-iterativa)

- Predizione elastica;
- Correzione plastica.









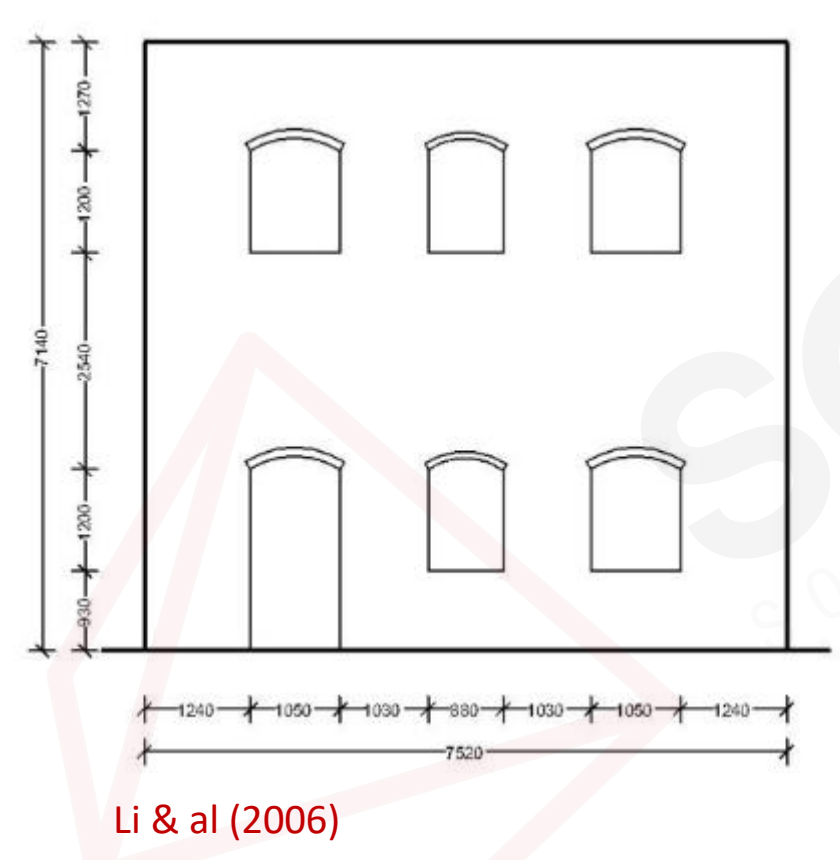


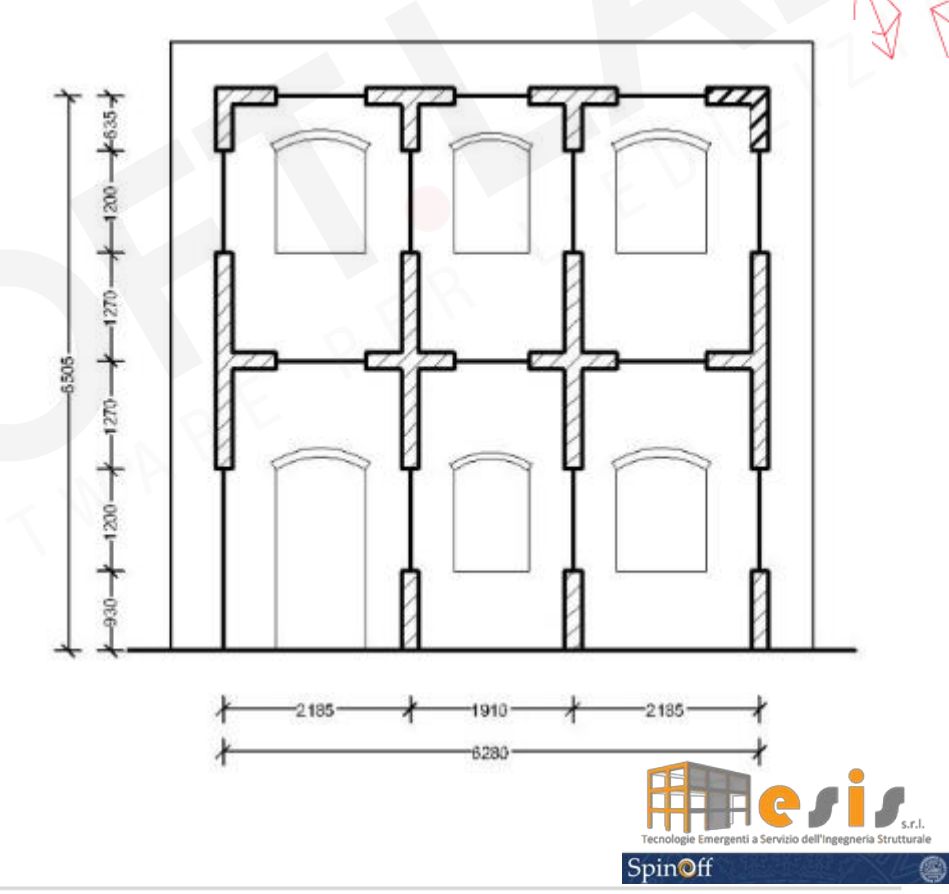






Modello a telaio equivalente: validazione











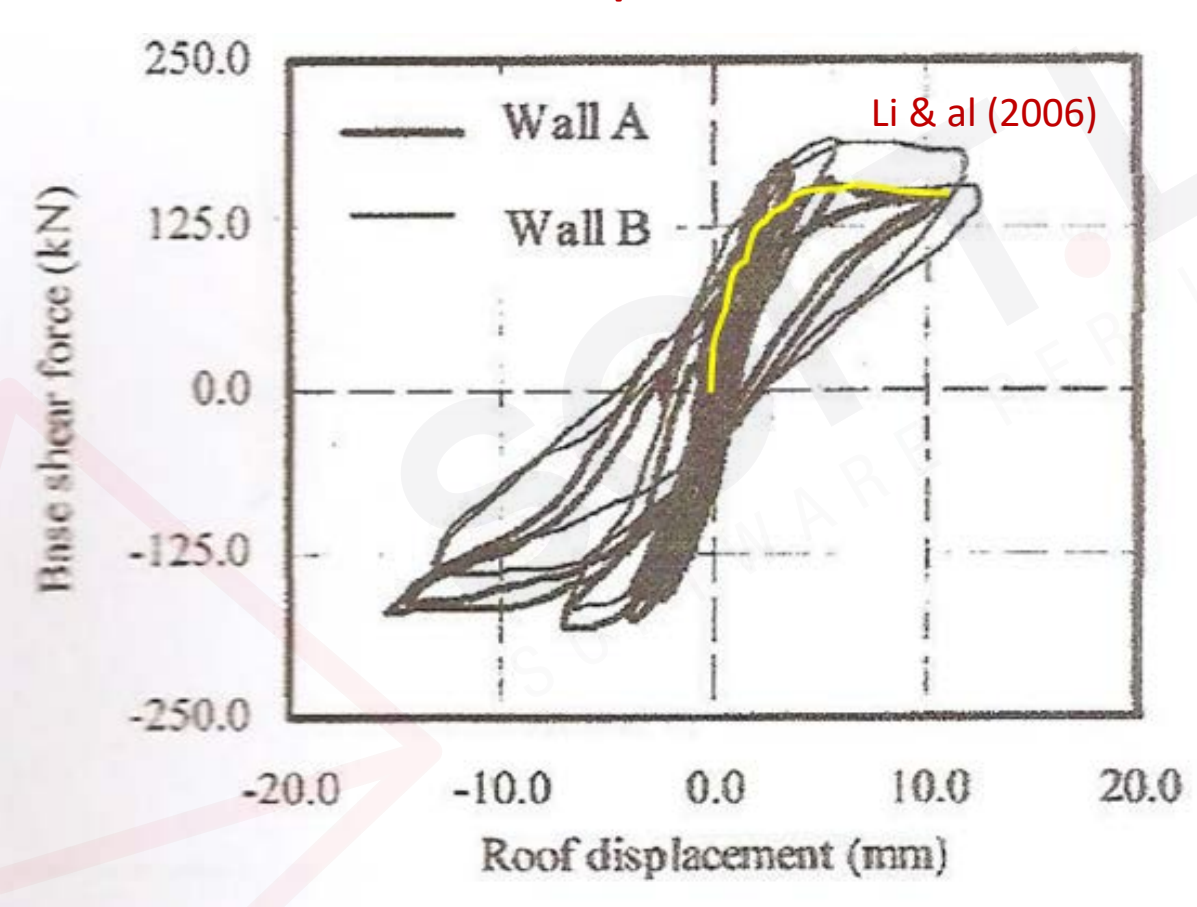








Modello a telaio equivalente: validazione



inviluppo dei dati sperimentali.









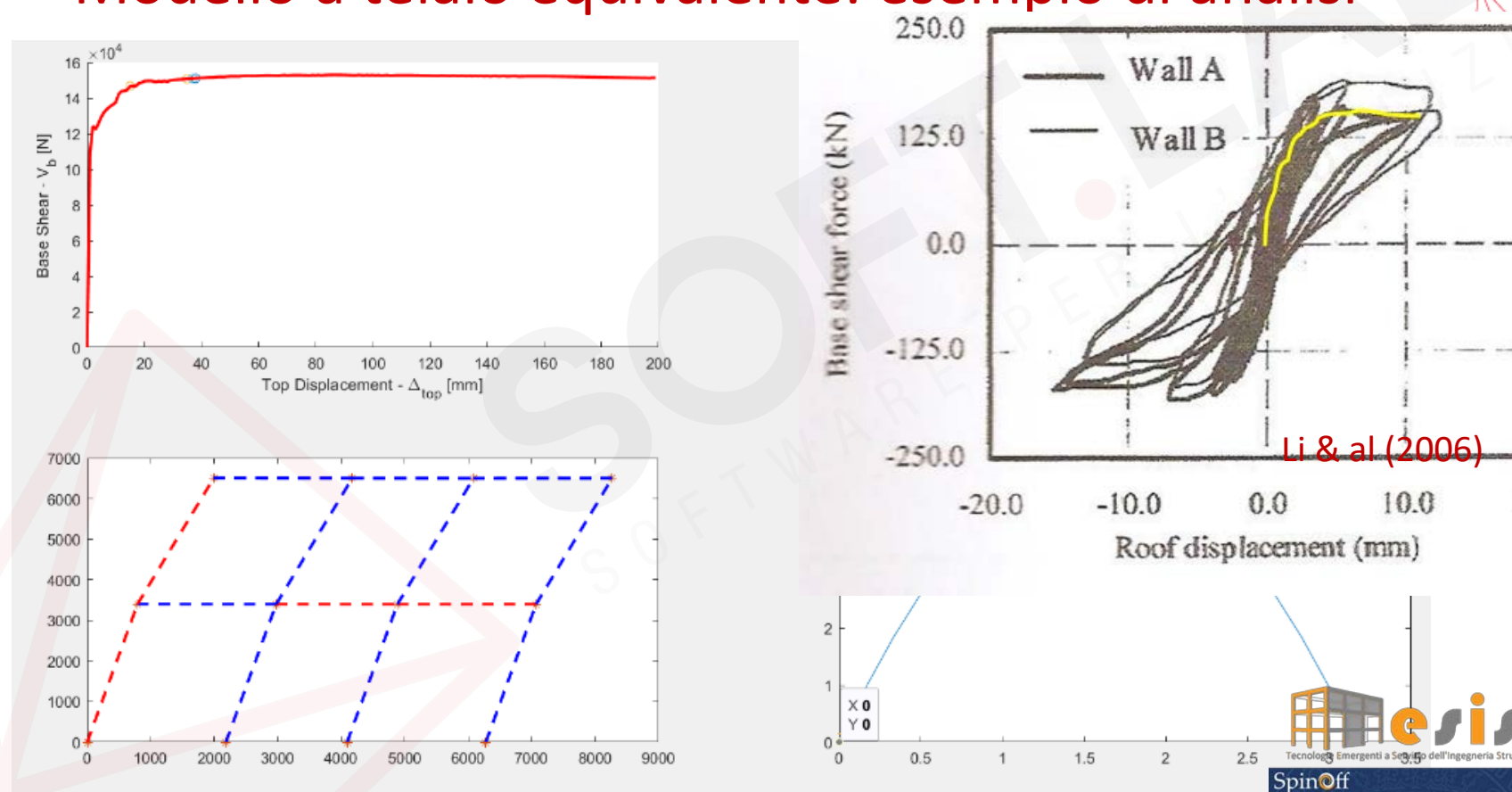








Modello a telaio equivalente: esempio di analisi









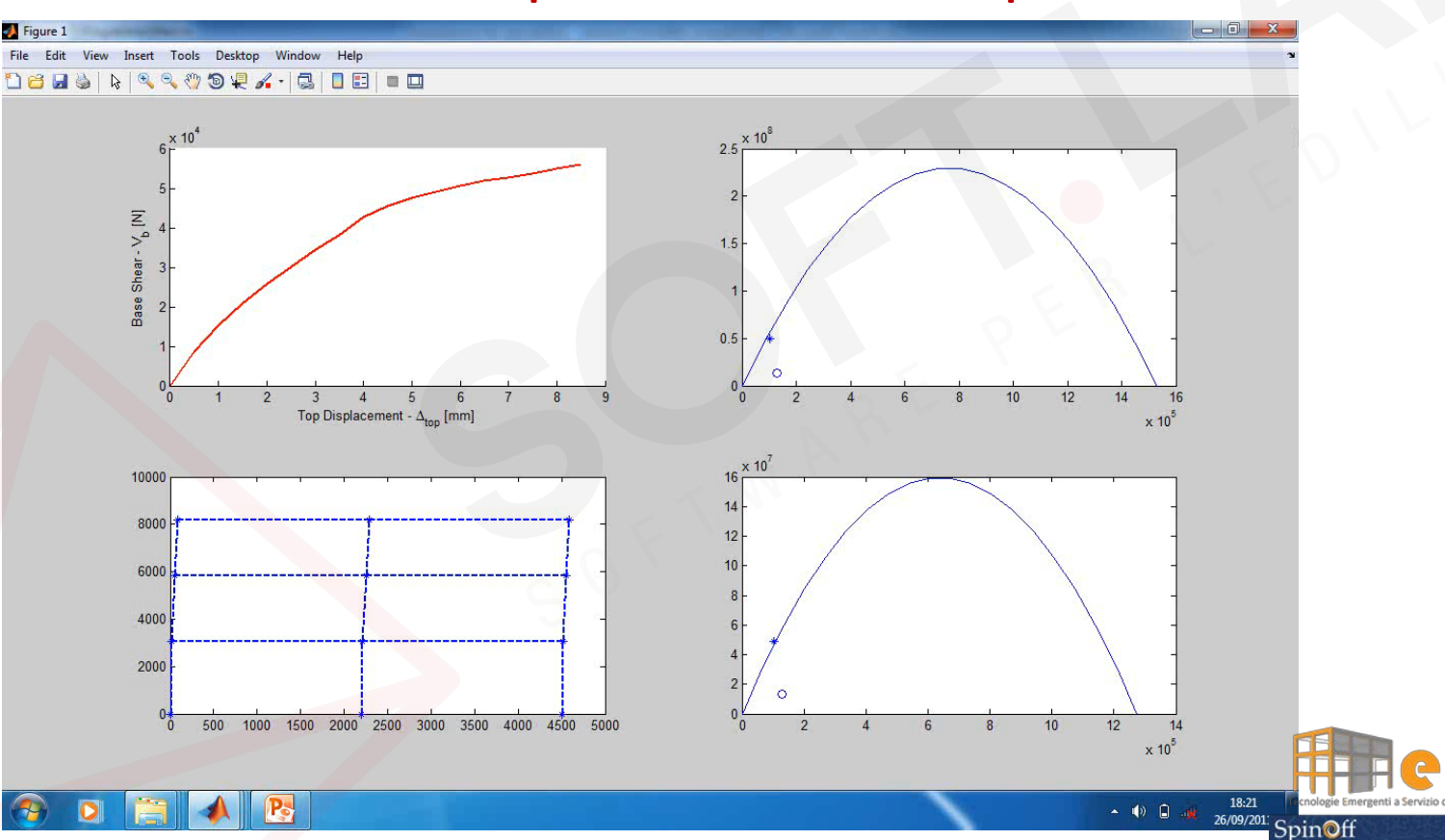




20.0



Modello a telaio equivalente: esempio di analisi









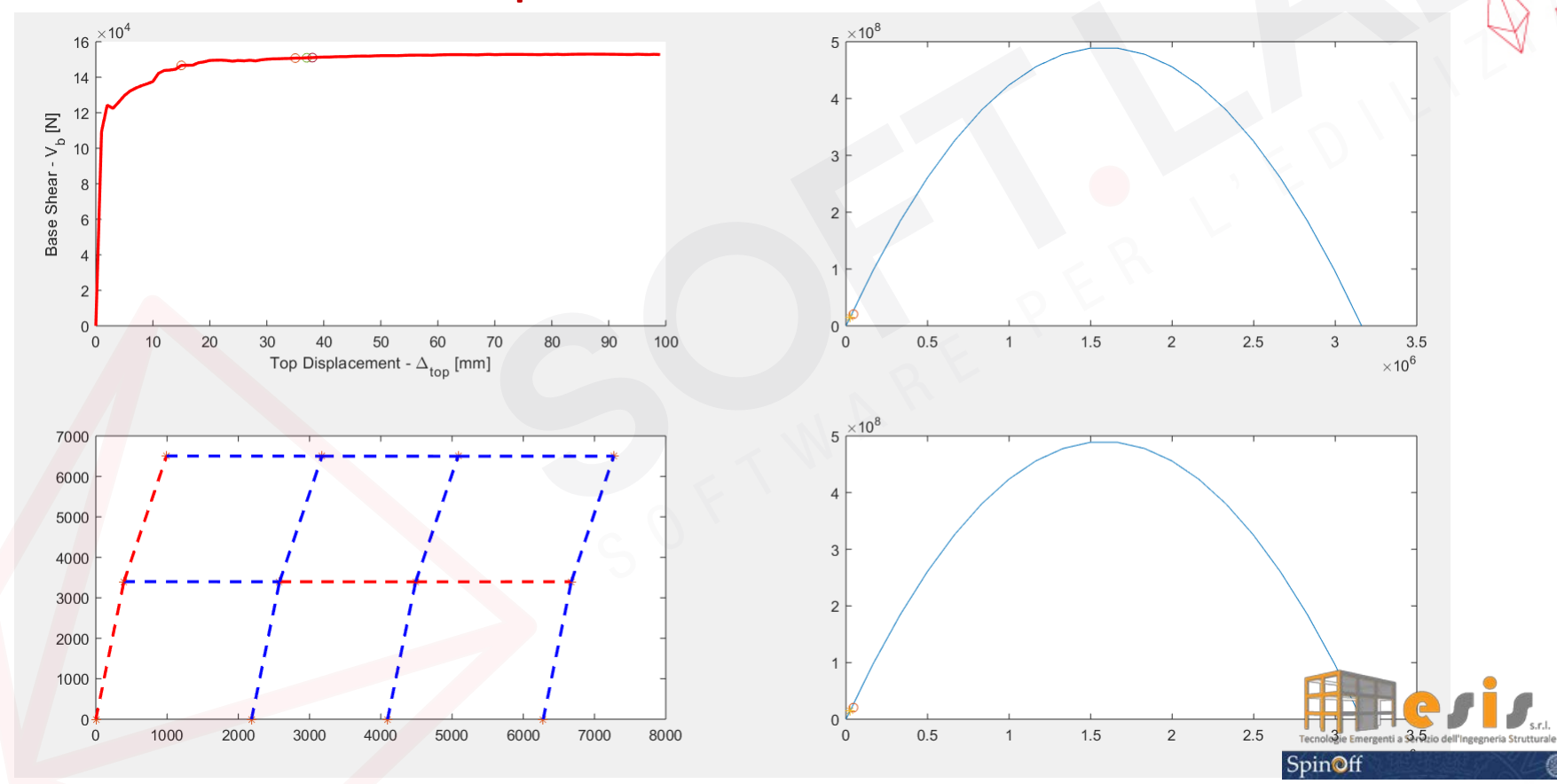








Modello a telaio equivalente: effetto dell'intervento/0









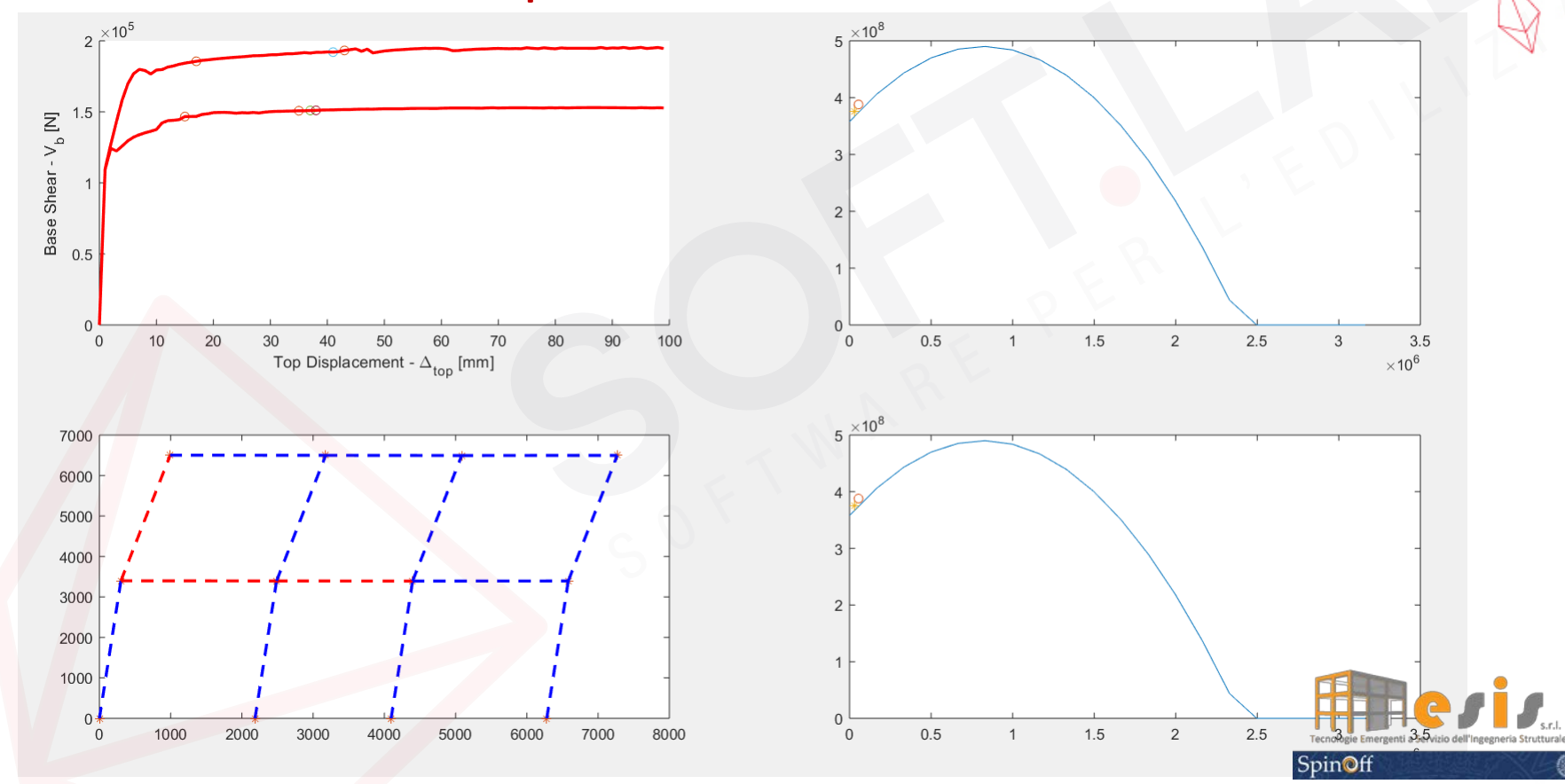








Modello a telaio equivalente: effetto dell'intervento/1







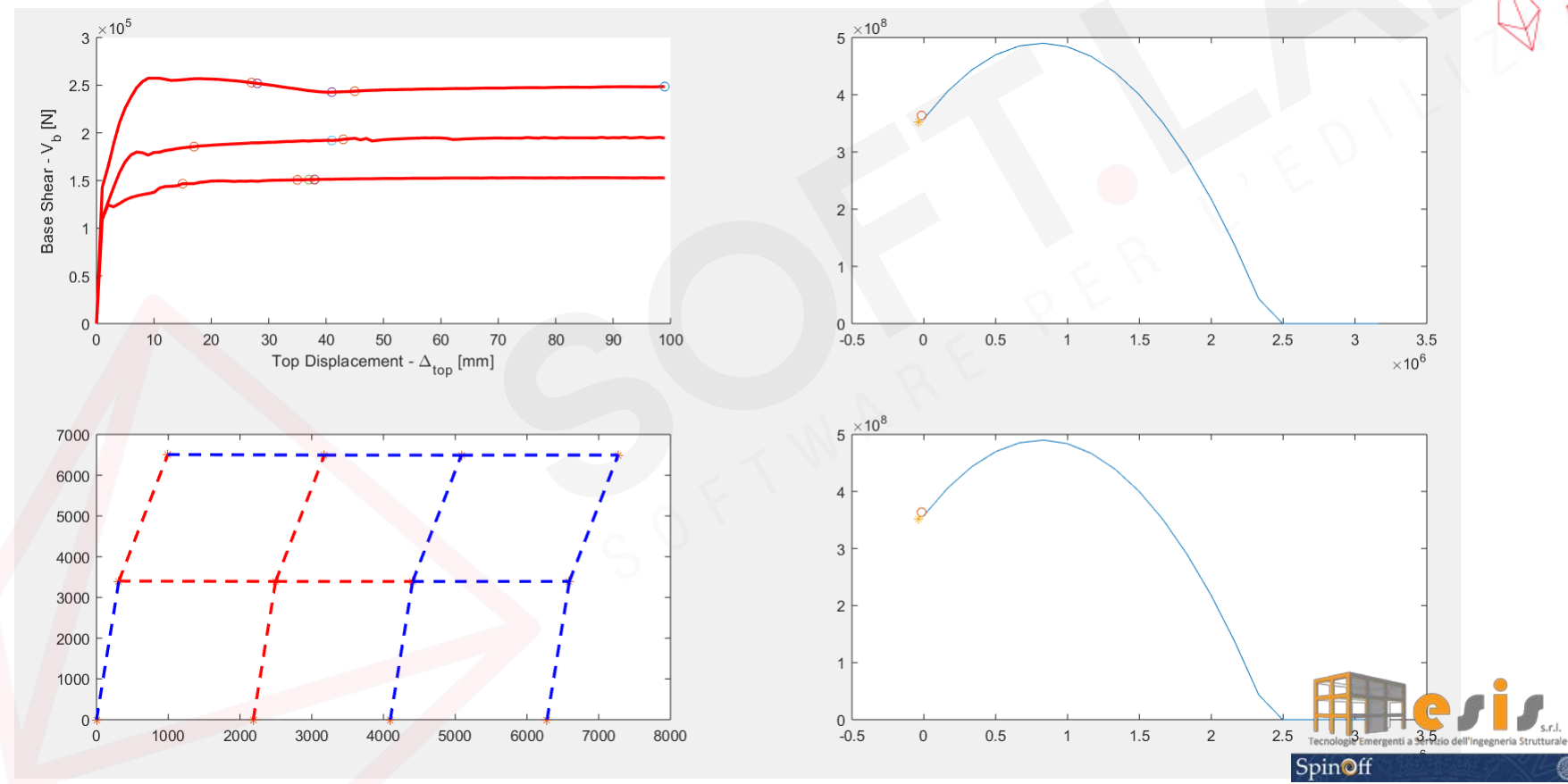








Modello a telaio equivalente: effetto dell'intervento/2













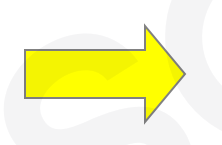


#### Analisi sismica e valutazione della sicurezza

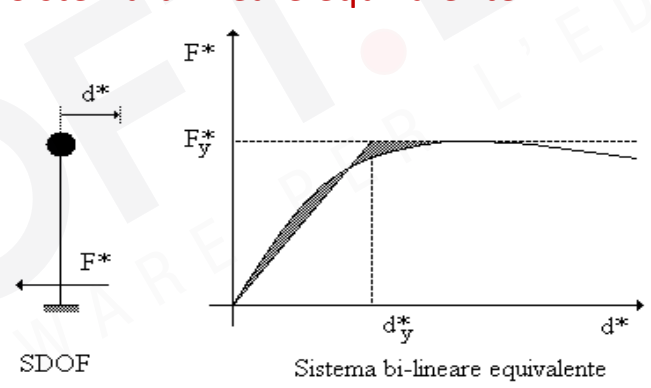
Curva Capacità MDOF  $(T_b - d_{top})$ 



$$\Gamma = \frac{\sum m_i \Phi_i}{\sum m_i \Phi_i^2}$$



Curva Capacità SDOF  $(T^*_b - d^*_{top})$ Sistema bilineare equivalente



$$T^* = 2\pi \sqrt{\frac{m^*D_y^*}{F_y^*}}$$

Periodo elastico del Sistema bilineare equivalente

$$F^* = \frac{F}{\Gamma}$$

$$\Delta^* = \frac{\Delta}{\Gamma}$$









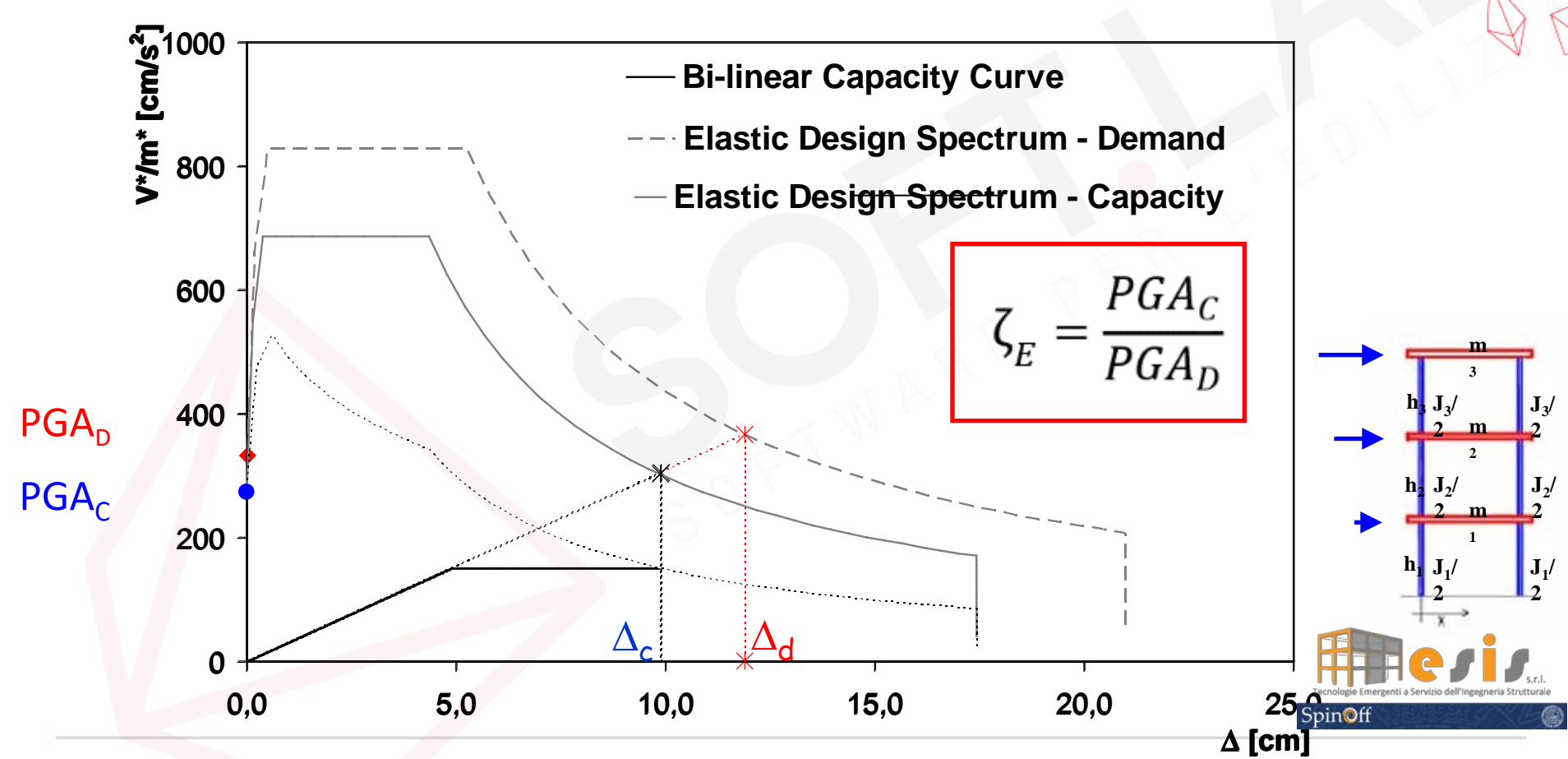








#### Valutazione della sicurezza

















# **Bibliografia**

- ✓ Faella C., Martinelli E., Nigro E., Paciello S. (2010), Shear Capacity of Masonry Walls Externally Strengthened by a Cement-Based Composite Material: an Experimental Campaign, Construction and Building Materials 24(1), 84-93 (doi: 10.1016/j.conbuildmat.2009.08.019);
- ✓ Faella C., **Martinelli E.**, Paciello S., Camorani G., Aiello M.A., Micelli F., Nigro E. (2011), *Masonry columns confined by Composite materials: experimental investigation*, Composites Part B, 42(4), 692-704 (doi:10.1016/j.compositesb.2011.02.001);
- ✓ Faella C., **Martinelli E.**, Camorani G., Aiello M.A., Micelli F., Nigro E. (2011), *Masonry columns confined by Composite materials: design formulae*, Composites Part B, 42(4), 705-716 (doi:10.1016/j.compositesb.2011.02.024);
- ✓ Faella C., Camorani G., **Martinelli E.**, Paciello S.O., Perri F. (2012), *Bond behaviour of FRP strips glued on masonry: Experimental investigation and empirical formulation*, Construction and Building Materials, 31, 353-363 (doi:10.1016/j.conbuildmat.2011.12.100);
- ✓ **Martinelli E.**, Perri F., Sguazzo C., Faella, C. (2016), *Cyclic shear-compression tests on masonry walls strengthened with alternative configurations of CFRP strips*, Bulletin of Earthquake Engineering, 14(6), 1695-1720 (doi: 10.1007/s10518-016-9895-6);
- ✓ Ferrara G., Caggegi C., Gabor A., **Martinelli E.** (2019), *Shear strengthening of masonry walls with Flax Textile Reinforced Mortar composite systems*, Proc. of the 5<sup>th</sup> International Conference on Smart Monitoring, Assessment and Rehabilitation of Civil Structures, 27-29 August 2019 in Potsdam (DE).



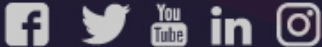


# Grazie per l'attenzione













info@soft.lab.it

+39.0824.874.392 e.martinelli@tesis-srl.eu











www.soft.lab.it